

Yuan-tzu neng
vol. 5, no. 9

原子能

Атомная
энергия

МАИ
1960

9

1960

中国科学院原子核科学委员会編輯委员会編輯
科 学 出 版 社 出 版

目 录

列宁奖金获得者.....	(762)
从裂变碎片按质量的分布求裂变次级中子的平均数.....	(765)
金属和某些钢材被快中子辐照后的性能和组织的研究.....	(769)
T ₂ O 的蒸气压.....	(775)
传送带上矿石的放射性分析.....	(781)
γ 射线在水和铁中散射的能量角分布.....	(787)
作为辐射化学设备模拟和进行研究用的具有放射性强度为 60000 克当量镅 Co ⁶⁰ γ 射线源的通用装置 (“K-60000”)	(795)

简 报

第一个原子能发电站上用过的释热元件的研究.....	(799)
论提高气体载热剂动力反应堆经济性的问题.....	(801)
利用锆样品电导率的变化来测定 BBP-C 反应堆活性区内快中子通量的分布.....	(804)
反应堆结构部件的热冲击计算.....	(805)
直线加速器用的能量为 600 千电子伏的质子注入器.....	(808)
Th ²³² 和 U ²³⁸ 为 F ¹⁹ (p, $\alpha\gamma$)O ¹⁶ 反应的 γ 射线光致分裂产生的瞬发中子平均数.....	(811)
电子在行波回旋波导加速器中的加速.....	(813)
闪烁计数器对伽玛勘探的应用.....	(816)

科 技 新 闻

哈瓦那苏联展览会的原子能馆.....	(819)
中国工业交通展览会的原子能馆.....	(821)
美国原子核物理学会和原子能工业家联合会的华盛顿会议.....	(821)
中南美国家原子核动力的发展.....	(822)
供陆上和海上用的 OMR 反应堆.....	(824)
反应堆——中子源.....	(826)
Li ⁸ 磁矩的测量	(826)
关于国外新近轧制铀的工作.....	(827)
关于采用统计分析来普查铀矿床的问题.....	(829)
简讯.....	(831)

新 书 介 绍

最新文献.....	(833)
预告目录.....	(封三)

СОДЕРЖАНИЕ

СТАТЬИ

- Лауреаты Ленинских премий 1960 г. за научные исследования физики ядерных реакторов на быстрых нейтронах и за создание комплекса исследовательских водоводяных реакторов ВВР-2, ВВР-С и ИТР ... (762)
- Ю. А. Зысин, А. А. Лбов, Л. И. Сельченков. Среднее число вторичных нейтронов деления и нахождение его из распределения осколков по массам (765)
- Ш. Ш. Ибрагимов, В. С. Ляшенко, А. И. Завьялов. Исследование свойств и структуры металлов и некоторых сталей после облучения их быстрыми нейтронами (769)
- М. М. Попов, Ф. И. Тазетдинов. Давление пара T_2O (775)
- Л. Н. Посик, С. И. Бабиченко, Р. А. Гродко. Радиометрический анализ руд на транспортерах (781)
- Ю. А. Казанский. Угловые энергетические распределения γ -излучения, рассеянного в воде и железе (787)
- А. Х. Брегер, В. Б. Осипов, В. А. Гольдин. Универсальная установка с источником γ -излучения Co^{60} активностью 60000 $i \cdot эв$ Ra для моделирования радиационно-химических аппаратов и проведения исследований («К-60000») (795)

ПИСЬМА В РЕДАКЦИЮ

- А. П. Смирнов-Аверин, В. И. Галков, Ю. Г. Севастьянов, Н. Н. Крот, В. И. Иванов, И. Г. Шейнкер, Л. А. Стабенова, Б. С. Кирьянов, А. Г. Козлов. Исследование отработанного тепловыделяющего элемента Первой атомной электростанции (799)
- Т. Х. Марцупова, Л. С. Стерман. О повышении экономичности энергетических реакторов с газовым теплоносителем (801)
- Е. Александрович, М. Бартенбах. Измерение распределения потока быстрых нейтронов в активной зоне реактора ВВР-С посредством изменения электропроводности образцов германия (804)
- Ю. Е. Багдасаров. Расчет теплового удара в конструктивных элементах реакторов (805)
- Ю. Н. Антонов, Л. П. Зиновьев, В. П. Рашевский. Инжектор протонов с энергией 600 $кэв$ для линейного ускорителя (808)
- Л. И. Прохорова, Г. Н. Смиренкин. Среднее число мгновенных нейтронов, испускаемых при фотоделении Th^{232} и U^{238} γ -лучами из реакции $F^{19} (p, \alpha\gamma) O^{16}$ (811)
- А. А. Воробьев, А. Н. Диденко, Е. С. Коваленко. Ускорение электронов в циклическом волноводном ускорителе на бегущей волне (813)
- В. Е. Нестеров. Использование сцинтилляционных счетчиков для гамма-маскопии (816)

НОВОСТИ НАУКИ И ТЕХНИКИ

Атомная энергия на Советской выставке в Гаване (819). Атомная энергия на Всекитайской выставке промышленности и средств сообщения (821). Вашингтонские конференции Американского общества по ядерной физике и Объединения промышленников-атомников (821). Развитие ядерной энергетики в странах Южной и Центральной Америки (822). Реакторы ОМР для наземных и морских установок (824). Реактор-источник нейтронов (826). Измерение магнитного момента Li^8 (826). Новые зарубежные работы по прокатке урана (827). О применении статистического анализа для поисков месторождений урана (829). Краткие сообщения (831).

БИБЛИОГРАФИЯ

- Новая литература (833)

列宁奖金获得者

苏联部长会议科学技术列宁奖金委员会授予乌克兰苏维埃社会主义共和国科学院院士連鵬斯基 (А. И. Лейпунский)、物理数学博士卡札契柯夫斯基 (О. Д. Казачковский) 和博达連科 (И. И. Бондаренко) 及物理数学副博士烏沙契夫 (Л. Н. Усачев) 1960 年列宁奖金, 因他們在快中子原子核反应堆物理的科学研究方面获得了成就。

快中子原子核反应堆在原子核动力装置上占有特殊的地位。远在 1949 年連鵬斯基就已預料到, 在快中子原子核反应堆中可以实现原子核燃料的扩大再生过程。因此, 同时采用快中子原子核动力反应堆和热中子原子核动力反应堆就使得在实际上完全应用天然鈾成为可能, 这与把原子核动力的燃料资源增加一百倍同样重要。

在反应堆中实现鏈式反应的主要困难是: 有关这种反应堆的許多物理問題尚不清楚。直至 1955 年在国外的文献中还未曾发表过有关快中子反应堆的任何資料。因此, 苏联便独立地发展和建立了培养快中子反应堆专家的学校。連鵬斯基、卡札契柯夫斯基、博达連科和烏沙契夫便是这个学校的领导者。

在他們的领导下, 在理論上对快中子反应堆的物理問題进行了研究, 为了确定計算所需之常数进行了多次的实驗, 奠定了理論基础, 并开始了快中子反应堆的实际建造工作。

接着又建造了临界装置和快中子反应堆 (БР-1, БР-2, БР-3, БР-4 和 БР-5)。每一个新装置的建造都是考証理論的繼續, 积累經驗的总结 and 快中子反应堆的理論和实践的发展。

1958 年夏天启动的、同样类型的最新装置——БР-5 型反应堆具有原子能发电站的一切主要特点, 它是将来备有快中子反应堆的大型原子能发电站的原型設計。

費別尔格 (С. М. Фейнберг), 卡洽罗夫 (В. В. Гончаров), 斯托里亚罗夫 (Г. А. Столяров), 朱巴列夫 (Т. Н. Зубарев), 赫里斯切科 (П. И. Христенко), 卡茨洛夫 (В. Ф. Козлов) 和留比穆采夫 (О. И. Любимцев) 因建立一套研究用水-水反应堆 ВВР-2, ВВР-С 和 ИТР 而荣获了列宁奖金。

建造研究性反应堆是利用原子能的基础。大概, 任何一个利用原子能的部門都直接或間接的与研究性反应堆上的工作有关。例如: 放射性同位素的制备、材料的輻射处理和試驗、动



連鵬斯基
(А. И. Лейпунский)



卡札契柯夫斯基
(О. Д. Казачковский)



博达連科
(И. И. Бондаренко)



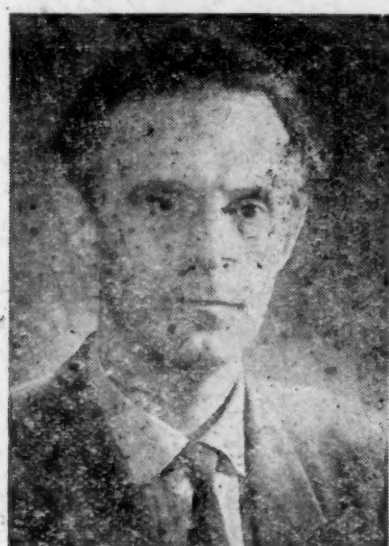
烏 沙 契 夫
(Л. Н. Усачев)



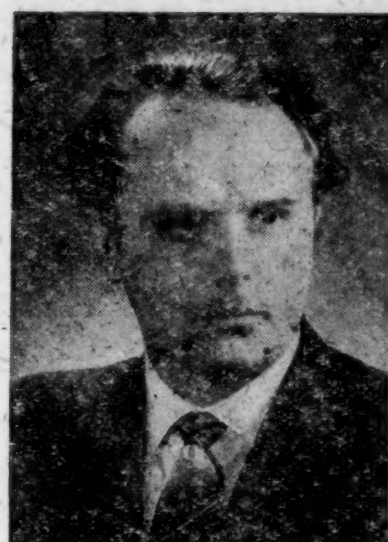
費 別 尔 格
(С. М. Фейнберг)



卡 洽 罗 夫
(В. В. Гончаров)



斯托里亚罗夫
(Г. А. Столяров)



朱 巴 列 夫
(Т. Н. Зубарев)



赫 里 斯 切 科
(П. И. Христенко)



卡 茨 洛 夫
(В. Ф. Козлов)



留 比 穆 采 夫
(О. И. Любимцев)

力反应堆物理问题的研究、正在建造的和已设计好的原子能发电站和原子运输装置用的释热元件的研究、动力反应堆的零件和部件及材料的检查、中子物理的研究、生物医学的研究、食物照射的研究、辐射聚合作用及其它问题都可在研究性反应堆上得到解决。

目前,在我们的工业部门中正在成套生产 BBP-2, BBP-C 和 ИТП 型研究性水-水反应堆。在苏联和国外的科学研究所里都安装有这类反应堆。

体积小、造价低、工作可靠、实验研究的广泛可能性——所有这些都是水-水反应堆的优点,因而以列宁奖金来庆祝这些堆的建成。

这些反应堆中的第一个反应堆 BBP-2 是在世界文献中对此种反应堆尚无任何报导时设计成的。但是,一些专家们却能有效地解决有关反应堆结构、反应堆物理及其调节和工作的稳定性等问题。

一套研究性水-水反应堆的建成是苏联和平利用原子能方面的重大成就。在这些堆上广泛地开展实验工作(目前这些工作正在进行)将促进原子能在苏联及其它国家的国民经济中的普遍应用。

从裂变碎片按质量的分布求 裂变次级中子的平均数

捷辛 (Ю. А. Зысін) 勒波夫 (А. А. Лбов)
謝里欽科夫 (Л. И. Сельченков)

研究了从裂变碎片按质量的分布曲线计算裂变次级中子平均数 $\bar{\nu}$ 的方法。对这方法的误差作了估计。指出,当详细地研究了裂变碎片按质量分布的曲线情况下,用这个方法可以相当精确的决定 $\bar{\nu}$ 。计算了 Th^{232} , U^{233} , U^{235} , U^{238} , Pu^{239} , Am^{241} 和 Cf^{252} 在不同的裂变情况下的 $\bar{\nu}$ 值。讨论了所得结果,并和用其他方法所得结果作了比较。计算了 U^{233} 和 U^{235} 为热中子所引起的裂变情况下的部分值 $\bar{\nu}_m$ 。

对于重核的一系列的裂变情况,目前已研究了裂变碎片按质量的分布^[1-11]。实验数据的精确性和完整性,有时已足以用来相当精确地计算裂变次级中子的平均数 $\bar{\nu}$ 。尽管近年来在很多情况下 $\bar{\nu}$ 用直接方法测量得很精确^[12-14],但是,这种计算还是很有意义的,因为,相应的 $\bar{\nu}$ 值的得出和所用的方法无关。此外当用别的方法不能得出 $\bar{\nu}$ 值时,可以应用这方法求得。最后,从裂变碎片按质量的分布曲线原则上可以计算部分值 $\bar{\nu}_m$ ——对应给定的重裂变碎片与轻裂变碎片质量数比 $(A_r/A_x)_m$ 的裂变次级中子数。

虽然从裂变碎片按质量的分布曲线估计 $\bar{\nu}$ 的想法早已进行过^[8-10,15],可是它具有很大的偶然性和粗糙性。本文首先研究了所有方法的可能性,分析了它的误差,并作出了 $\bar{\nu}$ 的计算,正如所指出的,在这种情况下,误差不大。

在一般情况下

$$\bar{\nu} = A_0 - 2\bar{A}, \quad (1)$$

这里 A_0 是可裂变的复合核质量数,而 \bar{A} 是所有碎片的平均质量数, $\bar{A} = \sum_i \alpha_i A_i / \sum_i \alpha_i$ (A_i 是碎片的质量数, α_i 是它的产额)。显然, $\sum_i \alpha_i = 2$ 。但实际上为了决定 $\bar{\nu}$ 应用公式(1)由于误差较大不是合适的。在确定 $\bar{\nu}$ 时,如果应用其他公式误差能够大大减少:

$$\bar{\nu} = A_0 - (\bar{A}_x + \bar{A}_r), \quad (2)$$

考虑到这个事实,由于裂变的結果,复合核变为二块:轻的和重的碎片,质量数分别为 \bar{A}_x 和 \bar{A}_r 。在一切不很强的激发复合核裂变的情况下,这个假定是正确的,并具有很好的精确度,因为三分裂以及发出 α 粒子和质子的情况显然是可以忽略的。

量 \bar{A}_x 和 \bar{A}_r 可以相应地按下式对轻的和重的碎片的质量平均而定

$$\bar{A}_x = \frac{\sum_i A_i \alpha_i}{\sum_i \alpha_i} \quad \text{和} \quad \bar{A}_r = \frac{\sum_k A_k \alpha_k}{\sum_k \alpha_k}.$$

从产额的定义看来,显然, α_i 和 α_k 分别按轻的和重的碎片组求和应当等于 1。由于实验上确定各个产额的不精确,它们只是接近于 1,因此,为了按公式(2)计算 $\bar{\nu}$,存在有二个归一化条件:

$$\sum_i \alpha_i = 1 \text{ 和 } \sum_k \alpha_k = 1.$$

研究了均方誤差 $\Delta \bar{\nu}$, 以及它对实验上所决定的量 α 的依賴关系. 从确定 $\bar{\nu}$ 的誤差表达式 (和 l 項有关) 以及相应的归一化条件, 可以証明, 在应用公式(1)情况下

$$\Delta \bar{\nu} = \pm \epsilon \sqrt{\sum_i \alpha_i^2 (\bar{A} - A_i)^2}; \quad (3)$$

在应用公式(2)情况下

$$\Delta \bar{\nu} = \pm \epsilon \sqrt{\sum_i \alpha_i^2 (\bar{A}_x - A_i)^2 + \sum_k \alpha_k^2 (\bar{A}_x - A_k)^2}, \quad (4)$$

这里 $\epsilon = \Delta \alpha / \alpha$ ——决定 α 时的相对誤差 (为了簡單起見, 假定在所有情况下, ϵ 是相同的).

对于 U^{235} 热中子分裂的情况, 在按公式(1)計算 $\bar{\nu}$ 时得到 $\Delta \bar{\nu} \simeq \pm 1.3$, 按公式(2)計算时, $\Delta \bar{\nu} \simeq \pm 0.15$ (在两种情况下都假定 $|\epsilon| \simeq \pm 0.05$). 由此可見, 按公式(2)計算的精确度在数量級上比用公式(1)計算的精确度来得好.

精确度还強烈地依賴于裂变碎片按质量分布曲綫的非对称程度, 这是由曲綫凹下深度所决定. 实际上, 如果质量数 A_x (用产額 α_x 来表征), 处在輕的和重的碎片之間, 把重的碎片代替輕的碎片或相反, 則产生附加的誤差, 等于 $\Delta \bar{\nu}_x = |(\bar{A}_x - \bar{A}_x) \alpha_x|$ (精确到二級小的項). 我們也估計了量 $\Delta \bar{\nu}_x$, 例如, 在 U^{235} 为热中子裂变 (非对称性很明显, $\alpha_x \simeq 10^{-4}$) 和为 14 兆电子伏的中子引起裂变的情况 (非对称性很弱, $\alpha_x \simeq 10^{-2}$). 取 $(\bar{A}_x - \bar{A}_x) \simeq 40$, 在第一种情况下 $\Delta \bar{\nu}_x \simeq 0.004$, 在第二种情况下 $\Delta \bar{\nu}_x \simeq 0.4$, 由此可見, 在 14 兆电子伏中子引起裂变的情况下, $\Delta \bar{\nu}_x$ 对最后的誤差大小以显著的貢獻.

既然用上述方法确定 $\bar{\nu}$ 时的誤差依賴于确定产額的誤差, 很重要的是使得产額的值 α_i 和 α_k (絕对的或相对的) 对最大多数质量数 A_i 和 A_k 是已知的. 碎片按质量的分布曲綫对未知 α 的 A 的外推就加大了誤差. 因此, 进行的計算只限于那种情况, 即碎片按质量的分布曲綫知道得足够清楚, 并能很好地用不对称表达式来表征. 本文应用了文献[1—11]的数据 (于 1959 年 1 月发表的). 必須指出, 裂变碎片按质量的分布曲綫在实验上精确化后, 就能在今后对很多有意义的情况进行 $\bar{\nu}$ 的計算. 对所研究的情况, 分布曲綫的精确化就提高了所确定的 $\bar{\nu}$ 的精确度. 在某些情况下, 例如对 $U^{238}(\nu, f)^{[2]}$, 相应的分布沒有研究得那样清楚, 可是应用了“反射”点的方法, 配合了逐次漸近法就可以进行必要的計算. 但同时必須計算依賴于裂变类型的部分值 $\bar{\nu}_m$ 的变化規律性.

用現在这方法計算 $\bar{\nu}$ 的結果列于表中. 为了比較起見, 也列入了在实验上用直接方法得到的 $\bar{\nu}$ 值. 正如从表中可以看出, 用这种方法計算的 $\bar{\nu}$, 在很多情况下很好地与用其他方法决定的 $\bar{\nu}$ 值一致.

必須指出, 在 U^{238} 被能量为 8—10, 16 和 48 兆电子伏的 γ 射綫引起裂变时, $\bar{\nu}$ 的数据是新的. 在决定 \bar{A}_x 和 \bar{A}_x 中的誤差, 在所有情况下是由质量分布曲綫不同的計算方法所得結果的歧离获得, 曲綫是用不同方法根据实验点的歧离和其单个的誤差作出的.

裂变碎片按质量分布曲綫也可以計算部分值 $\bar{\nu}_m = A_0 - (A_x + A_x)_m$, 此处质量数 A_x 和 A_x 是共軛的, 亦即可用相同的产額 $\alpha_m (A_x/A_x = m)$ 来表征. $\bar{\nu}$ 和 $\bar{\nu}_m$ 的关系用下式表示:

$$\bar{\nu} = \frac{\sum_m \alpha_m \bar{\nu}_m}{\sum_m \alpha_m}. \quad (5)$$

差数 $A_0 - (A_x + A_x)_m$ 以令人滿意的精确度决定了給定质量数 A_x 和 A_x 的部分次級中

比較計算和測量的 $\bar{\nu}$ 值

可裂變同位素	引起分裂的射綫	能 量	用本方法決定的 $\bar{\nu}$				用其他方法決定的 $\bar{\nu}$	
			A_0	\bar{A}_x	\bar{A}_T	$\bar{\nu}^*$	$\bar{\nu}^{**}$	參考文獻
U^{233}	中 子	熱 能	234	93.3 ± 0.1	138.2 ± 0.1	2.5 ± 0.2	2.52 ± 0.03	[12,13]
U^{235}	”	”	236	94.8 ± 0.1	138.8 ± 0.1	2.4 ± 0.2	2.47 ± 0.03	[12,13]
Pu^{239}	”	”	240	98.5 ± 0.2	139.0 ± 0.1	2.5 ± 0.3	2.92 ± 0.04	[12,13]
Am^{241}	”	反應堆譜	242	101 ± 0.3	138.3 ± 0.3	2.7 ± 0.6	3.14 ± 0.05	[14]
Th^{232}	”	裂 變 譜	233	91.4 ± 0.1	139.8 ± 0.3	1.8 ± 0.4	1.8***	[12]
U^{235}	”	”	236	95.6 ± 0.2	138.4 ± 0.3	2.0 ± 0.5	2.50 ± 0.06	[12,13]
U^{238}	”	”	239	97.3 ± 0.1	138.9 ± 0.1	2.8 ± 0.2	2.65 ± 0.07	[12,13]
U^{235}	”	14兆电子伏	236	96.3 ± 0.2	135.5 ± 0.2	4.2 ± 0.4	4.13 ± 0.24	[12,13]
U^{238}	”	14兆电子伏	239	97.0 ± 0.3	137.0 ± 0.4	5.0 ± 0.6	4.50 ± 0.32	[12,13]
U^{238}	γ -射 綫	8-10兆电子伏	238	96.6 ± 0.1	138.7 ± 0.3	2.7 ± 0.4	—	—
U^{239}	”	16兆电子伏	238	97.4 ± 0.1	137.5 ± 0.3	3.1 ± 0.4	—	—
U^{238}	”	48兆电子伏	238	96.5 ± 0.2	137.2 ± 0.3	4.3 ± 0.5	—	—
Cf^{253}	自发裂变	—	252	106.3 ± 0.3	140.9 ± 0.3	4.8 ± 0.6	3.84 ± 0.12	[13]

* $\bar{\nu}$ 的誤差取決於 \bar{A}_x 和 \bar{A}_T 誤差之和。 $\bar{\nu}$ 的實際的誤差應當小些。

** 所列入的用其他方法得出的實驗值 $\bar{\nu}$ 是按許多測量平均的。因此，它的誤差實際上是比單個測量的誤差小得多。

*** 是由 $\bar{\nu}_1 = 2.35 \pm 0.07$ ($E_n = 3.5$ 兆电子伏) 和 $\bar{\nu}_2 = 4.64 \pm 0.20$ (對 $E_n = 14.2$ 兆电子伏) 數值外推得出。

**** 對有效能量 0.7—0.74 兆电子伏。

***** 對能量 1.5 兆电子伏。

子數，假如質量分布曲綫測量得很詳細，發生 α_m 強烈地依賴於 A 的變化，不存在碎片按質量分布曲綫的精細結構，曲綫在相應的部分是單調變化的，假如 $\bar{\nu}_m$ 和發射一個，二個或三個等等次級中子的幾率分布，在 A 改變時變化是足夠緩慢的話。

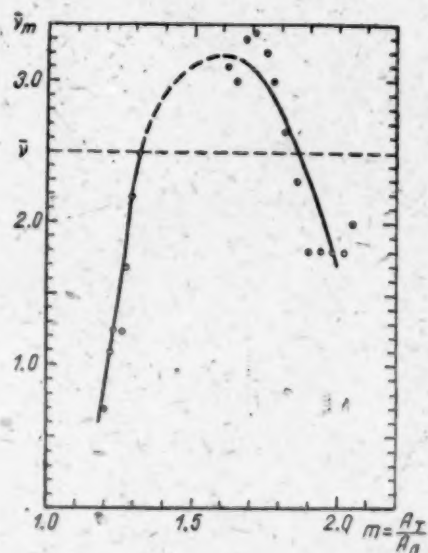


圖 1 U^{233} 為熱中子分裂情況下的部分值 $\bar{\nu}_m$

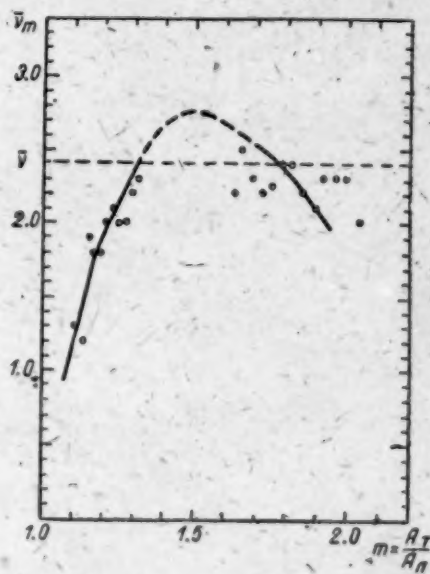


圖 2 U^{235} 為熱中子分裂情況下的部分值 $\bar{\nu}_m$

對 U^{233} 和 U^{235} 為熱中子裂變的情況作了 $\bar{\nu}_m$ 的計算，這裡幾乎對所有的質量數都有產額的實驗值。顯然，這個決定 $\bar{\nu}_m$ 的方法在 $1.3 < m < 1.7$ 範圍內失去了必要的精確度。所得曲

綫(图 1 和图 2) 在形态上类似于用其他方法所得到的 U^{233} 的曲线^[16]. $\bar{\nu}_m$ 的极大值是在 $m \simeq 1.5$ 数值处. 二种情况下在裂变碎片质量大致相等时 $\bar{\nu}_m$ 表现出急剧地下降. 如果把次级中子看作为和球形有偏离的碎片的激发结果, 则可假定, 对称分裂时的碎片一般地比非对称分裂时的形态更接近于球形.

参 考 文 献

- [1] S. Katcoff: *Nucleonics*, 16, No. 4, 78 (1958).
- [2] R. Duffield, R. Schmitt, R. Sharp: Доклад № 678, представленный США на Вторую международную конференцию по мирному использованию атомной энергии (Женева, 1958).
- [3] А. Н. Протопопов и др.: *Атомная энергия* 5, вып. 2, 130 (1958).
- [4] М. П. Аникина и др.: Тр. Второй международной конференции по мирному использованию атомной энергии (Женева, 1958). Докл. советских ученых. Т. 1—Ядерная физика. М., Атомиздат, 1959, стр. 396.
- [5] L. Bunney et al.: Доклад № 643, представленный США на Вторую международную конференцию по мирному использованию атомной энергии (Женева, 1958).
- [6] K. Fritze, C. McMullen, H. Thode: Доклад № 187, представленный Канадой на Вторую международную конференцию по мирному использованию атомной энергии (Женева, 1958).
- [7] L. Bunney et al.: Доклад № 644, представленный США на Вторую международную конференцию по мирному использованию атомной энергии (Женева, 1958).
- [8] J. Cuninghame: *J. Inorg. and Nucl. Chem.*, 4, 1 (1957).
- [9] J. Cuninghame: *J. Inorg. and Nucl. Chem.*, 5, 1 (1957).
- [10] L. Glendenin, E. Steinberg: *J. Inorg. and Nucl. Chem.*, 1, 45 (1955).
- [11] J. Cuninghame: *J. Inorg. and Nucl. Chem.*, 6, 181 (1958).
- [12] Р. Личман: Тр. Второй международной конференции по мирному использованию атомной энергии (Женева, 1958). Избр. докл. иностранных ученых. Т. 2—Нейтронная физика. М., Атомиздат, 1959, стр. 342; *Атомная техника за рубежом*, № 1, 11 (1959).
- [13] И. И. Бондаренко и др.: Тр. Второй международной конференции по мирному использованию атомной энергии (Женева, 1958). Докл. советских ученых. Т. 1—Ядерная физика. М., Атомиздат, 1959, стр. 438.
- [14] В. И. Лебедев, В. И. Калашникова: *Атомная энергия*, 5, вып. 2, 176 (1958).
- [15] R. Jensen, A. Fairhall: *Phys. Rev.*, 109, 942 (1958).
- [16] J. Fraser, C. Milton: *Phys. Rev.*, 93, 818 (1954).
- [17] Я. Б. Зельдович, Ю. А. Зысін: *Ж. эксперим. и теор. физ.*, 10, № 8, 851 (1940).

金属和某些鋼材被快中子輻照後的性能和組織的研究

依勃拉盖莫夫 (Ш. Ш. Ибрагимов)

略 辛 柯 (В. С. Ляшенко)

柴夫雅洛夫 (А. И. Завьялов)

在本文中探討快中子輻照, 以及随后的热处理对某些金属材料性能的影响。輻照条件下金属性能的变化, 是由于在晶格中形成不同类型的缺陷, 在适当的溫度下, 这些缺陷就被退火。研究了消除缺陷的动力学, 并测定了在該过程中的激活能量, 而这些缺陷是导致材料强化的。

大家都知道, 在核粒子、特别是快中子的作用下, 各种材料的物理性能和机械性能都发生了显著的变化, 并且, 这些性能变化的大小主要是取决于作用粒子的能量, 积分剂量, 和輻照的溫度。

在重核粒子作用下, 金属材料机械性能的变化是与在冷形变时的強化有着某些相似之处。因此, 在这二种場合下的性能的变化, 可以归结于下列的解释, 即: 发生了材料的結晶結構的規則性被破坏及晶格中的缺陷。同时, 有某些实验資料証明, 当材料在核粒子的作用下, 是与它在冷加工塑性形变条件下所引起的变化有着本质上的不同^[1-3]。可以推測, 在核粒子作用下所发生的破坏是复杂的, 为了要搞清楚它們的本性, 就还要求作进一步的实验方面和理論方面的研究。

本文研究了快中子对鉄, 鎳, 鉬和一些鋼材的組織和性能的影响。这些材料的化学成份列于表 1。

表 1 某些鋼材的化学成分

鋼 号	主 要 元 素 含 量				
	C	Cr	Ni	Mo	Ti
1X18H9	0.14	16.0	9.5	—	—
1X18H9T	0.11	16.7	9.2	—	0.6
1X18H12	0.09	16.6	12.0	—	—
1X18H12M2T	0.10	17.2	12.4	2.1	0.5
1X18H17	0.12	16.1	16.9	—	—

上述这些材料制成的試样, 在經适当的热处理以后, 装在特殊的, 經密封堵焊的 1X18H9T 鋼管中, 放入 BP-2 反应堆^[4]的活性区内輻照。輻照的平均积分剂量是每平方厘米为 1.8×10^{20} 快中子, 輻照的溫度是 40—70°C。

所研究的材料在輻照前后的性能列于表 2。从該表中可以看出, 快中子輻照使得强度、硬度和电阻增加, 而使得相对延伸率降低。性能变化的程度与被輻照材料的本性有关, 而且, 用加入不同合金元素的方法使鋼成份复杂化并不严重影响性能变化的大小。我們观察到鉬的性能变化为最大 (其相对延伸率降低到十分之一以下, 电阻率增高 33%)。这一点可用鉬的退火溫度較高, 以及, 它的弹性模量較高来闡明。

表2 金属和某些钢材在辐照前后的性能

材 料	热 处 理 条 件	强 度 极 限, 公斤/毫米 ²			相 对 延 伸 率, %			显 微 硬 度, 公斤/毫米 ²			电 阻 率, 微欧姆·厘米		
		辐 照 前	辐 照 后	改 变	辐 照 前	辐 照 后	改 变	辐 照 前	辐 照 后	改 变	辐 照 前	辐 照 后	改 变
铁,纯度为99.84%	在 760°C退火 1 小时	39.5	59.5	20.0	36.5	15.0	-21.5	117.0	185.0	68.0	15.2	16.4	1.2
镍,纯度为99.97%	同 上	43.0	59.0	16.0	49.5	26.0	-23.5	115.0	199.0	84.0	7.8	8.2	0.4
钼,纯度为99.9%	在1100°C退火 1 小时	69.0	—	—	27.0	2.0	-25.0	215.0	303.0	88.0	5.5	7.3	1.8
钢,1X18H9	从1100°C淬入水中	62.0	71.0	9.0	69.0	47.0	-22.0	157.0	252.0	95.0	—	—	—
钢,1X18H9T	同 上	63.5	75.0	11.5	77.0	49.0	-28.0	150.0	260.0	110.0	—	—	—
钢,1X18H12	同 上	54.5	66.5	12.0	65.0	41.0	-24.0	135.0	235.0	100.0	—	—	—
钢,1X18H12M2T	同 上	60.0	70.5	10.5	71.5	43.5	-28.0	143.0	241.0	98.0	77.0	77.6	0.6
钢,1X18H17	同 上	51.5	63.0	11.5	58.0	36.0	-22.0	131.0	232.0	101.0	76.9	77.6	0.7

为了研究辐照缺陷的温度稳定性,以及,测定能使其性能完全回复的温度,因此将辐照后的试样在不同的温度下退火 30 分钟。在經過每次退火后测量显微硬度和在某些情况下试样的电阻。显微硬度的实验结果列示于图 1 和图 2。

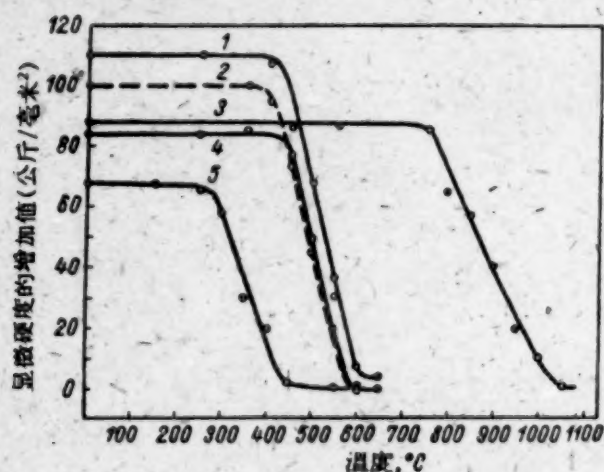


图1 辐照后的金属与钢的显微硬度增加值的变化,与退火温度之间的关系

1—1X18H9T 鋼; 2—1X18H17 鋼;
3—钼; 4—镍; 5—铁。

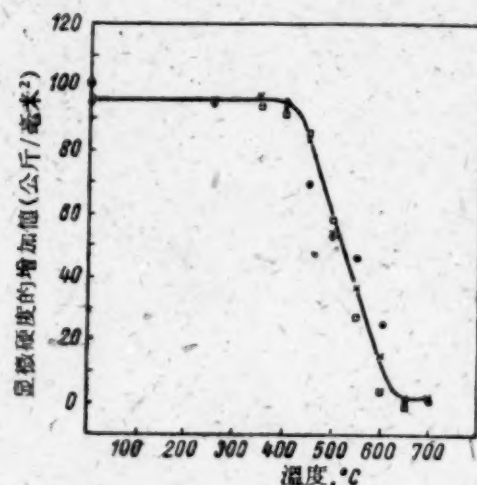


图2 辐照后的钢的显微硬度增加值的变化,与退火温度之间的关系

●—1X18H9 鋼; □—1X18H12 鋼;
×—1X18H12M2T 鋼。

在图 1 和图 2 中所示的结果证明: 1) 在适当的温度条件下退火的结果,能使金属和合金的显微硬度的增加值完全被消除。2) 显微硬度的增加值的被退火,是发生在一个温度范围内的,并且,该温度范围对于具有体心立方晶格的材料(铁,钼)而言是较大的,比起具有面心立方晶格的材料(镍,不锈钢)而言。3) 完全退火的温度是取决于该材料的熔点。在其他条件都相同的情况下(例如,在同一种晶格的条件下),若材料的熔点愈高,则此温度也愈高。4) 用加入各种元素来使之合金化,以及,改变奥氏体不锈钢的成分,对于其显微硬度的回复曲线的进程几乎没有什么影响。当在铁中加入铬和镍来使它合金化时,它的退火温度向着较高的温度方面移动,而变得与镍的退火温度一样。因此,看来这是和由于合金化而引起的材料结晶组织的变化有关。

图 3 中示出了辐照的,和未经辐照的钼试样的电阻率变化与退火温度的关系。可以看出,在较宽的温度范围内,经辐照后的钼试样的电阻是发生连续地恢复,并在 700°C 的温度条件下才完全完成。表示电阻变化与退火温度之间关系的曲线,与显微硬度增加值的变化曲线有着

显著的差别。这点是可以作为下述結論的根据：即引起电阻发生变化的輻照缺陷，其本性是与引起金属强化的缺陷有着显著的区别。

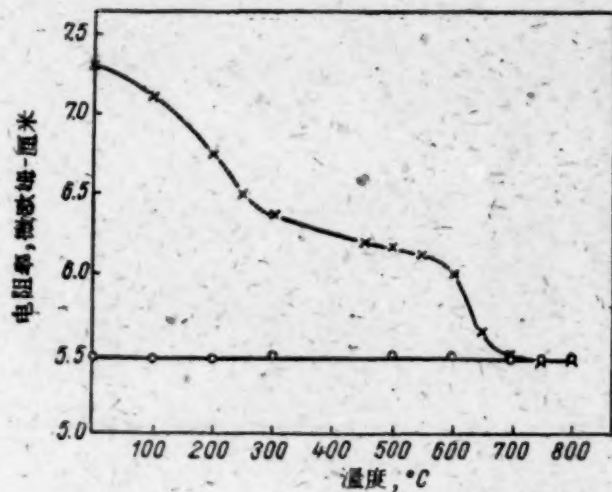


图3 輻照的(x)和未經輻照的(o)鉬試样的电阻率变化与退火温度之間的关系

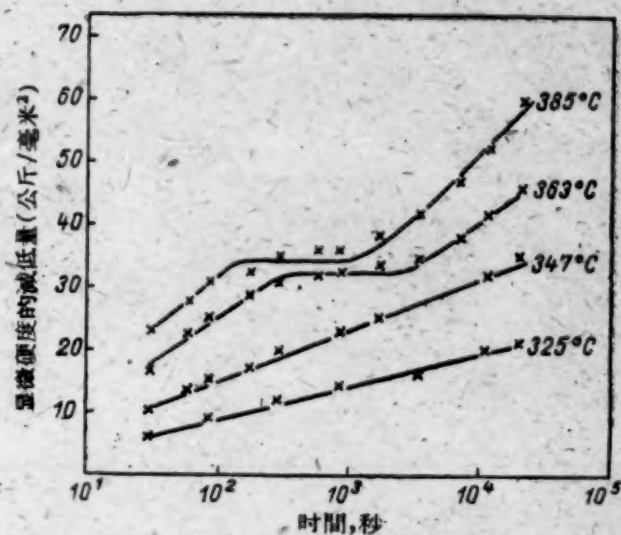


图4 当在不同的温度条件下退火时，經輻照后的鉄的显微硬度的减低与持續時間之間的关系

根据图1中所列示的数据，我們曾选择了某些温度来詳細地研究鉄的显微硬度回复过程的动力学，并从动力学的数据来测定其激活能量。

輻照后的鉄，其显微硬度的减低与其在不同温度条件下的持續時間的关系曲线示于图4中。从图中可以看出，随着恆温退火温度的升高而改变了动力学曲线的特性。可見由輻照所引起的缺陷与导致金属强化的缺陷并不是同类的，而且这些缺陷具有不同的稳定度。例如：在温度为363°C和383°C的曲线上具有一个水平区間，看来是由于具有不同激活能量的二种不同过程同时进行的結果。所以，可以认为在退火刚开始时，輻照后的試样中存在有二种类型的缺陷，它們所具有的激活能量分別地为 Q_1 和 Q_2 。

在这种場合下，輻照后試样的显微硬度值可以用下列方程式来表示：

$$H_{06\pi(\tau=0)} = H_0 + H' = H_0 + A_1 C_1^0 + A_2 C_2^0, \quad (1)$$

式中 H_0 ——試样在輻照前的显微硬度， C_1^0 和 C_2^0 ——在輻照后($\tau = 0$)，第一类缺陷和第二类缺陷的浓度， A_1 和 A_2 ——比例系数。

在 T 温度条件下，經 τ 時間退火后，其試样的显微硬度

$$H_{06\pi(\tau)} = H_0 + A_1 C_1(\tau) + A_2 C_2(\tau), \quad (2)$$

式中 C_1 及 C_2 是指在時間为 τ 的瞬間內，第一类和第二类缺陷的浓度。

基于有关研究輻照后的鉬的退火的資料，我們认为，主要的晶格缺陷并不是富兰克尔类型的缺陷，而是另外一种。由此将能推测，在退火时，随着時間的改变，缺陷的数量将按下列方程式改变：

$$\frac{dC_1}{d\tau} = -\frac{C_1}{\gamma_1(T)}; \quad (3)$$

$$\frac{dC_2}{d\tau} = -\frac{C_2}{\gamma_2(T)}; \quad (4)$$

式中 $\gamma_1(T)$ 和 $\gamma_2(T)$ ——是時間的平均值，当温度为 T 时，在該時間区間內，第一类缺陷和第二类缺陷分別消失。

解这些方程式求得

$$C_1 = C_1^0 e^{-\frac{\tau}{\gamma_1(T)}}; \quad (5)$$

$$C_2 = C_2^0 e^{-\frac{\tau}{\gamma_2(T)}}. \quad (6)$$

经过 τ 时间的退火时, 辐照后试样的显微硬度的降低值是:

$$\Delta H = H_{обл}(\tau=0) - H_{обл}(\tau) = A_1(C_1^0 - C_1) + A_2(C_2^0 - C_2).$$

利用方程式(5)和(6), 得到

$$\Delta H = A_1 C_1^0 (1 - e^{-\frac{\tau}{\gamma_1(T)}}) + A_2 C_2^0 (1 - e^{-\frac{\tau}{\gamma_2(T)}}). \quad (7)$$

如果激活能量 Q_1 与 Q_2 有很大的差别, 并且, 例如是 $Q_2 > Q_1$, 那末, 在 T 温度条件下退火时, 显微硬度值的改变与退火时间的关系将具有图 5 中所示的图形。

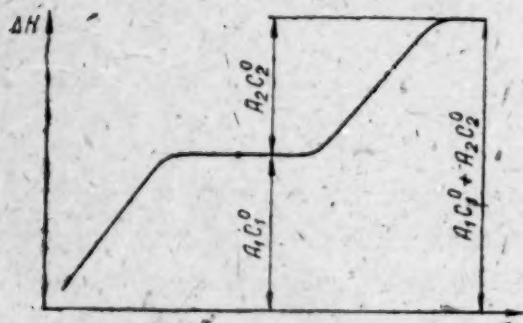


图 5 在 T 温度条件下, 经辐照后的金属的显微硬度值的改变与持续时间的关系的示意图

把理论曲线(参阅图 5)与实验曲线(参阅图 4)相比较时, 可以看出, 在温度为 323°C 和 347°C 的条件下, 持续 6 小时以下, 只发生第一类缺陷的退火。在 323°C 经 6 小时退火后则这些缺陷是部分的消失, 而在 347°C 时, 则几乎全部消失(显微硬度值已减少至水平区域的水准)。当在 363°C 和 383°C 时, 发现这二类缺陷都被退火, 此时, 第一类缺陷已经完全被退火(曲线具有水平区间), 而第二类缺陷只是一部分。在 383°C 持续 6 小时, 对于要求在 $\Delta H = f(\tau)$ 的曲线上出现第二个水平区间以及要求完全消除第二类缺陷是不足的。

考虑了较短的时间, 当 $\tau \ll \gamma_1(T)$, 因为 $Q_2 > Q_1$, 则在此时将近似找到:

$$(\Delta H)_\tau = A_1 C_1^0 \frac{\tau}{\gamma_1(T)}. \quad (8)$$

利用该方程式, 并假定 $\gamma_1(T) \approx e^{Q_1/RT}$, 对于这样的时间, 求得:

$$\frac{(\Delta H)_{T_1}}{(\Delta H)_{T_2}} = \frac{e^{Q_1/RT_2}}{e^{Q_1/RT_1}}. \quad (9)$$

从关系式(9)中求得: 在所假设的时间内, 显微硬度降低值的对数, 是 $1/T$ 的线性函数。

图 6 是用半对数坐标来表示的当 $\tau = 1.5$ 分钟时, 经辐照后的铁的显微硬度降低值与温度的倒数之间的关系。从这个关系看出, 实验所得的点, 是十分令人满意的位于此直线上。从直线的倾斜角可以求得其激活能量 Q_1 , 它等于 16500 卡/克分子。

对于形变 95% 的铁丝而言^[5], Q_1 的数值是近似于消除第二类畸变的激活能量 (15000 卡/克分子)。此外, 按温度来看, 第一类缺陷的退火过程的开始 (即: 经辐照后的铁的显微硬度开始减低, 参阅图 1), 与经冷加工形变后的铁在退火时^[6]消除第二类畸变的开始是相符合的。因此可以推测, 该过程是与消除第二类畸变的缺陷有关, 这样, 按其特征来说是非扩散的过程。事实上, 假如该过程是一个扩散过程, 那末, 过程起始时的温度主要地将是取决于该材料的合金化程度。实验数据证明: 它的改变几乎是与合金化没有关系, 而主要是取决于其结晶结构和该材料的熔点。例如, 铁和镍在性能方面非常近似, 而只是结晶结构不同。铁具有体心立方晶格, 其退火的起始温度是 $\sim 270^\circ\text{C}$, 镍具有

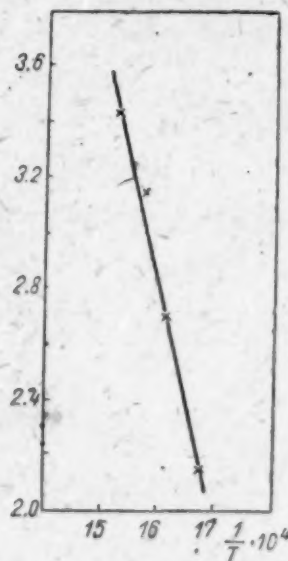


图 6 辐照后的铁的显微硬度值的减低与温度的关系

面心立方晶格,而其退火的起始温度是 $\sim 430^\circ\text{C}$ 。应该指出,当經冷加工形变后的鎳在退火时,其第二类畸变的显著减少,大致也是起始于 430°C ^[6]。我們所研究的这些鋼是具有面心立方的晶格,并具有大致上相同的熔点,虽然成份不相同,但是它們仍然具有相同的退火起始温度($\sim 430^\circ\text{C}$)。

現在再探討这样的時間, $\gamma_1(T) \ll \tau \ll \gamma_2(T)$ 。在这种情况下,方程式(7)应该是:

$$(\Delta H)_T = A_1 C_1^0 + A_2 C_2^0 \frac{\tau}{\gamma_2(T)}. \quad (10)$$

因而,經辐照后的試样,在退火时若仅仅是依靠消除第二类缺陷(在現在探討的这一个時間范围内,所有的第一种类型的缺陷都已經被消除),則其显微硬度的減低量是等于:

$$(\Delta H^*)_T = (\Delta H)_T - A_1 C_1^0 = A_2 C_2^0 \frac{\tau}{\gamma_2(T)} \quad (11)$$

假設 $\gamma_2(T) \simeq e^{Q_2/RT}$, 則求得

$$\frac{(\Delta H^*)_{T_1}}{(\Delta H^*)_{T_2}} = \frac{e^{Q_2/RT_2}}{e^{Q_2/RT_1}}. \quad (12)$$

这个关系式是可以用来测定消除第二类缺陷的激活能,利用图4中所介紹关于温度为 $T_1 = 636^\circ\text{K}$ 和 $T_2 = 656^\circ\text{K}$ 在360分钟时的資料,求得 $Q_2 = 28700$ 卡/克分子。

因而,第二类缺陷的退火过程的激活能量是比 Q_1 大得多,并且大致是鉄的自扩散激活能量的一半。因此,第二类缺陷的消除过程是通过非扩散的途径的。由此还得出結論,該过程的温度几乎与合金化的程度无关。

根据伦琴照相的研究,証明在經過辐照后的鉄中存在有第三类畸变的缺陷。就这方面提出了假設^[6]: 消除第三类畸变的激活能量应该是消除第二类畸变的激活能量与再結晶激活能量之間的中間值(鉄的再結晶激活能量是45000—55000卡/克分子)。因此,我們推测,被我們所发现的、具有28700卡/克分子激活能量的过程是与消除第三类畸变的缺陷有关。

目前在关于中子場对某些純金属,特别是鎳和鋼的显微組織的影响方面有着相矛盾的資料^[2,7]。我們对鉄(图7),鎳,鉬在辐照前后的試样,以及,經辐照并退火后的試样的显微組織进行了研究。研究証实,在中子場作用下(温度为 $40-70^\circ\text{C}$),以及,其随后的热处理的结果,对金属的显微組織并没有发现有明显的变化。

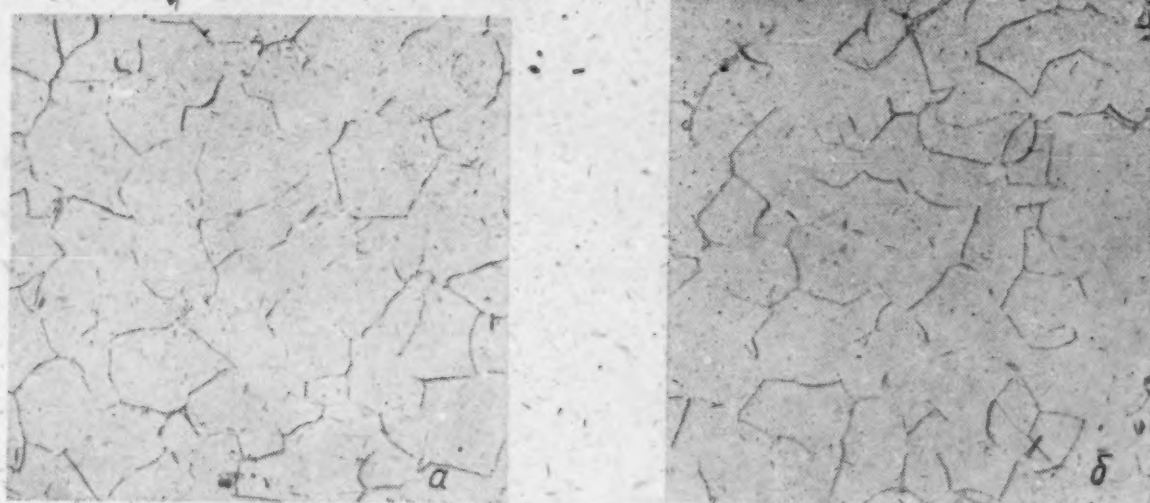


图7 鉄的显微組織($\times 400$)

a) 辐照前

b) 辐照后

根据以上所述可以得出以下結論:

1. 在 $40-70^\circ\text{C}$ 的条件下,用快中子辐照金属材料的结果,导致其机械性能和电阻发生变

化。这是由于在晶格中形成不同类型的缺陷所引起的。

2. 导致强化的辐照缺陷,按其本性而言,是与引起该材料电阻增加的缺陷有本质上的差别,前者在较高的温度条件下才被退火。同时,这二种缺陷的退火温度都与合金化的程度无关。

3. 第二类和第三类畸变的缺陷引起辐照后的金属材料的强化,它是通过非扩散的途径退火的,并相应地具有 16500 和 28700 卡/克分子的激活能量。

4. 辐照条件下的强化,以及,经过辐照后金属的退火,不伴随它们的显微组织的变化。

5. 当用快中子辐照奥氏体类型的钢时,合金化程度对其强度特性(强度极限和硬度)没有显著的影响。

最后,作者感谢阿克拉诺维奇(В. М. Агранович)参加了本文结果有益的讨论。

参 考 文 献

- [1] F. Kunz, A. Holden: *Acta metallurgica*, 2, No. 6, 816(1954); см. также сб. «Действие ядерных излучений на структуру и свойства металлов и сплавов». М., Металлургиздат, 1957, стр. 63.
- [2] С. Т. Конобеевский, Н. Ф. Правдюк, В. И. Кутайцев: Материалы Международной конференции по мирному использованию атомной энергии (Женева, 1955), т. 7. М., Госхимиздат, 1958, стр. 526.
- [3] В. С. Ляшенко, Ш. Ш. Ибрагимов: *Атомная энергия*, 6, вып. 3, 277 (1959).
- [4] А. И. Лейпунский и др.: *Атомная энергия*, II, № 6, 497 (1957).
- [5] В. А. Ильина и др.: Проблемы металловедения и физики металлов. Третий сборник трудов Института металловедения и металлофизики. М., Металлургиздат, 1952, стр. 178.
- [6] Я. С. Уманский и др.: Физические основы металловедения. М., Металлургиздат, 1955, стр. 465, 471.
- [7] Ч. Брач, В. Макхью, Л. Дойг: *Атомная техника за рубежом*, № 1, 40 (1958).

T₂O 的蒸氣压

波波夫(М. М. Попов)

塔吉特奇諾夫(Ф. И. Тазетдинов)

本文敘述了溫度範圍為 12—95°C, T₂O 含量為 83.4 和 98.1 克分子% 高濃度氚水試樣的蒸氣壓的測定方法, 並列舉了實驗結果。為了考慮到水的輻射分解和核衰變所產生的氣體產物的壓力, 在二個已知容積的設備中, 用靜力法進行了測量。已經得到 HTO 和 T₂O 的沸點為 100.8 和 101.6°C。在這些溫度下的蒸發熱為 9.9 和 10.1 仟卡/克分子。標準熵相應為 19.3 和 19.0 熵單位。

關於 T₂O 含量不大的氚水的蒸氣壓測量, 在文獻中曾經發表過二篇簡報。測量的結果是互相矛盾的: 在一種情況下指出 HTO 的沸點比 H₂O 低^[1], 而另一種情況指出比水高^[2]。本文敘述了溫度範圍為 12—95°C 時二種 T₂O 百分率高的試樣的蒸氣壓測定方法和結果。

測量方法和設備

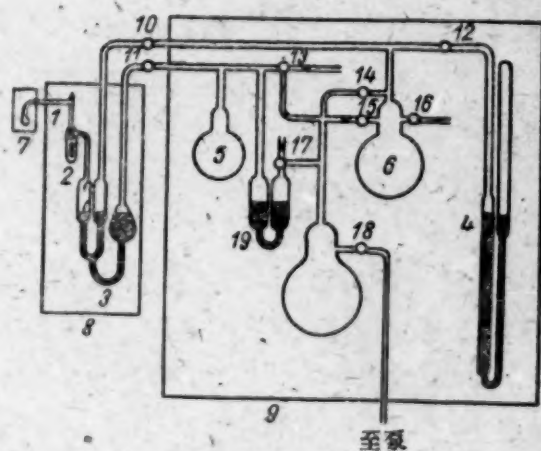
如果在幾個已知容積的設備中(不少於 2 個)進行測量時, 儘管由於氚的放射性, 不可避免的在 T₂O 之上會生成氣體產物, T₂O 的蒸氣壓可以用靜力法測定。由於容積的改變並不影響到飽和蒸氣壓, 可以把蒸氣混合物和氣體的總壓力分為單個組份的分壓力。在試樣輻射分解時所生成的過氧化氫的濃度一般是很低的^[3], 可能嚴重影響到蒸氣壓的測定。所以要選擇這樣的測量方法, 是因為這種方法對於微量的試樣(不大於一滴)容易實現, 且不需要採取附加的措施來保證工作的安全。

測量是在玻璃的 (3C5K) 設備中進行的。這種設備與一般靜力法測量設備不同之點僅僅在於它的工作容積是能夠改變的(見圖)。用水銀差示壓力計 3 作為零點裝置。容積的改變用移動壓力計 3 的汞水平面來實現。使水銀的彎液面與放在壓力計管內的玻璃針的末端相接觸, 可以重複得到二個已知的容積, 其誤差為 ± 0.005 厘米³。用內直徑為 ~ 15 毫米的管製作壓力計 3 和 4。

用高差計來測量壓力。壓力的測量誤差在 200 毫米汞柱以下為 0.03 毫米, 而在 200 毫米汞柱以上為 0.06 毫米。

在溫度高於試樣溫度 5—10°C 時, 壓力計 3 與液體試樣單獨進行保溫。這是為了在容積改變時避免蒸氣凝聚在壓力計的玻璃壁上。恆溫器 7 的溫度起伏(見圖) 不超過 + 0.003°C。用分度為 0.1°C 精確度為 0.01°C 的水銀溫度計來測量溫度。溫度計曾經用標準鉑溫度計在實驗條件下校對了電阻。

液體試樣(約 4 毫克分子)是用被鈾淨化過的氚和加熱至 350°C 的氧化銅相互作用而得到的。反應產物直接冷凝在測量設備中。原始氚的同位素組成用石英氣體天平來測量¹⁾。在文獻[4]中敘述了天平的穩定性和測量方法。在設備中采



用來測量蒸氣壓的設備的示意圖

- 1——裝有試樣的安瓶; 2——開啟器; 3——零點壓力計; 4——壓力計; 5, 6——緩衝容器; 7—9——恆溫槽; 10—18——活塞開關; 19——壓縮器。

1) 這些測量是由西寧(М. Д. Сенин)和莫洛佐夫(Ю. М. Морозов)所做的, 為此, 作者向他們致以真誠的謝意。

用了水銀封閉和电磁开启器来代替开关。使得能够一直到测量完都免得使淨化过的氚和制备的試样与有机潤滑油相接触。

为了測定在該温度下的蒸气压,作了三个压力讀数:第一个和最后一个讀数是在气相体积为 V_1 时讀出的,第二个讀数是在气相体积为 V_2 时讀出的。根据第一个和最后一个讀数,在它們之間采用恆定的气体聚积速度后,得到对应第二讀数时刻容积为 V_1 时的压力 P_1 。这个 P_1 的值和第二讀数 P_2 都是对应于在設備中气体量相同,但是对于二个已知体积 V_1 和 V_2 而讀出的。采用分压定律 $P_1 = P_n + \bar{p}_1$ 和 $P_2 = P_n + \bar{p}_2$ 和門捷列夫-克拉貝隆定律时,

$$\bar{p}_1(V_1 - V_3) = (n - x)RT_2; \quad \bar{p}_1 V_3 = xRT_1;$$

$$\bar{p}_2(V_2 - V_3) = (n - y)RT_2; \quad \bar{p}_2 V_3 = yRT_1.$$

按下列公式,积聚的試样蒸气压

$$P_n = \frac{1}{V_2 - V_1} (P_2 V_2 - P_1 V_1 - \Delta P V_3 \frac{T_2 - T_1}{T_1}), \quad (1)$$

其中 P_n ——試样的饱和蒸气压; \bar{p}_1, \bar{p}_2 ——在 V_1 和 V_2 时,混合物中气体的分压; V_3 ——在恆溫器 7 中的气相体积部分; x 和 y ——在这个体积中气体的量; T_1 和 T_2 ——分别为恆溫器 7 和 8 的温度($^{\circ}\text{K}$)(見图); $\Delta P = P_1 - P_2$ 和 n ——設備中气体的克分子数。 V_1, V_2 和 V_3 的絕對值与实验結果一起列出; V_3 的測定誤差 $\sim 10\%$ 。

預先测量二种水样的蒸气压,这个水样是用氫瓶中的氫經過鈷淨化以后制备的,对于水的蒸气压(毫米汞柱)得到了下列方程式:

$$\lg P = 8.0341 - \frac{1711.0}{t + 232}; \quad (2)$$

$$\lg P = 8.0632 - \frac{1725.5}{t + 233}; \quad (3)$$

其中 t ——水的温度($^{\circ}\text{C}$)。

当存在 3 和 13 微克分子氫时进行了测量。实验点与根据相应的方程式計算所得的点的偏差,在 30 个点中有 4 个超过了测量的极限誤差。方程式 (2) 和 (3) 所給出的 H_2O 蒸气压的值与文献[5]的数据不同,在 20°C 时相差 $+0.02$ 和 $+0.01$ 毫米。而在 100°C 时相差 -0.6 和 $+1.2$ 毫米。沸点为 100.02 和 99.95°C 。在 $0-100^{\circ}\text{C}$ 范围内,从方程式 (2) 和 (3) 計算得到的 H_2O 蒸发热的值和文献[5]的数据相符合,相差不到 1% 。

实验結果及討論

在表 1 和表 2 中列举了二种氚水試样蒸气压的測量結果。其中 T_2O 的总含量为 83.4 和 98.1 克分子%(其余为 H_2O)。

从較高浓度的試样所得到的数据換算后校正到对于 100% 的 T_2O 。在結果处理时采用表 1 和表 2 所指出的测量的极限誤差,作为实验点的不确定的极限。由于用来导出公式 (1) 的定律的近似性,在公式中忽略了在該温度下設備中三个压力讀数之間气体聚积速率的改变,試样的同位素組成的改变和过氧化氫的存在(仅仅在最不利的情況下)所产生的系統誤差,根据我們的估計,总共为測量誤差的十分之一,而不必加以考虑。

所得到的数据可以用方程式来表示

$$\text{对于 } 83.4\% \text{ T}_2\text{O}, \lg P = 8.0933 - \frac{1721.2}{t + 229}; \quad (4)$$

$$\text{对于 } 100\% \text{ T}_2\text{O}, \lg P = 7.9957 - \frac{1654.9}{t + 222}. \quad (5)$$

表1 83% T₂O 的蒸气压(设备容积: $V_1 = 3.886$ 毫升, $V_2 = 10.652$ 毫升, $V_3 = 0.32$ 毫升)

实验序号	$T_1, ^\circ\text{C}$	$T_2, ^\circ\text{C}$	P_1 , 毫米汞柱	P_2 , 毫米汞柱	$P_{\text{理}}$, 毫米汞柱	极限误差, ±毫米	与方程式(4) 的偏离,毫米
1	19.99	29.4	40.70	24.43	15.06	0.16	-0.10
19*	24.95	29.0	153.77	65.26	21.06	0.48	+0.38
2	30.00	40.0	57.65	38.80	27.94	0.20	-0.10
18*	34.92	40.0	161.80	78.62	37.06	0.49	-0.23
3	39.92	51.2	83.24	61.65	49.52	0.25	+0.22
4	45.01	50.3	100.84	78.03	64.90	0.28	+0.07
5	50.12	60.1	124.97	99.40	84.66	0.33	+0.18
6	50.12	60.1	126.54	100.00	84.71	0.34	+0.23
7	50.12	60.1	130.58	101.46	84.69	0.35	+0.21
8	55.02	60.2	156.50	125.60	107.81	0.42	-0.13
9	59.95	70.0	192.03	156.75	136.44	0.55	-0.51
17*	65.02	70.0	294.07	213.82	173.81	0.71	+0.32
10	70.07	79.1	274.60	238.34	217.42	0.67	-0.42
16*	75.09	80.1	309.50	283.60	270.60	0.68	+0.12
11	80.12	89.6	390.47	355.08	334.62	0.84	-0.53
15	85.22	95.8	437.52	421.65	412.39	0.89	-0.29
12	90.32	95.4	553.39	523.12	505.55	1.08	+0.77
13	90.32	95.4	525.08	512.77	505.53	1.01	+0.75
14	95.41	97.5	633.06	620.32	612.78	1.17	-0.52

* 在实验 № 15 以后,位于电磁开启器锤头的空间(见图)滴入了汞,因此 V_1 和 V_2 的值减少了 0.512 毫升。方程式的常数用图解法求得^[6]。

在用 98.1% T₂O 的实验中(见表 2),有 7 个情况实验数据和按照方程式(5)所计算的数据之间的差别超过了测量误差的极限。这样的情况甚至发生在检查测量中。大概,包含在这些测量中的个别读数是在显然不平衡的情况下读出的。当设备的容积要求保持恒定时,存在气体的量的改变,在我们的设备中要完全达到平衡未必是可能的。由于随着压力改变,设备的容积同样改变了;在容积改正时,蒸发或凝聚的过程加快了,而引起某一部分容积的气体浓聚,也就是体系与平衡状况有某些偏离。因此仅仅可以说,实际上测量的压力与平衡有足够的接近。

为了避免大量的气体在仪器中积聚和测量误差增长起见,如果间隔为 5 分钟的三次连续的观察指出在同一个标记上,压力的改变不超过 0.01—0.02 毫米汞柱(可能是由气体的量的改变所引起的),我们认为平衡是可以达到的。在个别情况下这样的测量亦可能发生在没有充分接近平衡的情况,例如当蒸气和气体在设备中以相反的方向扩散时。因此,我们测量误差实际上的极限,可能稍宽于表 1 和表 2 所列的一些幅度。然而用 H₂O 的检查测量指出,我们测量的精确度对确定 T₂O 和其他同位素形式的水的蒸气压之间的差别是足够的。这同样被二种含有不同浓集度的 T₂O 试样所作的二组实验结果的一致性加以证明。这一点可以从表 3 中看到,其中列举了实验数据平均以后所得到的 83.4% T₂O 蒸气压的值和根据拉乌尔 (Рауль) 定律计算的纯的 T₂O 的值。

在低温时,差别要大于预想的实验误差,这部分地可能与 H₂O 和 T₂O 混合物的蒸气压与拉乌尔定律的偏离有关。关于 H₂O 和 D₂O 的混合物,曾经发现有正的偏离^[7]。

在表 4 中对根据本文实验结果所得到的 HTO 和 T₂O 的性质与对 H₂O 和 D₂O 的已知数

表2 98.1% T₂O 的蒸气压(设备容积: $V_1 = 4.277$ 毫升, $V_2 = 11.043$ 毫升, $V_3 = 0.40$ 毫升)

实验序号	$T_1, ^\circ\text{C}$	$T_2, ^\circ\text{C}$	P_{11} 毫米汞柱	P_{21} 毫米汞柱	P_{12} 毫米汞柱	P_{T_2O} 毫米汞柱	极限误差, ±毫米	与方程式(5) 偏离,毫米
1	12.13	20.0	15.56	11.52	8.32	8.28	0.10	-0.18
3	14.69	29.9	27.86	17.03	10.15	10.10	0.13	+0.09
2	19.87	30.4	28.39	19.77	14.30	14.24	0.13	0.00
4	25.40	29.9	39.96	27.98	20.40	20.32	0.16	+0.07
5	30.09	40.0	51.63	36.44	26.81	26.71	0.18	-0.27
6	35.77	44.8	70.80	50.71	37.98	37.86	0.22	+0.22
30	40.26	45.1	139.03	83.66	48.61	48.46	0.42	-0.02
7	40.66	44.9	85.08	63.38	49.63	49.47	0.24	-0.09
29	45.40	49.9	133.20	90.90	64.11	63.93	0.41	-0.17
8	47.41	50.6	111.58	86.92	71.31	71.12	0.27	-0.17
28	50.18	59.9	146.23	107.47	82.89	82.69	0.44	+0.37
9	50.41	60.2	138.11	104.53	83.23	83.01	0.36	-0.29
27	54.94	59.9	163.99	128.05	105.28	105.02	0.46	+0.30
10	55.93	60.2	168.36	132.25	109.37	109.12	0.40	-0.86
26	59.65	65.0	174.31	148.86	132.73	132.44	0.46	+0.52
11	61.03	69.8	202.51	165.05	141.30	141.00	0.54	+0.19
25	64.70	75.7	205.66	182.63	168.00	167.67	0.54	+0.39
12	64.75	70.0	230.09	191.80	167.54	167.19	0.58	-0.45
24	69.61	75.7	246.27	224.02	209.89	209.50	0.61	+0.25
13	70.38	80.2	279.49	241.63	217.59	217.20	0.68	+0.68
23	74.98	85.1	300.49	278.98	265.28	264.82	0.71	-0.20
14	75.72	78.9	333.21	296.73	273.59	273.12	0.76	-0.48
22	79.92	85.1	361.77	340.78	327.40	326.89	0.80	+0.04
15	80.26	85.7	383.13	352.36	332.80	332.50	0.84	+0.90
21	85.26	95.0	444.31	422.32	408.27	407.69	0.94	+0.58
16	86.32	96.9	437.36	420.63	409.90	409.34	0.94	+1.25
17	86.32	96.9	437.17	420.60	409.97	409.41	0.94	+1.32
20	90.08	95.0	529.43	508.05	494.36	493.72	1.08	+0.76
18	94.87	97.6	630.66	608.44	594.18	593.47	1.24	+0.47
31	95.11	97.4	681.40	631.58	599.87	599.16	1.33	+0.73
19	95.30	98.0	644.01	619.03	603.03	602.30	1.26	-0.44

表3 83.4% T₂O 的蒸气压

$T, ^\circ\text{C}$	按方程式(4) 计算	按方程式(5) 计算
20	15.17	14.89
40	49.52	49.02
60	137.3	136.6
80	333.5	332.5
100	727.3	726.1

据^[7]进行了比较。

得到的 HTO 的蒸气压和蒸发热相应为 H₂O 和 T₂O 的蒸气压和蒸发热的几何平均值和算术平均值。在文献[6]中叙述了蒸发热的计算方法;取 T₂O 的临界温度和临界压力为 370°C 和 212 大气压,亦就是比 H₂O 和 D₂O 的临界温度和临界压力要低一些(分别为 374.2 和 370.9°C;

218.5 和 215.7 大气压^[7,8])利用文献[9]来计算液态的熵。

表 4 H₂O, D₂O; HTO 和 T₂O 的某些性质

T, °C	H ₂ O	D ₂ O	HTO	T ₂ O
蒸 气 压, 毫 米 汞 柱				
10	9.21	7.79	8.19	7.29
25	23.76	20.6	21.7	19.8
40	55.32	49.3	51.4	47.8
60	149.4	136.6	141.5	134.1
80	355.1	331.6	341.3	328.0
100	760.0	722.2	738.8	718.2
沸 点 °C				
	100.0	101.4	100.8	101.6
蒸 发 热, 仟 卡/克 分 子				
10	10.64	11.00	11.0	11.3
25	10.52	10.85	10.8	11.0
40	10.36	10.64	10.6	10.8
60	10.15	10.41	10.4	10.6
80	9.94	10.17	10.1	10.3
100	9.72	9.93	9.9	10.1
熵 (S° _{298.16}) 熵单位				
	16.75	18.9	19.3	19.0

在所研究的温度范围内, T₂O 的蒸气压比 H₂O 和 D₂O 的蒸气压要低。但是 T₂O 和 D₂O 蒸气压之间的差别很小。随着温度升高, 比值 P_{H_2O}/P_{T_2O} 和 P_{D_2O}/P_{T_2O} 接近于 1。HTO 的蒸气压比 D₂O 要高一些, 虽然这些化合物的分子量是一样的; 它们的蒸发热在所得到的数据的精确度范围内是一样的。

在 25°C 时比值 P_{H_2O}/P_{HTO} 为 1.097; 因此, 反应



和



在该温度下的平衡常数, 应该为相应的气体反应平衡常数 (4.63 和 6.19^[7]) 的 1.097 倍。亦就是等于 5.08 和 6.79。

在文献[2]中所列举的 HTO 蒸气压的值比我们所得到的值低。它们也低于 D₂O 的值, 而几乎和我们的 T₂O 蒸气压的数据相符合。从文献[10,11]可见, H-T-化合物的蒸气压应该比 D-D-化合物的蒸气压高, 对于 HT 和 D₂ 曾经实验证明过。文献[2]的数据和我们的数据不同, 和文献[10,11]的结果不相符合。除此以外, 引用这样低的 T₂O 蒸气压的值, 使得 $P_{H_2O} - P_{D_2O}$ 的差别比 $P_{D_2O} - P_{T_2O}$ 的差别更小, 这种可能性是很小的。

参 考 文 献

- [1] W. Libby, R. Cornog: *Phys. Rev.*, **60**, 171 (1941).
- [2] A. Price: *Nature*, **181**, 268 (1958).
- [3] E. Hart: *J. Phys. Chem.*, **56**, 594 (1952).
- [4] М. Д. Сеняв, Ю. М. Морозов, Т. Ф. Карпова: *Приборы и техника эксперимента*, **4**, 125 (1959).

-
- [5] H. Landolt, W. Börnstein: *Phys. chem. Tab. Edit.* 5. Berlin, 1923, S. 1478.
 - [6] G. Thomson: *Chem. Rev.*, **38**, 1 (1946).
 - [7] И. Киршенбаум: Тяжелая вода. М., Изд-во иностр. лит., 1953.
 - [8] G. Oliver, J. Grisard: *J. Amer. Chem. Soc.*, **78**, 561 (1956).
 - [9] A. Friedman, L. Haar: *J. Chem. Phys.*, **22**, 2051 (1954).
 - [10] J. Biegeleisen: *Phys. Rev.*, **99**, 638 (1955).
 - [11] J. Biegeleisen, E. Keer: *J. Chem. Phys.*, **23**, 2442 (1955).

传送带上矿石的放射性分析

保西克(Л. Н. Посик) 巴比琴柯(С. И. Бабиченко)

格拉得柯(Р. А. Гродко)

本文首先简述传送带上铀矿石快速伽马定量分析的物理基础,所采用的仪器及其分析方法。说明这一测量方法是矿山和工厂放射性快速分析的基本方法。列举出有关资料,阐明不同物质成分矿石的测量精确性。

保西克在 1952 年所提出的在传送带上分析放射性矿石的方法,是矿車中被广泛运用的矿石快速伽马分析法的进一步发展^[1]。1956 年,我們首次采用了由亚庫保維契参加制造的閃爍装置,在传送带上作矿石的分析。目前正在进行試驗工作,并且,这种分析仪器已投入成批生产。在参考文献[2]中叙述了盖革計数管在选矿时是用来不断检查矿石,但对仪器和工作方法未有說明。

传送带上矿石的快速分析具有下列物理特征:

1. 对薄的矿层进行测量;
2. 射线剂量的大小与矿石流中铀的数量成比例,不与其平均含量(饱和层中的)成比例;
3. 矿石每个最終体积的测量時間有限(数秒鐘),它是取决于测量装置的几何形状,探头到矿石流間的距离和传送带的运轉速度;
4. 具有較高的本底。它是由坑道和传送带放射性污染,以及矿車內或矿石庫中矿石的影响所造成的;
5. 与矿車中的测量相比,同一量的矿石能分成大量“部分”样品,这就在本質上改善了分析結果的統計精确性。

铀分布不均,平衡系数和射气扩散系数不稳定,矿石流断面的变化,以及矿石密度,顆粒度,湿度等的总的影响,是用共同的标准来衡量的,它可称为矿石流的統計性影响。显然,快速分析总的誤差应分为二类:与矿石流統計性影响有关的誤差和矿石流伽马射线脉冲計算的統計性誤差。

为了能更正确地考虑到物理特征对运动中的矿石测量結果的影响,現在来研究一下矿石流射线量的分析結果和計算测量統計性誤差的公式。

截面 $S = 2bH$, 长度无限小 dy , 铀含量为 q_i , 密度为 ρ_i 和以速度 v 沿着与座标起点一致的测量点移动的基本放射体的放射量(图1)由下列公式求得:

$$dDi = Kq_i\rho_i \frac{\varphi(r')}{r^2} dx dy dh dt \quad (1)$$

式中 K ——铀的伽马常数; $\varphi(r')$ ——矿石流物质中伽马射线的吸收函数; $r^{\frac{1}{2}}$ ——減弱函数; $r^2 = (a+h)^2 + x^2 + v^2t^2$ (图 2)

类似于:

$$\varphi(r') = e^{-\mu_{\text{有效}}r'},$$

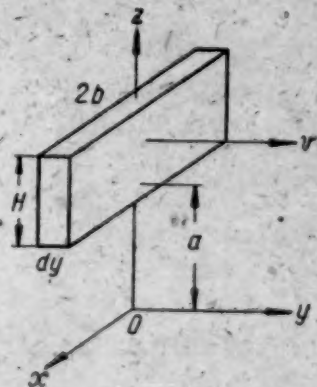


图1 平矿石流的基本垂直断面

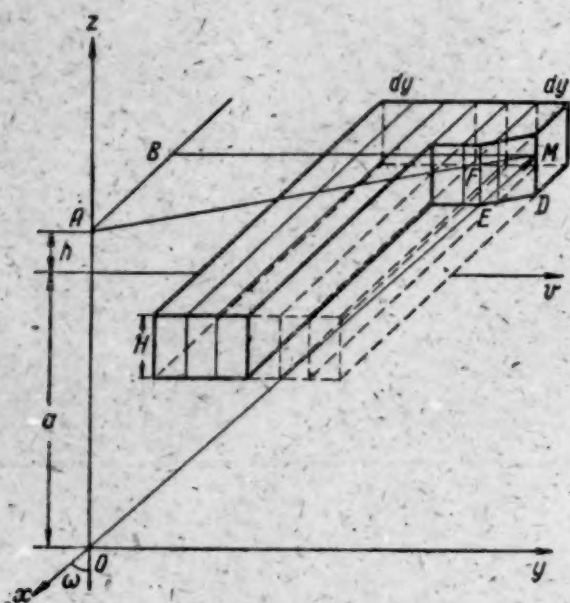


图2 切断平矿石流的坐标系图
($MD = EF = h$; $ME = r'$; $OM = r$;
 $OA = a + h$; $AB = x$; $BM = vt$;
 $\frac{r'}{h} = \frac{r}{a+h}$; $r' = \frac{h}{a+h} r$).

积分数字值 $I = I(b, t_0, H, \mu_{\text{有效}}, a, v)$ 并不取决于 q_i (范围很大), 同时, 它也是个常数^[3]. 假设这值等于 I 和 $dy = \Delta L$, 则得:

$$D_i = 4Kq_i \Delta L I. \quad (3)$$

在分析体中的铀量为:

$$m_i = q_i \Delta L S,$$

因而

$$D_i = \frac{4KI}{S} m_i \quad (4)$$

对长为 L , 由 h 个那样物体组成的矿石流来说, 则得

$$D_n = \sum_{i=1}^n D_i = \frac{4KI}{S} \sum_{i=1}^n m_i = \frac{4KI}{S} M_n = \eta M h \quad (5)$$

式中

M_n ——矿石流中铀的总量;

η ——伽马射线量换算成矿石中铀量(以每公斤铀的微伦琴为单位)的换算系数.

在規定测量条件下, 物质成分已知的矿石流的 $K, q, b, H, v, a, \mu_{\text{有效}}, t_0$ 值是由实验方法来确定的. 因而, 积分值 I 同样也可以求出. 那时, 根据公式(5)所求出的射线量 D_n 决定矿石流中的铀量. 主要类型矿石在最可能的测量条件下, 其积分值 I 是在快速电子计算机(БЭСМ)上确定的. 在探头到放射源间距离不同, 传送带速度不同的条件下, 用容量矿石标准源所作的试验性测量表明, $D_{\text{计算}}$ 和 $D_{\text{实验}}$ 值之间的误差不大于 $\pm 10\%$, 其平均误差为 $\pm 5.6\%$.

利用数值表(本文中未列出)能容易地求出在不同测量条件下, 放射性物质的放射量值. 这就可以根据矿石流的特征来选择仪器最理想的灵敏度值 I , 矿石流某些主要参数间的实例列于图3—6上.

现在应谈一下放射量与矿层厚度间的关系问题. 当 H 从0增加到30公分(图6)时, I 与 H 之间产生三种主要关系: 正比, 非线性关系和饱和范围(I 不取决于 H). 假如矿层的厚度符合于正比范围, 矿石流中铀量的测量最为精确. 假如矿层的厚度与非线性关系一致, 则矿层厚

式中

$$r' = \frac{h}{a+h} r; \quad \mu_{\text{有效}} \text{——该矿石流宽伽马射线束的有效吸收系数.}$$

移动体在测点 O 中, 其射线的实际测量时间称为純测量时间. 純测量时间的值等于放射性源沿测量点移动所需时间的二倍, 在这个时间内, 移动体射线量的值由最大(当 $t = 0, y = 0$ 时, 见图2)变为最小(取决于仪器的灵敏度). 純测量时间 $t_0 = 2t_1$ 决定在该分析条件下 ($2l = v2t_1$ 和 $t_1 = \frac{l}{v}$) 测量装置灵敏度区 $2l$ 的长度.

显然, 在純测量时间内, 移动体的射线量为:

$$D_i = 4Kq_i \Delta L I \quad (2)$$

在该测量条件下, a, b, H, v, t_0 和 $\mu_{\text{有效}}$ 值不变,

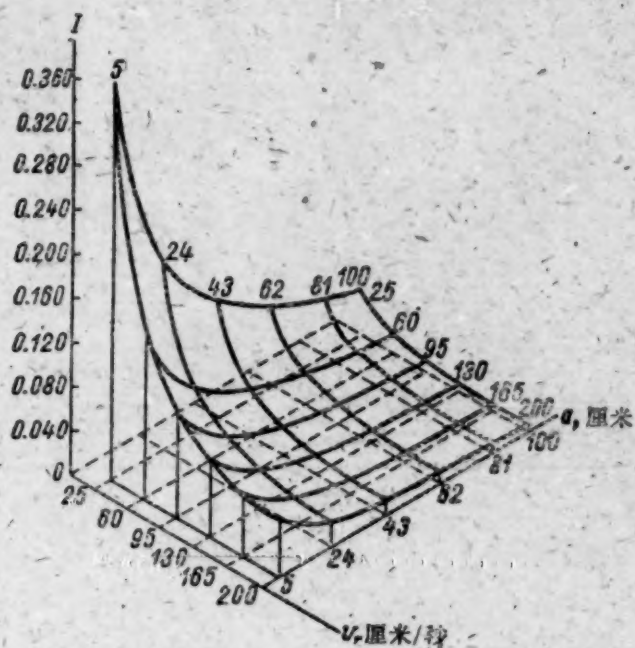


图3 积分值 I 与传送带速度 v 和探头到矿石流 a 間距离的关系 ($\mu = 0.08$ 厘米 $^{-1}$; $b = 25$ 厘米; $H = 5$ 厘米)

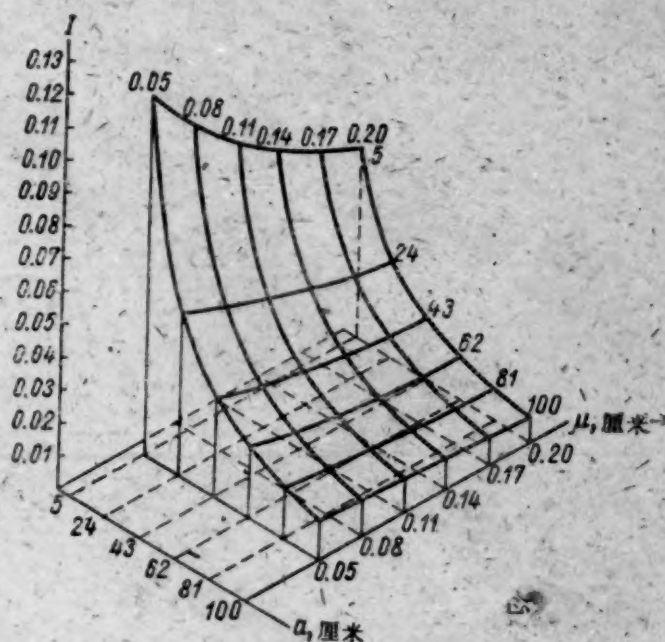


图4 积分值 I 与探头到矿石流 a 間的距离及吸收系数 μ 的关系 ($b = 25$ 厘米; $H = 5$ 厘米; $v = 0.95$ 米/秒)

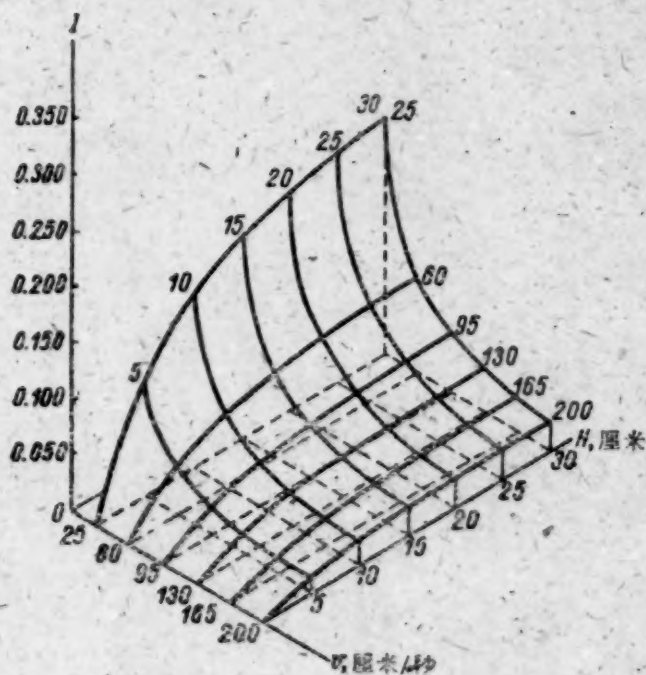


图5 积分值 I 与传送带速度 v 和矿层厚度 H 的关系 ($\mu = 0.08$ 厘米 $^{-1}$; $b = 25$ 厘米; $a = 43$ 厘米)

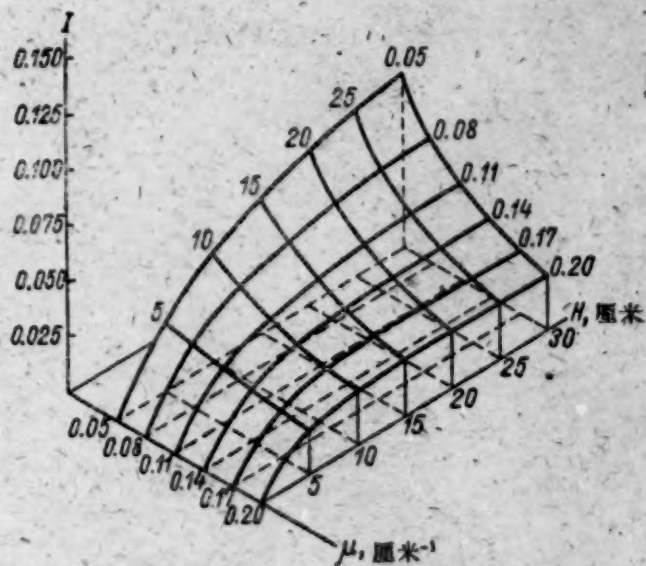


图6 积分值 I 与矿层厚度 H 和吸收系数 μ 的关系 ($v = 0.95$ 米/秒; $b = 25$ 厘米; $a = 43$ 厘米)

度的平均值应保证最大的稳定。

在規定底数值 D_{Φ} 的条件下,不同矿石流射线量计算值的统计性误差由相对均方误差来确定:

$$\sigma_n = \pm \frac{\varepsilon_{\text{нст}}}{D_{\text{нст}}} = \pm \frac{\sqrt{D_{\text{нобщ}} + D_{\Phi} \cdot \text{общ}}}{D_{\text{нобщ}} - D_{\Phi} \cdot \text{общ}} = \sqrt{2 + \frac{D_{\text{нст}}}{D_{\Phi}}} \quad (6)$$

$$\frac{D_{\text{нст}}}{D_{\Phi}} \sqrt{D_{\Phi}}$$

当 $\frac{D_{\text{нот}}}{D_{\Phi}}$ 增大时, 值 σ_n 变小, 所以, 为了取得小的统计性误差, 必需采用高效率的矿石流伽马射线测量仪器^[4]。

根据公式(6)所求得的值 σ_n 确定测量最大可能精确性, 其中未考虑到矿石流的统计性影响。快速分析最终结果的精确性应不小于 $\pm 5-10\%$ 。由于物理误差的值(1)较大, 甚至在采用平均修正系数时也难以消除。显然仪器的灵敏度就应这样来选择, 即值 σ_n 应比矿石流统计性误差和计算统计性误差的和小 $1/3$ 到 $1/5$ 。

在选择仪器类型时, 也应考虑到, 底数值必须稳定, 讯号和底数间具有最大的比例, 计算特性曲线的线性具有足够大的范围。要求底数最大程度的稳定, 实质上对选择仪器工作灵敏度和选择仪器探头的几何形状有关(因不能采用圆式屏蔽)。此外, 由于空传送带和满载传送带的底数值不同, 所以只有在传送带上装有矿石层时才能进行测量。在线路电压和温度变化时, 所以要有线性和高度稳定性, 是因为在用绝对计算法测量富矿石时, 在非线性的特性曲线条件下, 实际上是不可能对资料进行解释的。

PCY-1 型整套传送带矿石分析仪包括以下各主要部分: 携带式闪烁探头, 自动遥控部分, 计算部分(图7)和重荷探头。图8为整套仪器的方块图, 其中各部分的位置是根据传送带上的位置排列的。仪器的基本线路示于参考文献[5]中。

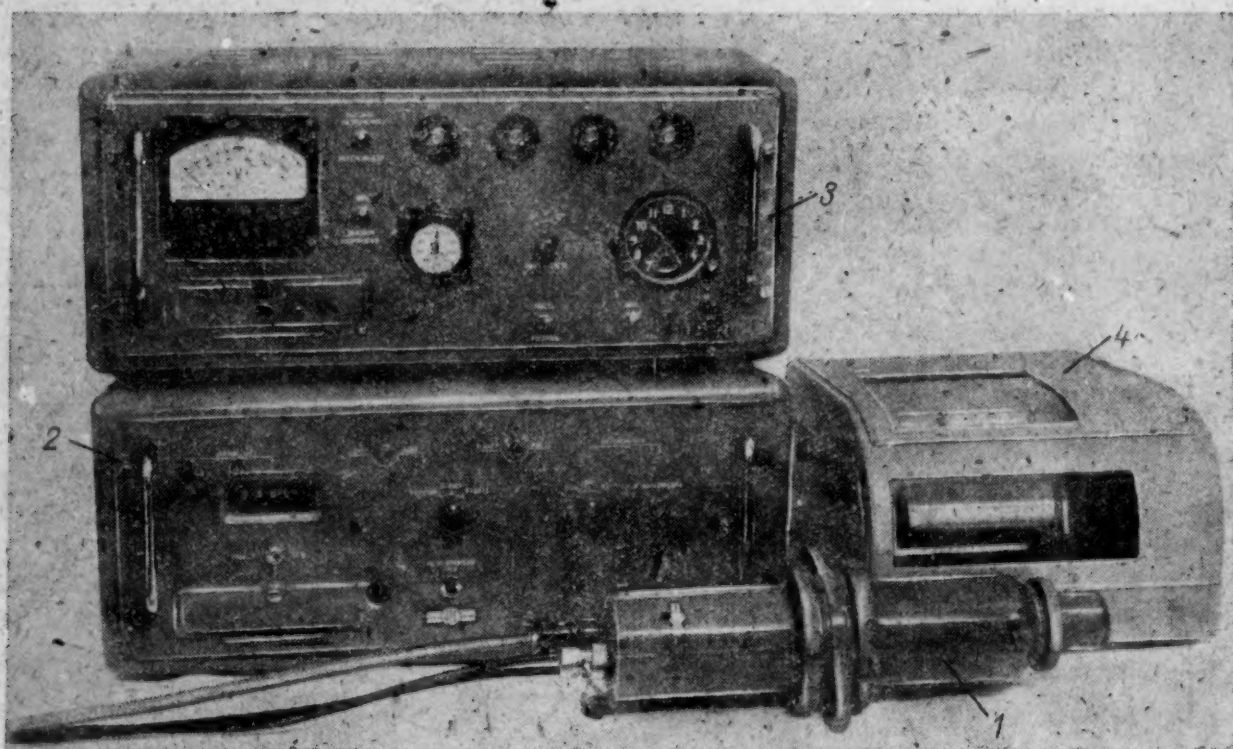


图7 PCY-T 辐射仪(“体积”牌)外貌图

1—闪烁探头; 2—自动遥控装置; 3—计算部分; 4—自动记录器。

闪烁探头(见图7)由伽马射线探测器—— 40×50 毫米的 NaJ(Tl) 晶体和 $\Phi\Theta\Upsilon-29$ 光电倍增管组成。从 $\Phi\Theta\Upsilon-29$ 来的脉冲, 输入整形阈式单稳态振荡器中, 后者将 $\Phi\Theta\Upsilon-29$ 的噪音脉冲进行鉴别。单稳态振荡器的输入灵敏度约为 0.1 伏。整形后的脉冲输入到倒相器, 然后进入阴极输出器, 该阴极输出器相当于具有自动遥控探头间连接电缆低姆波负载线路的高姆输出端。电缆(PK-1 型)的长度为 100 米, 并可增加到 120—150 米。

自动遥控部分 2 (见图7)具有输入级联, 强度计; 计算装置和电表自动遥控继电器线路和电表, 定时继电器, 电源线路。

探头脉冲在自动遥控部分中放大,并进入计算部分和强度计。仪器强度计具有负反馈,这样,在时间常数等于1秒钟时,就能真正改善所有三个测程: $500 \cdot 10^3$; $200 \cdot 10^3$ 和 $50 \cdot 10^3$ 脉冲/分钟上线路读数的线性。计算部分中100微安的仪器,以及与自动遥控装置相接的三毫安自动记录器是强度计读数指示器。

计算装置的遥控(控制来自传送带马达和重荷探头或定时继电器的脉冲)是由输入放大器电子管栅极线路实现的。

自动遥控线路由二个MKY-48型继电器组成,其绕组与传送带马达和重荷探头相接(见图8)。该线路仅在转动的传送带上有矿石时,接通计算装置和强度计。矿石流射线的测量时间根据电表的数字刻度盘来表示。

电子定时继电器具有2,3,4和5秒的固定时延,继电器在进行校正和作某种分析时,具有给定范围的测量装置是必须的。继电器可用遥控(例如探头就地安装)或用面板上“定时继电器起动”开关来控制(见图7)。

计算部分3(见图7)具有一个输入倒相器,负脉冲从其输出端进入整形单稳态振荡器,然后进入用半导体制的十进位计算线路。线路输入端的时间分辨能力不大于10微秒。其余四个十进位计算级由数个十进位计数器组成。脉冲从第二,第三和第四十进位器的输出端可进入机电脉冲表ЭМС的起动线路中。ЭМС具有 10^3 刻度的刻度盘,其最大频率为50脉冲/秒。这样,测量的总值可为 10^6 , 10^7 或 10^8 脉冲。在必要时,计算量可增大到 10^9 脉冲,这时,在计算部分的外部插孔中接入一个具有 10^4 刻度的刻度盘的机电脉冲表。

计算装置可用秒表或经过自动遥控器来操作。为检查其线路,装有控制振荡器。计算部分中装有高压稳定电源,当负载电流达150微安时,其可调范围为650—800, 800—1000, 1000—1500伏,350—500伏电压可作为气体放电计数管探头的电源。

重荷探头没有投入成批生产,没有整套仪器。最简单的探头是由一对固定在传送带重称减震系或指示系横杆上的触点组成。

图9为装在传送带上被屏蔽了的探头。

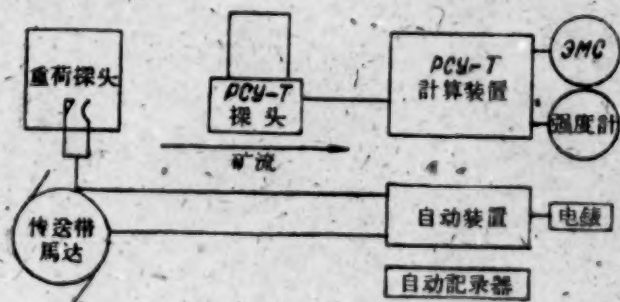


图8 PCY-T 整套装置方块图

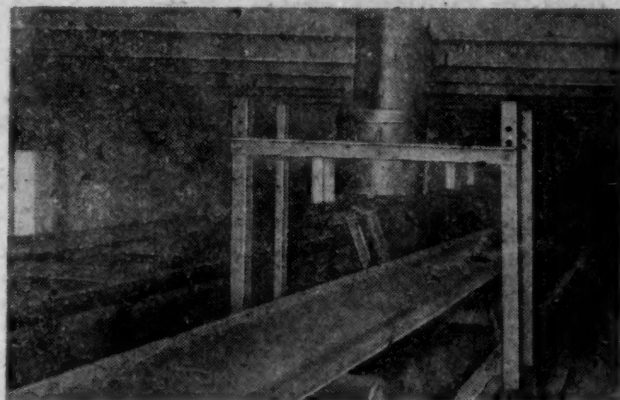


图9 装在传送带上探头被屏蔽的外貌图

测定换算系数 η 是校正传送带上测量仪器的重要方法。换算系数由三种主要方法来测定:

1. 将快速分析结果与不同重量矿石的全巷取样的资料作对比。采用这种方法能测得最可靠的 η 值,但经常缺乏必须的条件;

2. 测量不移动的矿石标准源,然后根据测量时间换算成等量矿石流。这种标准源的长度应等于测量装置灵敏度区的长度(2—3米),但这样实际上不方便。根据比例(5),截面 $S = 2bH$ 和物质成分应符合于矿石流的平均标准;

3. 在轉动的传送带上多次測量任意长度的矿石标准源, 其純測時間必須保證标准源通过整个灵敏度区。測定了矿石标准源中射綫量和其中的鈾量 (根据样品分析) 后, 就能較容易地根据 $\eta = \frac{D_0}{M_0}$ 的关系求出一公斤鈾的 η 值。

为了提高 D_0 值的統計精确度, 測量要进行 20—25 次。

这个校正方法不如第一种方法正确, 但整个校正过程就不会受全巷取样可能性誤差的影响, 并能作到有系統地对仪器稳定性和核算系数 η 稳定性进行检查。

矿石流快速分析結果和全巷取样結果对照表如下:

传送带上矿石快速分析結果与全巷取样結果对照表

矿 石 种 类	矿 石 特 征		相 对 誤 差, %	
	鈾的平衡系数, %	射气扩散系数, %	对 比 种 类	
			分 批	分 月
矽酸盐.....	73—115	8—48	±5.7	+0.1
”.....	73—115	8—48	—	+0.015
”.....	100	10	+3.1	+3.3
”.....	100	10	—	+4.5
”.....	100	10	—	+0.5
”.....	100	10	—	+3.6
矽碳酸盐.....	100	10	-0.3	—
碳酸盐.....	100	10	+2	—
矽碳酸盐.....	100	1	—	+2.2
”.....	100	1	—	-0.05
”.....	100	1	—	-1.4
”.....	100	1	—	-1.95
硫化物.....	84—117	20	±6.2	—
矽长石.....	100	5	+1.7	+0.24
”.....	100	5	+4.7	—

根据上述資料得出結論, 在传送带上进行測量可以作为在商品矿石装卸和工艺加工过程中快速分析的主要方法。在工厂, 选矿厂和在装卸碾碎矿石时的条件下, 来进行精确分析更为有利。

参 考 文 献

- [1] Л. Н. Посик, И. М. Тененбаум: *Атомная энергия*, III, № 7, 28 (1957).
- [2] E. Spice: *Canad. Mining and Metallurg. Bull.*, No. 460, 446 (1950).
- [3] В. Л. Шашкин: *Атомная энергия*, II, № 1, 48 (1957); там же, II, № 2, 157 (1957).
- [4] В. И. Баранов: *Радиометрия*. М., Изд-во АН СССР, 1956, стр. 117.
- [5] Л. Н. Посик: *Атомная энергия*, 7, вып. 6, 533 (1959).

γ 射綫在水和鐵中散射的能量角分布

卡桑斯基 (Ю. А. Казанский)

本文闡述了 γ 射綫多次散射过程最主要的特点——能量角分布的研究。其結果可以用来計算在复杂几何条件下 γ 輻射的衰減情况。在半无限的几何条件下測量了 Co^{60} 源的 γ 射綫在水和鐵中的能量角分布。并确定出：該分布在相应于最小角度一次散射的能量附近存在着极大值。証明了强度角分布具有指数特征，并且指数系数綫性地依赖于介质的原子序数。强度的能量分布与戈耳茨坦 (H. Goldstein) 及威金斯 (J. Wilkins) 的結果^[1]作了比較。

能量的角分布 $N(\vec{r}, \vec{Q}, E)$ 是 γ 射綫多次散射过程的最主要特点，有关能量角分布的知識对于計算复杂边界条件下的輻射强度（例如：对当照射部分屏蔽了的、放在散射介质内部的探测器时）有着决定性的意义。由于 $N(\vec{r}, \vec{Q}, E)$ 的計算涉及一系列困难，因而只对非常有限的几种情况作了計算^[2,3]。

許多实验^[4-8]都在放置初級 γ 輻射源的半无限介质平面边界附近的点上进行了散射 γ 輻射能量角分布的測量。在这些工作中，实验的几何条件都是这样的：源中心与測量点的联綫垂直于平面的边界；这样可以保証能量的角分布与极角无关。因此，所求的函数与挑选的測量点到能量为 E 的散射 γ 輻射源之間的距离 r 、源和測量点联綫与測量点附近散射 γ 量子的运动方向之間的角度 θ 有关。文献[4]及[5,6]曾經用 Co^{60} 初級 γ 輻射源分別測量过在混凝土和鉛介质边界上散射輻射的能量角分布。文献[8]用 Cs^{137} 源測量了混凝土边界上小角度 θ 的 $N(r, \theta, E)$ 。文献[6]用 Au^{198} 源測量了鐵介质边界上的 $N(r, \theta, E)$ 函数。文献[7]介紹了鉛壁边界上由于能量为 10 兆电子伏的电子減速而产生的入射轍致輻射能量角分布的測量結果。

本文将发表 Co^{60} 源的 γ 射綫在水和鐵中散射的 $N(r, \vec{Q}, E)$ 的測量結果。

实 驗 装 置

图 1 是測量从水中引出的散射 γ 輻射能量角分布的实验装置示意图。 $2 \times 2 \times 1.6$ 米的水箱中充滿了水，水箱上有一个有机玻璃窗，窗对面放置一个单晶閃爍 γ 譜仪，其中有一块直径 30 毫米高 27 毫米的 CsI(Tl) 晶体及 $\Phi\Theta\text{Y}-29$ 光电倍加管。晶体和光电倍加管都放置在鉛屏蔽层中，层的厚度不小于 100 毫米。探测器的方向由长 270 毫米，带有 10 毫米直径小孔的准直器固定。脉冲振幅用 20 道脉冲振幅分析器来分析。譜仪的旋轉中心与半无限介质边界面間的距离 a 等于 10 毫米¹⁾。因此， θ 角可由下式确定：

$$\theta = \theta' + \arctg \frac{a}{r} \text{tg } \theta', \quad (1)$$

其中 r 为由源至边界面的法綫距离； θ' 为譜仪的旋轉角。

当 $\theta' = 0$ 时，准直器的軸綫与边界面垂直，并通过 γ 輻射源（悬挂在尼龙綫上的直径 5 毫米的小球），准直器的位置用譜仪的积分計数与旋轉角 θ' 的关系来檢驗。积分計数的最大值位置与 $\theta' = 0$ 的偏离不大于 $\pm 0.3^\circ$ 。

1) 譜仪的旋轉軸与边界面不相重合导致选择的測量点与源之間距离的变化。但即使当 $r = 80$ 毫米及 $\theta = 60^\circ$ 时，强度的变化 $\sim 5\%$ ，当 $r > 200$ 毫米时，变化小于 1% 。在处理測量結果时已經考虑了强度的变化。

在 $\theta > 60^\circ$ 的情况下进行能量角分布测量时,将 γ 辐射源偏移一个角度 α ; 在这种情况下角 θ 由以下关系式确定:

$$\theta = \theta' + \arctg \left(\tg \alpha + \frac{a \tg \theta'}{r \cos \alpha} \right). \quad (2)$$

一般说来,将源旋转一个 α 角要破坏实验的几何条件:半无限介质平面好象相对于源-探测器系统旋转了一个 α 角。几何条件的破坏导致散射 γ 辐射能谱分布变化。为了确定半无限介质边界面的“旋转”对能量分布的影响,要对源-探测器系统相对于边界面的两种不同状态进行测量。当 $\mu_0 r = 1$ 时,曾经测量过 $\theta = 30^\circ$ 及 $\alpha = 0^\circ$ 以及 $\theta = 0^\circ$ 和 $\alpha = 30^\circ$ 的能量分布。图 2 为测出的仪器谱(已减去本底)。对于以上两种情况测量所得结果符合得非常好,可以认为,将边界面“旋转” 30° 对散射的 γ 辐射能量分布没有明显的影响。

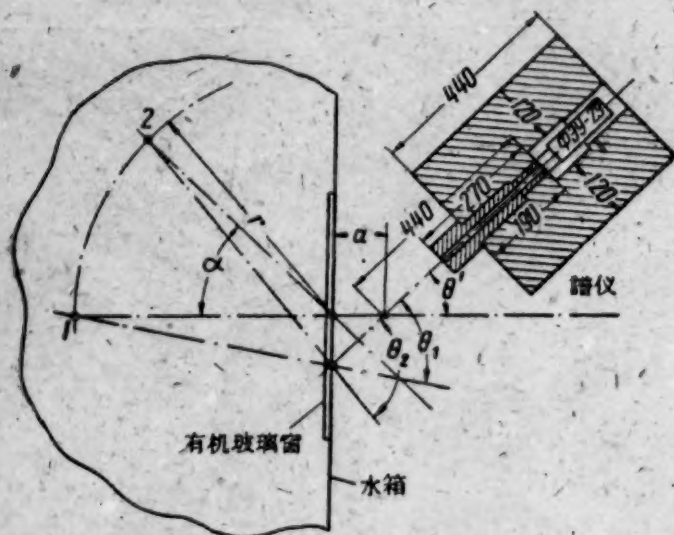


图 1 实验装置示意图

图中表示了源的不同位置: 1——当 $\theta < 60^\circ$ 时测量, 2——当 $\theta > 60^\circ$ 时测量。由谱仪旋转中心沿法线方向至边界面的比例尺标放大了(放大到 10 倍)。

测量从铁中引出的 γ 辐射能量角分布的实验装置在文献[6]中已经有过叙述。

由水中引出的散射 γ 辐射对五组 $\mu_0 r$ 值 (0.5; 1.0; 1.8; 3.5; 4.5) 的情况进行了能量分布与 θ 角相依关系的测量。对于由铁中散射出的 γ 辐射, 仅测量了 $\mu_0 r = 5.9$ 时各种 θ

由水中引出的散射 γ 辐射对五组 $\mu_0 r$ 值 (0.5; 1.0; 1.8; 3.5; 4.5) 的情况进行了能量分布与 θ 角相依关系的测量。对于由铁中散射出的 γ 辐射, 仅测量了 $\mu_0 r = 5.9$ 时各种 θ

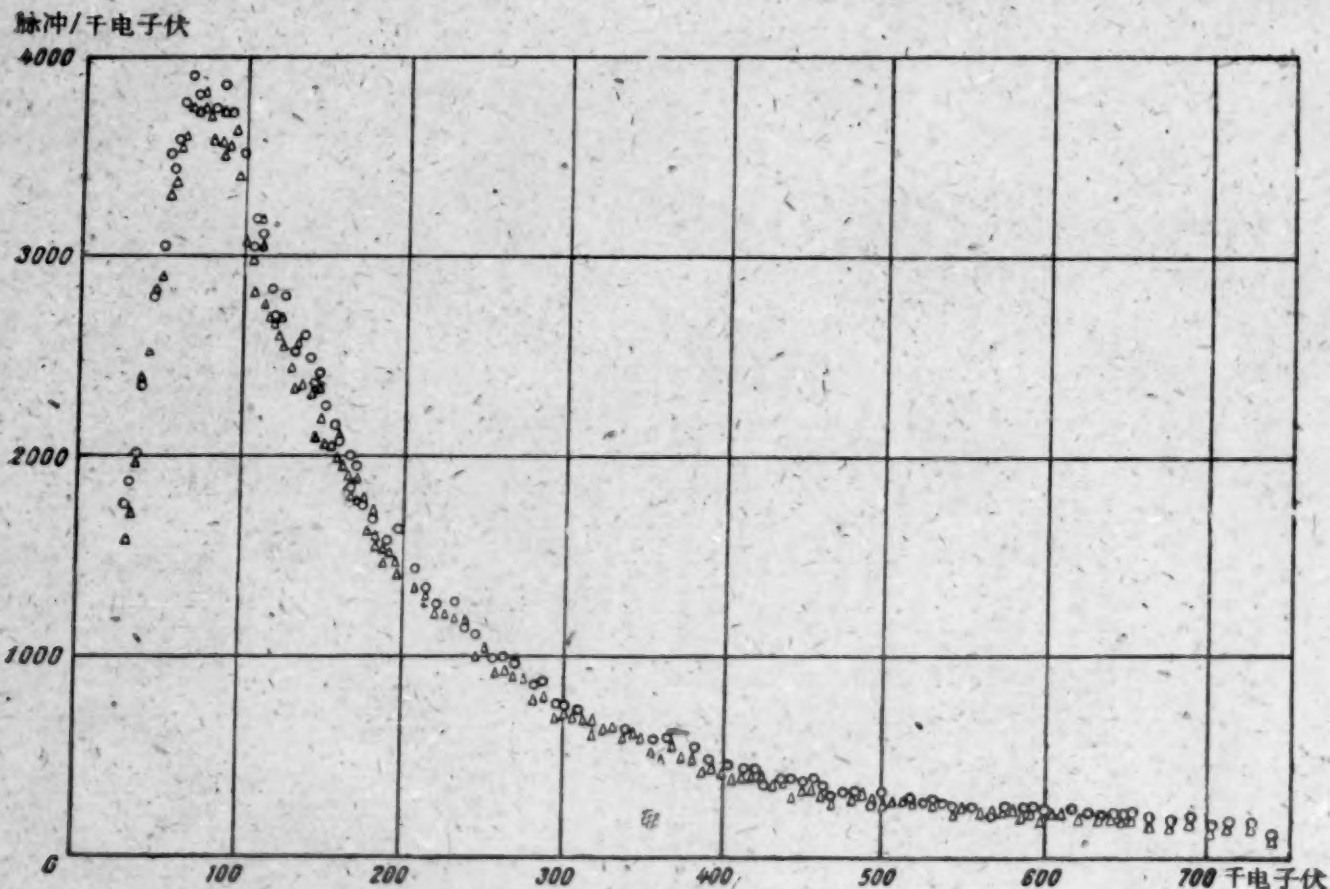


图 2 脉冲振幅的仪器谱(已减去本底),测量是在 $\theta' = 30^\circ, \alpha = 0^\circ$ (三角形) 及 $\theta' = 0^\circ, \alpha = 30^\circ$ (圆圈) 的情况下进行的

的能量分布。

在水中测量时,曾用了各种不同强度的 Co^{60} 源(1370, 600, 194毫居里)。测量步骤如下:
a) 确定谱仪的能量标度(为此,应用了 Zn^{65} , Cs^{137} , Cr^{51} , Ce^{141} γ 辐射源); b) 测量脉冲振幅的仪器谱; c) 测量本底(测量时准直器孔眼塞上铅棒); r) 重复测定谱仪的能量标度。对于每一个 θ 角,进行两次测量。

平均脉冲振幅的仪器谱变换为 γ 辐射的能量分布是逐步应用下式^[9]得到:

$$N(E_m) = \left\{ R(E_m) - \sum_{i=m}^n L(E_m, E_i) R_{0\Phi_i} \right\} \frac{1}{\epsilon_{\Phi}(E_m)}, \quad (3)$$

其中 $N(E_m)$ ——当 $E = E_m$ 时所要求的能量分布; $R(E_m)$ ——当 $E = E_m$ 时被记录下的脉冲数目; $R_{0\Phi_i}$ ——当 $E = E_i$ 时全吸收的脉冲数(光电峰); ϵ_{Φ} ——谱仪对光电峰的效率; $L(E_m, E_i)$ ——能量为 E_i 的 γ 量子产生脉冲的机率,正比于 E_m 。

函数 $L(E_m, E_i)$ 是已知的数值矩阵,它可以根据测量到的单能 γ 源的仪器振幅分布来列出。

关于列出 $L(E_m, E_i)$ 的数值矩阵以及求该谱仪效率等问题的详细讨论可参看文献[9]。

测量结果的误差基本上只由统计误差和从脉冲振幅分布转换到 γ 辐射能谱的误差确定。谱仪对光电峰的效率及函数 $L(E_m, E_i)$ 的均方误差分别为3及4%。仪器振幅分布的均方误差(已考虑本底)在1—3%范围内,个别情况下达到7%。由此可见,能量分布测量的均方误差,如不计及谱仪的分辨本领,应该是4—7%。由于谱仪分辨本领而造成的误差没有考虑,因为在远离锐边界的平滑的能谱情况下,这项误差是微不足道的(1—2%)。在靠近锐极大的地方,能量分布的形状可能受到显著的歪曲,然而在这种情况下要想作一些校正是非常困难的。

测量结果

对两种不同的源位置($\mu_0 r = 0.5$ 及 $\mu_0 r = 4.5$)测量出的在水中受到多次散射的 γ 辐射在不同角度 θ 的能量分布 $N(r, \theta, E)$ 结果如图3所示。随着 $\mu_0 r$ 的增加,在很小的能量范围内能量分布明显地发生变化:在低于100千电子伏区域,当射程增加时散射辐射峰值从90移于60千电子伏时偏移得非常明显。在水中散射的 γ 辐射的积分谱中,在60千电子伏的区域内也出现类似的情况^[10]。

图4比较了单能谱线强度的实验测量结果与理论计算值^[2]。因为实验是在半无限的条件下去进行的,而计算^[2]是假定在无限伸张的介质中,所以不可能期望实验值与理论值非常精确

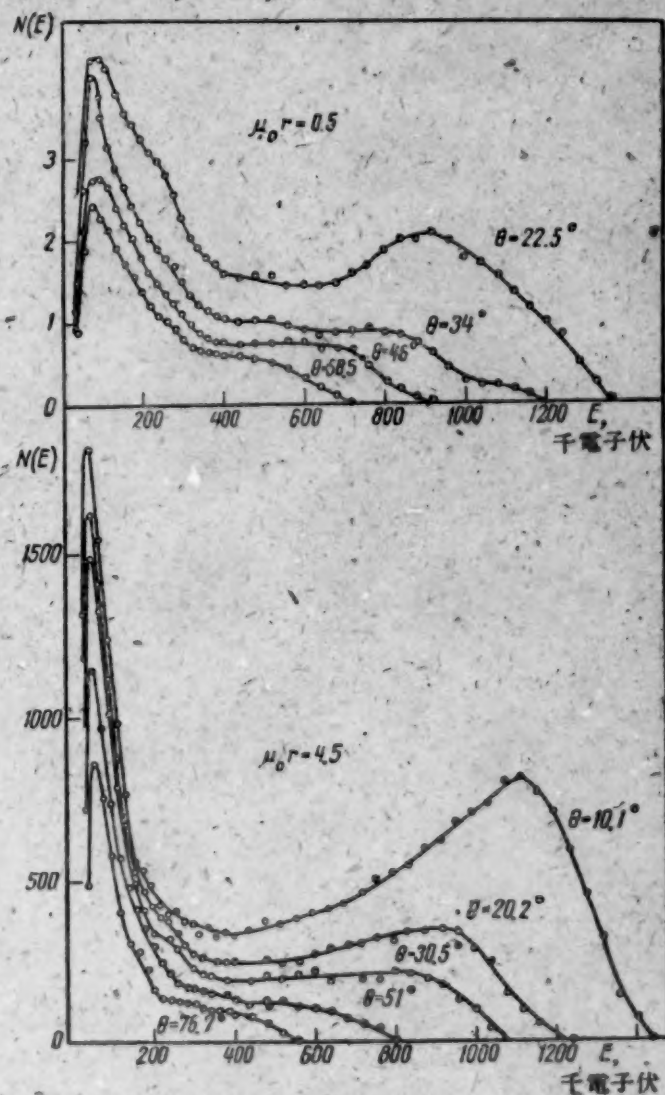


图3 对两种不同距离($\mu_0 r = 0.5$ 与 $\mu_0 r = 4.5$) Co^{60} 源在水中散射的 γ 辐射能量角分布

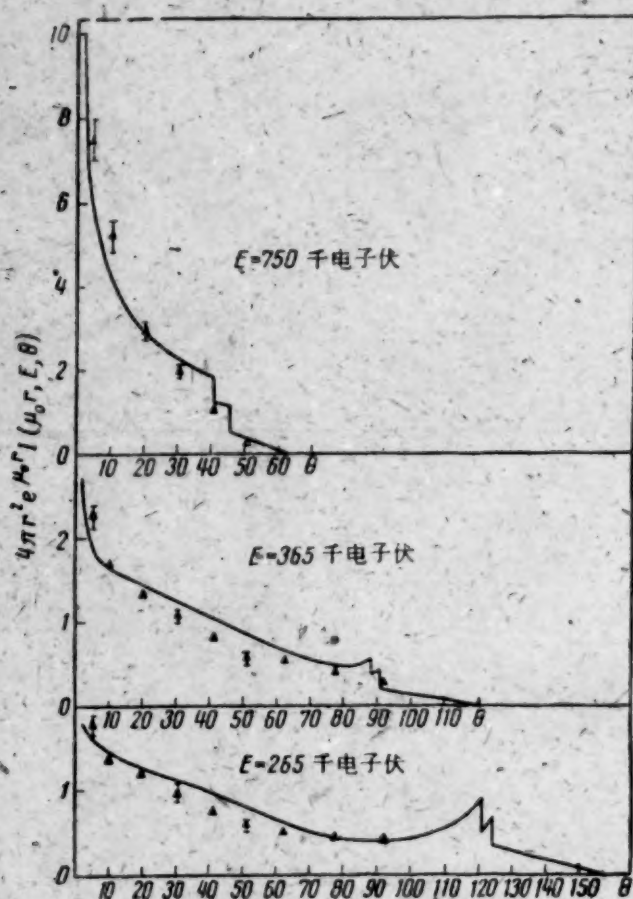


图4 Co⁶⁰源强度角分布的计算值^[2](实线)与实验值(三角形)的比较($\mu_0 r = 3$)。

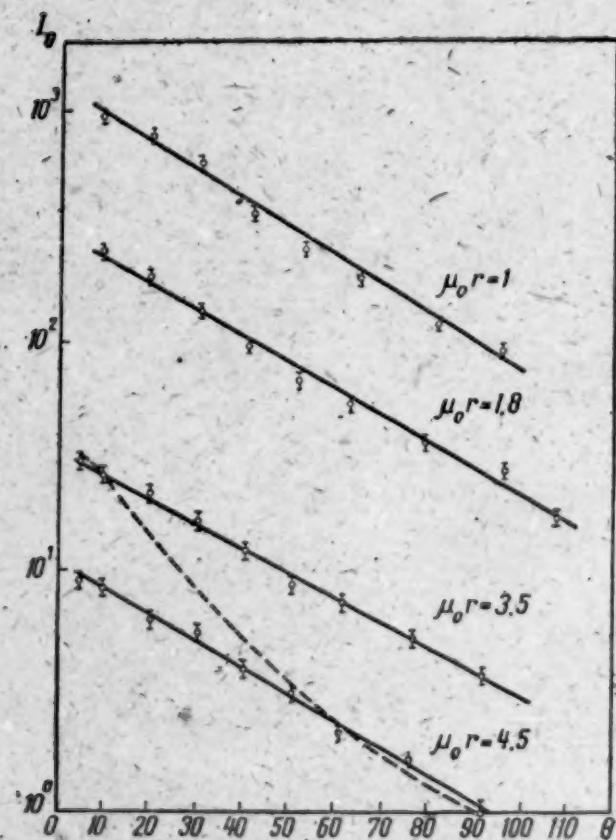


图5 Co⁶⁰源射线在水中的强度角分布 虚线表示按一次散射近似计算出的 $\mu_0 r = 3.5$ 的强度角分布,在 $\theta = 10^\circ$ 时归一化为实验值。

地相符。在低能及大散射角 θ 的情况下,预期两者会出现最大的歧离。实际上,由图可看出,对 265 与 365 千电子伏的单能谱线,计算值与实验曲线的歧离不大于 40%;而对 750 千电子伏的谱线不大于 20%。

图5为按照下式确定的强度角分布 I_θ :

$$I_\theta = 2\pi \sin\theta d\theta \int N(r, \theta, E) E dE.$$

由 5—10 到 90° 的强度角分布精确度为 7—10%, 带有指数性质。

在文献[11]中曾经测量过 Co⁶⁰ 源在水中的剂量积分角分布:

$$I_\theta^a = 2\pi \int_a^\infty \sin\theta d\theta \int N(r, \theta, E) \sigma(E) E dE,$$

其中 $\sigma(E)$ 为 γ 射线在空气中的吸收系数。 I_θ^a 与角 α 成指数关系。幂指数与表中所载数据很符合。

· 散射 γ 辐射强度的能谱

$$I_0 = 2\pi \int \sin\theta N(r, \theta, E) E d\theta$$

示于图6。量 I_0 是由测量到的分布 $N(r, \theta, E)$ 按图解积分法 (графическое интегрирование)

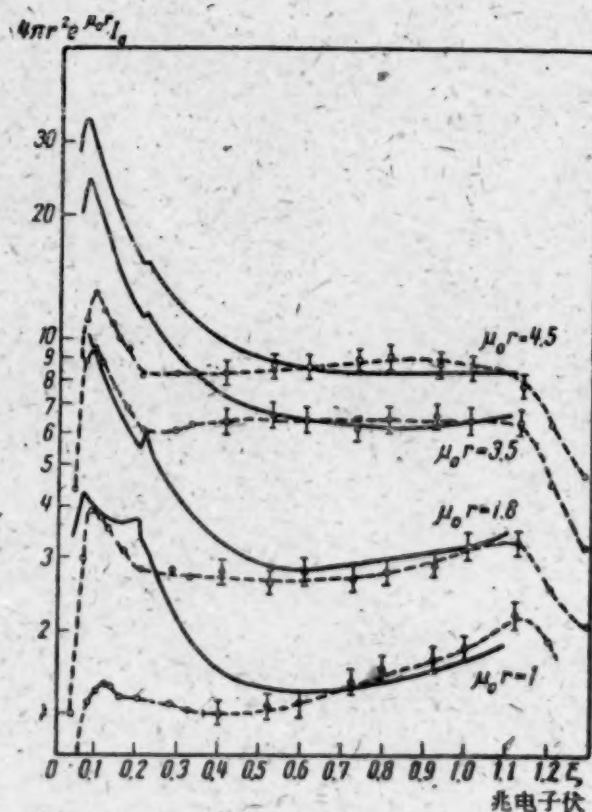


图6 Co⁶⁰源射线在水中的强度按能量分布 实验值 (○-○-○) 在 $E=0.6$ 兆电子伏及 $\mu_0 r = 4.5$ 时归一化为计算值(实线)。

求出的。为了便于比较,用实线画出了文献[1]的计算数据。

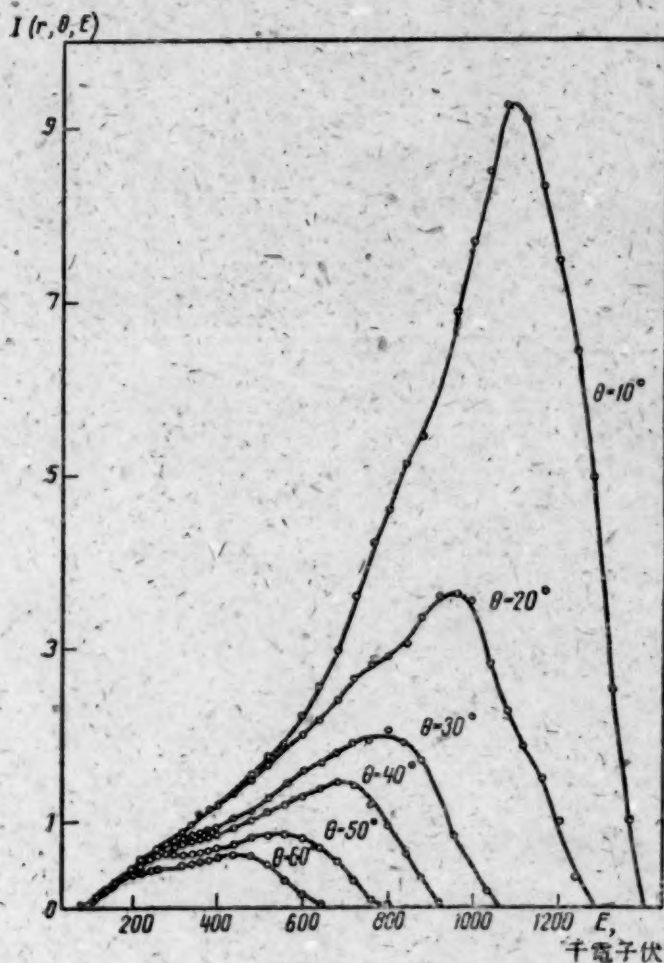


图7 Co⁶⁰源射线在铁中的强度角分布
($\mu_0 r = 5.9$)

图7为在铁中散射的γ辐射的强度角分布。将本文所得到的在铁和水中的强度的能量角分布与文献[4]在混凝土中测量结果作比较表明,在低能区域(100—400千电子伏)混凝土中散射辐射的贡献为水的一倍半至二倍,而比铁则大更多。分歧超出了测量的误差范围,或许这可以解释为:文献[4]的作者在处理测量结果时没有考虑到康普顿谱仪的谱线形状。

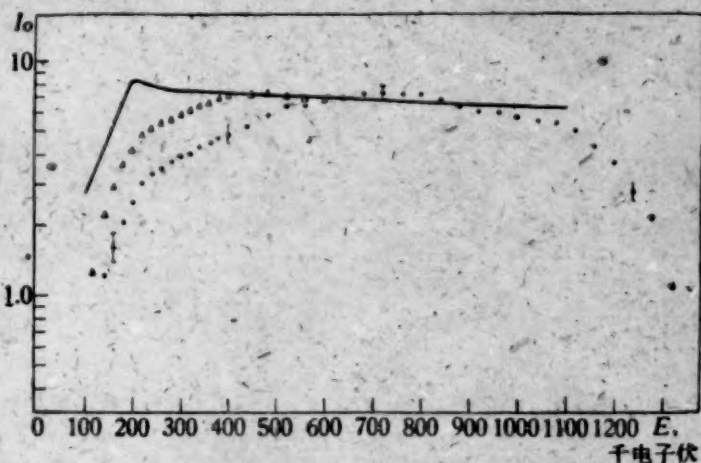


图8 Co⁶⁰源辐射在铁中的强度能量分布
当 $E = 0.8$ 兆电子伏时,实验数据(点)归一化为计算值。图中三角形为考虑了散射辐射后,外推出的从 60° 到 90° 的能量分布。

图8为由测量结果作图解积分后得到的在铁中的强度能谱 I_0 。实线表示文献[1]中计算出的能谱。

强度的角分布 I_θ 示于图9。

测量结果的讨论

散射γ辐射强度的能量角分布多多少少总有着一个明显的极大值,这个极大值靠近相应角度为 θ 的一次散射能量附近。图10为不同材料当 θ 等于 10° 及 40° 时的能量分布 (Co⁶⁰ 的初级γ辐射源)。类似的极大值也出现在初级γ辐射的能量为 ~ 0.5 兆电子伏处^[6,8]。

文献[7]指出,当初级γ辐射能量 ~ 3 兆电子伏时(平面的单向源)能量角分布具有一个极大值,与按照一次散射近似计算的能量分布极大值位置相重合。由此可见,角分布中的极大值位置在角度为 θ 的一次散射能量附近这个事实是能量分布的非常普遍的特征,这个事实证实了小角度散射的很大作用,以及可以用于各种不同的近似计算中。

强度的角分布 对于初级γ辐射能量为1兆电子伏的情况,在 5° — 90° 区间内,精确度在测量误差范围之内可以类似地用下式表示:

$$I_\theta = K e^{-\theta/\theta_0} \quad (4)$$

其中 θ_0 是强度角分布的指数系数; K 是比例系数。

如果认为表式(4)在角 θ 由0到90°的情况下是正确的,那么,比例系数 K 可写成

$$K = \frac{I_0^0(B_{\frac{1}{2}} - 1)}{\Theta_0(1 - e^{-\pi/2\Theta_0})}, \quad (5)$$

其中 I_0^0 是初级 γ 辐射在 r 点的强度; $B_{\frac{1}{2}}$ 是半无限几何条件下 r 点的能量积累因子。

即使对小角度($\theta < 5^\circ$)时式(4)所表示的强度角分布并未经过实验检验,然而在确定量 I_θ 时误差也不会超过5—10%,因为在 θ 为0—5°范围内,辐射仅贡献很小一部分。

对于各种不同的材料和射程,当 Co^{60} 用作初级 γ 辐射源时,实验求得的 Θ_0 值示于表内。

对各种不同的材料及射程的 Θ_0 实验值

铅 ¹⁾		铁		水	
$\mu_0 r$	Θ_0	$\mu_0 r$	Θ_0	$\mu_0 r$	Θ_0
2.2	21 ± 0.7	5.9	33 ± 2	1.0	36 ± 1
4.1	19.5 ± 0.3	—	—	1.8	38 ± 2
6.3	18.7 ± 0.3	—	—	3.5	42 ± 1
8.2	18.5 ± 0.3	—	—	4.5	38 ± 1

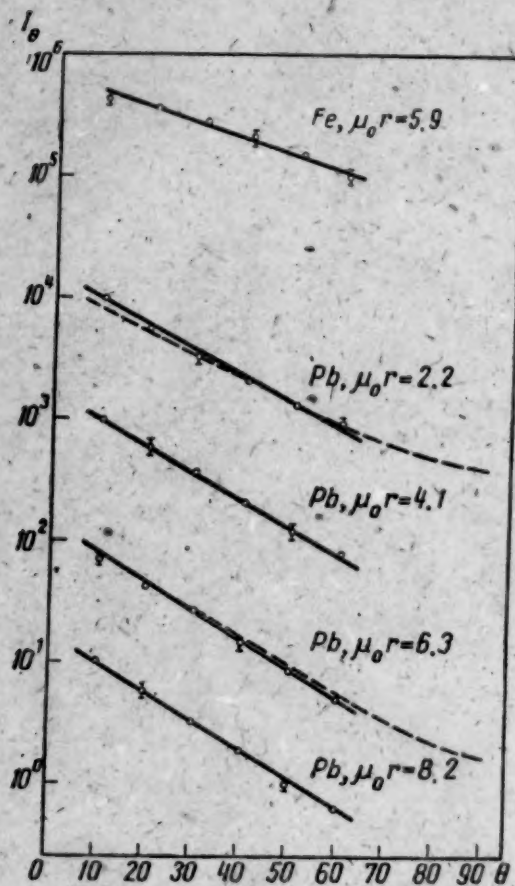


图9 Co^{60} 源辐射在铁和铅中的强度角分布

虚线表示按一次散射近似计算出的分布,在 $\theta = 10^\circ$ 时归一化为实验数值。

电子伏时强度的角分布。计算出的曲线示于图9,其形状与实验数据¹⁾符合得很好。对于水,类似的计算结果与实验数据却相差很远(见图5)。

如果假定当角度 $\theta > \pi/2$ 时强度角分布遵从指数性质,那么可以估计一下对于无限与半无限几何条件下的能量积累因子之比。将(4)式对 θ 从0至90°积分后,我们便得到:

$$\frac{(B_{\frac{1}{2}} - 1)}{(B_{\infty} - 1)} = \frac{(1 - e^{-\pi/2\Theta_0})}{(1 - e^{-\pi/\Theta_0})}. \quad (6)$$

按照(6)计算出的比可以与对于平面的单方向源所作的类似的计算^{[12] 2)}进行比较。对于铅,在1.5%范围内符合,对于铁,符合范围为5%,对于水,直到20%限度内还看出分歧。看起来,只在 $Z > 20$ 的情况下,假定(4)式对于 $\theta > 90^\circ$ 是正确的才有意义。

当初级 γ 辐射的能量为1兆电子伏(Au^{198} 源在铁中^[6])时,强度的角分布对角度 θ 的依赖关系变得不大了。在这种情况下,当 $\theta > 20^\circ$ 时, $I_\theta \simeq e^{-\theta/30^\circ}$ 。因而可以期望由于随着初级 γ 辐射能量的增长康普顿散射的各向异性增加, Θ_0 将会减小。然而根据文献[7]的资料建立起来的 $I_\theta(\theta)$ 关系(能量为10兆电子伏的电子韧致辐射的平面单向源,铅壁厚152.4毫米),对 $\theta > 20^\circ$ 应该正比于 $e^{-\theta/18^\circ}$,即与 Co^{60} 源在铅中的曲线行径相符合。

1) 数据采自文献[6]。

2) 将各种不同几何条件下的积累因子比进行比较是可以的,因为对于无限几何条件下的各向同性点源与平面单向源在 $\mu_0 r$ 值不太大时差别不大^[1]。

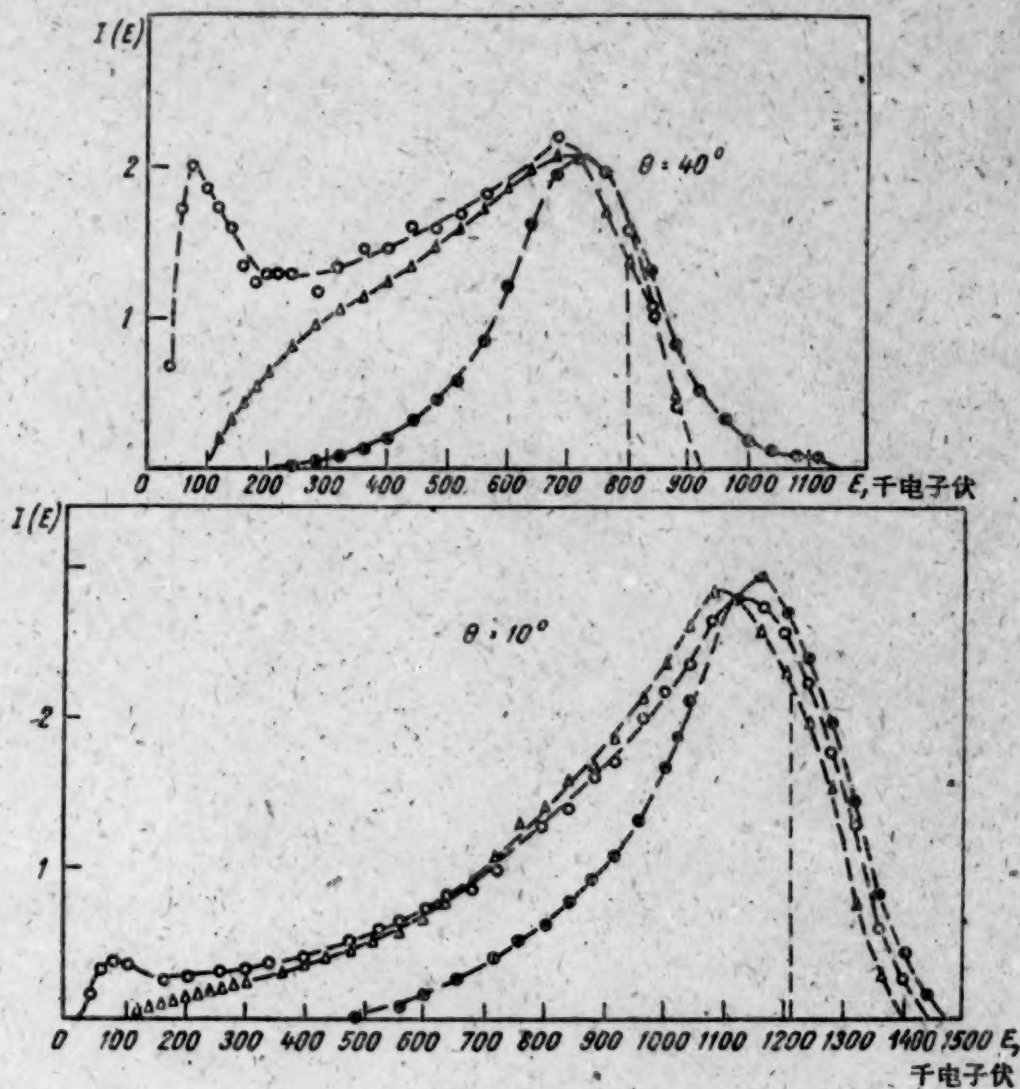


图 10 当角 θ 等于 10° 与 40° 时, Co^{60} 源的辐射在水 ($\circ-\circ-\circ$), 铁 ($\triangle-\triangle-\triangle$) 及铅 ($\bullet-\bullet-\bullet$) 中强度的能量分布
分布当 $E = 1.14$ 兆电子伏 ($\theta = 10^\circ$) 及 $E = 0.72$ 兆电子伏 ($\theta = 40^\circ$) 时归一化。垂直虚线表示角度为 10° 及 40° 时的一次散射 γ 辐射的能量。

散射辐射强度的能谱 曾经把按照能量角分布测量结果作出的强度能谱 I_0 (测量条件为半无限几何条件) 与用无限伸张介质矩的方法计算出的结果^[1] 作过比较 (见图 6 与图 8 及文献 [5, 6])。对于 Co^{60} 初级 γ 辐射源, 大体上在 5—10% 限度内对于高于 0.4—0.5 兆电子伏的能量计算与实验相符合。低于 0.4 兆电子伏, 实验数据照例低于计算值, 这只有用理论计算与实验的几何条件不同来解释。

对于较高能量的初级 γ 辐射源, 比较它们实验得到的和理论计算得到的能谱是很有意义的。文献 [7] 中将散射的韧致 γ 辐射能谱与文献 [1] 的计算结果作了比较。分歧 $\sim 25\%$, 作者用不同的几何条件, 和计算中未考虑次级电子的韧致辐射来解释这个分歧。应该指出, 实际上分歧还要大得多, 因为文献 [7] 的作者曾经将从各个方向与固定单位面积 (流) 相交的散射 γ 能谱与文献 [1] 给出的从各个方向与单位半径球面相交的散射 γ 辐射谱进行了比较。

作者愿意乘此机会向鵬达連科 (И. И. Бондаренко), 庫赫杰維奇 (В. И. Кухтевич), 泽宾 (С. Г. Цыпин) 表示深深的感谢, 感谢他们对于本工作的讨论。作者还要感谢沃洛辛 (А. Н. Волошин) 和波波夫 (В. И. Попов) 对于实验工作所给的帮助。

参 考 文 献

- [1] H. Goldstein, J. Wilkins: Calculation of the Penetration of Gamma Rays. New York, NYO-3075 (1956).
- [2] L. Spenser, F. Stinson: *Phys. Rev.*, **85**, 662 (1952).
- [3] M. Berger: *J. Appl. Phys.*, **26**, 1504 (1955).
- [4] G. Whyte: *Canad. J. Phys.*, **33**, 96 (1955).
- [5] Ю. А. Казанский, С. П. Белов: Физика и теплотехника реакторов. Приложение № 1 к журналу «Атомная энергия». М., Атомиздат, 1958, стр. 123.
- [6] Ю. А. Казанский, С. П. Белов, Е. С. Матусевич: *Атомная энергия*, **5**, вып. 2, 457 (1958).
- [7] J. Hubbell, E. Hayward, W. Titus: *Phys. Rev.*, **108**, 1361 (1957).
- [8] W. Dixon: *Canad. J. Phys.*, **36**, 419 (1958).
- [9] Ю. А. Казанский: *Приборы и техника эксперимента*, № 4, 32 (1959).
- [10] M. Weiss, M. Bernstein: *Phys. Rev.*, **92**, 1264 (1953).
- [11] В. И. Кухтевич, С. Г. Цыпин, Б. П. Шеметенко: *Атомная энергия*, **5**, вып. 6, 638 (1958).
- [12] M. Berger, J. Doggett: *J. Res. Nat. Bur. Standards*, **56**, 89 (1956).

作为辐射化学设备模拟和进行研究用的 具有放射性强度为60000克当量镅 Co^{60} γ 射线源的通用装置 (“K—60000”)

伯萊盖尔 (A. X. Брегер), 奥西波夫 (B. Б. Осипов),
高里津 (B. A. Гольдин).

本文叙述了辐射化学研究用的具有放射性强度约为60000克当量镅的 Co^{60} γ 射线源的通用装置。装置的构造可以模拟具有各种不同外形和大小的强的同位素 γ 射线源的辐射化学装置:圆柱形辐照器,双平板形、“热交换器”形和一个或几个柱形的辐照器。剂量率(不考虑防护容器中的减弱)从体积为36升时的~250伦/秒改变至体积为0.1升时的~3000伦/秒。这种装置是专门在指定条件下实际上是在任意的物理化学参数时进行辐射化学研究之用。同时保证可以进行遥控,和既能观察实验条件,又能观察辐照时所研究体系发生的过程。

与辐射化学研究的发展^[1,2]和在最近时期内行将到来的从实验室工作过渡到实现扩大规模的过程有关的问题,就是有必要设计一种新的装置,这种装置除了能够适合于一般要求之外(向同位素装置所提出的要求)^[3],还要能适合一系列新的要求。

一方面,对装置提出的要求是必须在大剂量率下(数量级为 10^2 — 10^3 伦/秒)照射大体积的物质(几公升,几十公升),而且剂量场要有足够的均匀性¹⁾。另一方面,必要进行流动的或者是循环的体系中辐照过程的研究。后一种情况下在大体积内的剂量场不必要均匀分布,而重要的是建立较大的剂量率。除此以外,随着辐射化学研究的发展,进行实验的物理化学条件复杂化了。最后,为了从实验室的实验过渡到实现工业过程,必须要能够实验地模拟具有各种不同形状和大小的强的辐射化学设备。显然,只有借助于这样的试验,人们才能拟订出可靠的有科学根据的半工业的和工业装置的计算方法。这里有被辐照体系所吸收的剂量场能量²⁾的计算^[4-6],辐照器和整个装置的热效率^[7,8],辐照器最佳形状和大小的选择,热的状况等等。

在研究“K-60000”装置时³⁾,除了前面所定出的一般要求^[3,9]和要实现文献[10,11]中所叙述的装置的要求以外,也曾考虑到前面所列举的要求。

应该指出,在一系列“K”装置建立以后所发表的一系列文献中,作者们在研究用于辐射化学研究的装置时是从和我们相类似和相接近的想法和要求出发的,特别是关于这些企图分析已知的文献资料来研究新的装置的作者的工作,它不仅仅是适用于这些条件的个别的设计问题,而是具有普遍意义的科学方法问题^[12,13]。

根据上述的想法,曾经研究和制作了“K-60000”装置。

“K-60000”的主要参数和装置的结构 “K-60000”装置专供下面一些用途:

1. 用来模拟具有各种不同外形的强的 γ 射线源的辐射化学设备,亦即:

1) 后者主要是在对固相客体照射时才有意义。

2) 伯萊盖尔,伐依恩斯钦 (B. И. Вайнштейн), 庫在依 (Л. С. Гүзей), 謝尔庫斯 (Н. П. Сыркүс), 梁浦兴 (Ю. С. Рябухин) 曾经进行了辐照体系中被吸收能量的计算。

3) 1957年7月已经开始研究。

a) 高 32 厘米, 内直径 2—38 厘米的空心圆柱形辐照器; 在这种情况下保证平均剂量率¹⁾从 ~ 3000 伦/秒(体积为 0.1 升)至 ~ 250 伦/秒(体积为 36 升);

б) 高 32 厘米, 长 32 厘米以下的双平板形辐照器, 板间距离为 5 厘米(体积为 4 升, 平均剂量率¹⁾为 ~ 1300 伦/秒)至 25 厘米(体积接近 26 升, 平均剂量率¹⁾为 ~ 450 伦/秒);

в) 在被辐照的介质中具有各种不同的源的分布方案的“热交换器”形辐照器;

г) 一个或几个柱形的辐照器;

辐照器的放射性强度可以从 3000 改变至 60000 克当量镭(在其他条件相同时)。

2. 在各种不同的设备中, 采用第一点中所谈到的辐照器来进行辐射化学过程, 而实际上可以在任何的物理化学条件下进行。

“K-60000”装置放置在二层的专门的设备间内。曲室(图 1)和工作热室(图 2)在下层, 在其中进行照射, 工作热室和曲室与邻近的房间用混凝土的楼板和墙隔开(混凝土的比重为 2.3 吨/立方米)。使得当 γ 辐射源的盒处于工作位置时, 能保证人员的防护。

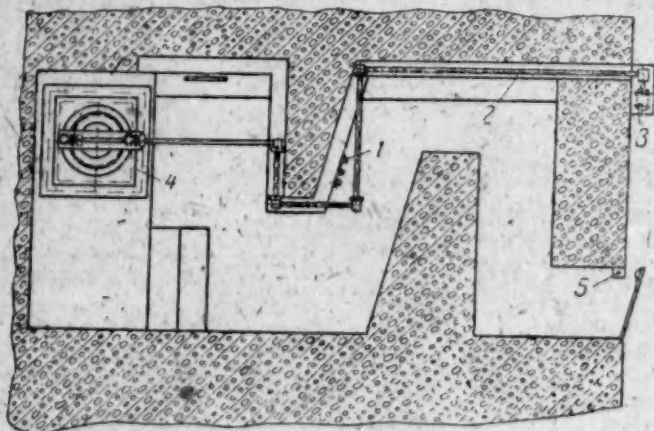


图 1 “K-60000”装置的水平剖面

1—剂量装置发送器 УСИД-1; 2—传动轴; 3—电动装置; 4—工作台; 5—螺管线圈开闭器。

在工作热室中置有装置的下列主要部件:

1. 由 20 个链 4 节的盒所组成的 γ 射线源(图 3), 在每一个盒中有 4 个标准 Co^{60} 源制剂, 每个的放射性强度为 700—750 克当量镭(在外壳中的制剂长度为 81 毫米, 直径为 11 毫米)。



图 3 装有 Co^{60} γ 射线源和电磁铁的盒

铸铁碎粒层的高度是 1.6 米, 弯曲形孔道减弱 γ 射线至允许标准以下。

3. 由 20 个单独管子所组成的装置的辐照器, 这些管子用柔性的金属软管与相应的贮藏室孔道相连接³⁾。

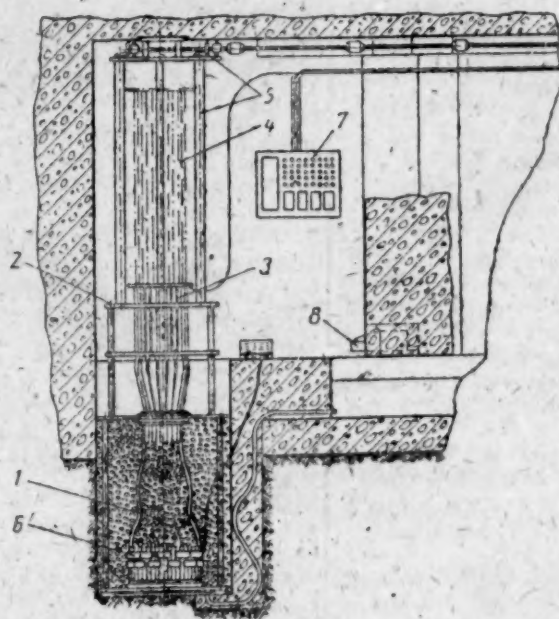


图 2 “K-60000”装置的垂直剖面

1—贮藏室; 2—工作台; 3—辐照器管; 4—用来提升 Co^{60} 盒的绳索; 5—源的调动机构; 6—感应发送器; 7—与操纵台的物理化学仪器相连接的电联络开关; 8—电视装置传送室。

2. 由 20 个单独的特殊弯曲孔道管所组成的 γ 射线源贮藏室, 这些孔道中间用直径为 2—3 毫米的铸铁碎粒充填(视比重为 4.5 克/毫升)²⁾。在物体辐照中间间歇时, 装有 Co^{60} 制剂的盒保存在贮藏室下部的孔道中。

1) 剂量率的计算没有考虑到在盒, 辐照器管子等材料中射线的减弱。关于剂量场的计算和他们的实验研究的详细数据, 将在以后发表。

2) “K-60000”装置的制备没有采用铅。

3) 贮藏室孔道, 盒, 辐照器管都是由型号为 X18H 9T 的不锈钢制成。

4. 装置的工作台, 用它来放置照射物体和在一定的实验下固定某种构型的辐照器管道(图 2 和图 4)。

5. 在末端带加固电磁铁的绳索, 用它来把需要数目的盒(从 1 至 20)提升到装置的辐照器中去。

6. 带有传动装置和电传动装置的源的移动机构。

除了上述部分以外, 在工作热室中还有气体和液体的出口, 用来连接装置在操纵台的二次仪表的导线的闸门和用来观察实验的物理化学条件: 温度, pH, 压力, 电阻, 剂量率等的遥控和调节。为了观看在工作热室中的照射物体而装有电视装置。装置的操纵台装有指示每一个射线源的位置的灯光信号装置。

装置的工作原理 在照射开始以前, 所有带 Co^{60} 制剂的盒都在孔道的下部。此时装在贮藏室孔道中的感应发送器发出信号。感应发送器是双绕阻的线圈¹⁾。线圈被供以交流电。当有芯存在时(在这个系统中芯就是 Co^{60} 制剂), 每一个线圈的次级绕阻被感应。产生的感应电流消耗在作用于信号装置的电路和曲室的联锁装置的继电器中。这样, 只有当所有带 Co^{60} 制剂的盒都在孔道下部时, 人们才能进入曲室和工作热室²⁾。

为了准备使装置进行辐射化学实验, 利用由板所组成的操纵器来安装和固定辐照器的管子和与所选择的辐照器外形有关的带有电磁铁的绳索³⁾。将照射物体放入防护容器以后, 经过中心管可以引入联线⁴⁾。这样, 装置准备进入工作状态以后, 位于工作热室中的操纵的接通联锁装置, 由于铁心螺管线圈作用的结果, 把门关闭⁵⁾。这种情况延长 20 秒钟, 这个时间对于走出热室和把门关闭来讲是足够的。接通电磁铁的供电线路来提升需要数目的 Co^{60} 制剂盒, 这些都是通过操纵台的开关来实现的。

在接通供电线路以后⁶⁾, 通过系塞将盒移近电磁铁, 并利用移动机构把盒提升至工作位置。在辐照器管中, 每一个盒的提升都由信号灯发出通知。

在实验结束以后, 以相反的程序进行全部操作。然后为了下一次研究, 可以从热室中取出照射物体和准备下一次实验的仪器。

“K-60000” 强 γ -射线源装置的装配方法 由 80 个标准 Co^{60} 制剂所组成的 γ 射线源的装配是借助于特殊的运输容器来进行的。这种容器与我们最早所设计的^[8]相类似, 在文献 [10,

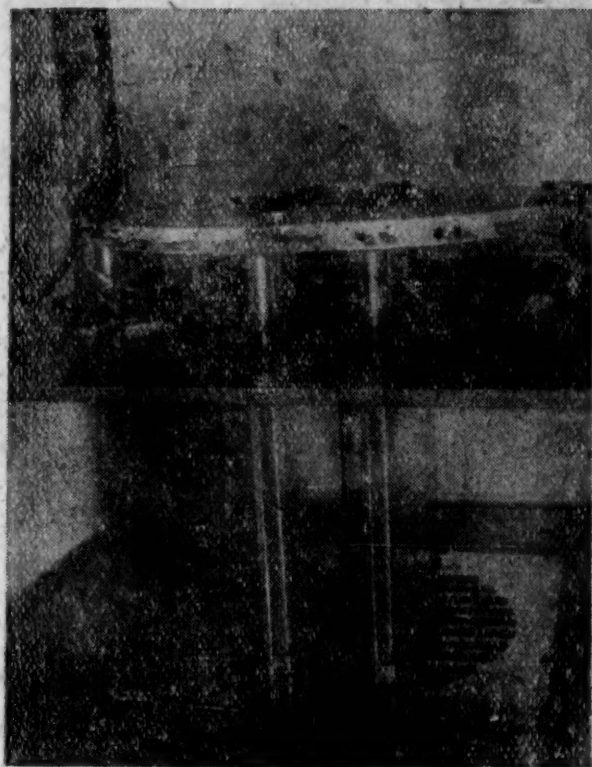


图 4 带有双平板形辐照器的“K-60000”装置的工作台

1) 线圈的绕阻是由对 γ 射线作用稳定的型号为 ПЭТКСО-0.35 的导线所绕成。导线涂有有机硅漆。

2) 除开利用感应发送器的联锁装置以外, 在入口门的联锁装置的电路中还有剂量计 УСИД-1 在工作, 在门打开时, 电磁铁的键自动地切断电流。此时, 在辐照器中带有 Co^{60} 的盒立刻沿着孔道落入贮藏室, 这样在装置工作时, 有了附加的联锁装置。

3) 从一种辐照器方案转变到另一种方案可以在安全条件下经操作 30 分钟来实现。

4) 在任意辐照器方案时, 照射物体可以放在工作台的上边, 占据半个热室。

5) 当螺管线圈开闭器的芯放下时, 只有当时间继电器接通时, 通向曲室的门才会关闭。时间继电器的按钮是在装置的热室中, 这是为了消除在源提升时人在热室中的可能性。

6) 电磁铁的供电是由一般的缓冲线路来实现。缓冲线路是由带有整流器 BCA-6 和容量为 384×2 安培/小时的蓄电池所组成。

11] 中描述了它的制作方法。容器放在装置的工作热室上面的板上,从板的中央通过混凝土的天花板引入预先在工作热室中与一个贮藏室孔道相连接的输送管。在贮藏孔道中已放好一个空的盒子,顺着输送管向每个盒子连续放入4个 Co^{60} 制剂,然后利用电磁赶锥撵入系塞。在撵紧(或撵下)塞子时,可以把每一个盒不动地固定在贮藏室孔道下部的六面槽中。

作者趁此机会向伐依恩斯钦,钦伯洛夫斯基(М. А. Дембровский),谢尔库斯表示感谢,感谢他们参加装置结构的个别问题的讨论。并向顿伯洛夫斯基(А. И. Домбровский),卡萨特金(В. М. Касаткин),拉托夫(А. В. Ратов),雅辛斯基(Д. В. Ясинский),格洛莫夫(И. А. Громов),伊万诺夫(В. Г. Иванов),杰米杰夫(М. Н. Демичев),谢莱勃梁柯娃(В. В. Серебрякова),特洛依诺夫(Н. В. Тройнов)等表示感谢,感谢他们参加装置的制作和安装。

参 考 文 献

- [1] С. С. Медведев: Тр. Всесоюзной научнотехнической конференции по применению радиоактивных и стабильных изотопов и излучений в народном хозяйстве и науке (4—12 апреля 1957 г.). Изотопы и излучения в химии. М., Изд-во АН СССР, 1958, стр. 85.
- [2] А. И. Топчиев, И. Г. Аладьев, П. С., Савицкий: *Атомная энергия*, 5, вып. 3, 321 (1958).
- [3] А. Х. Брегер: *Проблемы физ. хим.*, вып. 1, 61 (1958).
- [4] Ю. С. Рябухин, А. Х. Брегер: Моделирование изотопных источников излучений возможных промышленных радиационно-химических установок. Тр. 1-го Всесоюзного совещания по радиационной химии. М., Изд-во АН СССР, 1958, стр. 318.
- [5] А. Х. Брегер и др.: *Проблемы физ. хим.*, вып. 2, 132 (1959).
- [6] А. В. Бибергаль, М. М. Коротков, Т. Г. Ратнер: *Атомная энергия*, 7, вып. 3, 244 (1959).
- [7] Б. И. Вайнштейн, А. Х. Брегер, Н. П., Сыркус: *Ж. хим. пром-ти*, № 7, 6 (1959).
- [8] Н. П. Сыркус, А. Х. Брегер, Б. И. Вайнштейн: *Ж. хим. пром-ти*, № 8, 1 (1959).
- [9] А. Х. Брегер и др.: Сб. «Действие ионизирующих излучений на неорганические и органические системы». Под ред. С. Я. Пшежецкого. М., Изд-во АН СССР, 1958, стр. 379.
- [10] А. Х. Брегер и др.: Тр. Всесоюзной научной-технической конференции по применению радиоактивных и стабильных изотопов и излучений в народном хозяйстве и науке (4—12 апреля 1957 г.). Получение изотопов. Мощные γ -установки. Радиометрия и дозиметрия. М., Изд-во АН СССР, 1958, стр. 182.
- [11] А. Х. Брегер и др.: Доклад № 29 на Международной конференции ЮНЕСКО по использованию радионуклидов в научных исследованиях (Париж, сентябрь 1957).
- [12] К. Мюррей, Р. Робертс, Р. Дав.: Доклад № 19 на Международной конференции ЮНЕСКО по использованию радионуклидов в научных исследованиях (Париж, сентябрь 1957).
- [13] O. Joklik: *Atompraxis*, 10, N. 10, 355 (1958).

簡 報

第一个原子能发电站上用过的释热元件的研究¹⁾

斯米尔諾夫-阿維林 (А. П. Смирнов-Аверин) 卡尔科夫 (В. И. Галков)
謝瓦斯季亞諾夫 (Ю. Г. Севастьянов) 克洛特 (Н. Н. Крот)
伊万諾夫 (В. И. Иванов) 謝依爾 (И. Г. Шейнкер)
斯達賓諾娃 (Л. А. Стабенова) 基爾揚諾夫 (Б. С. Кирьянов)
科茲洛夫 (А. Г. Козлов)

为了設計新型的原子核动力反应堆和制造新型結構的工作元件，就有必要研究释热元件在工作过程中所发生的变化。全面地研究那些用过的释热元件，就可以建造核燃料有效利用率最高的动力用反应堆。研究在反应堆中工作后的核燃料中的同位素組份，以及，按沿着在該释热元件的高度方向上燃耗度的变化，注意观察释热元件的外壳和內壳的情况，以上所述是研究用过的释热元件的一个阶段。

我們所研究的第一个原子能发电站¹⁾的释热元件，是已經使用了 104 个有效昼夜²⁾，并且在結束使用之后持續地儲藏了 1160 天。再將該释热元件从第一个原子能发电站的儲藏室送至“热”实验室的卸料室，并借助于卸料用的远距离操縱机构放入有防护的小室内。

使用特殊的双筒望远鏡通过小室的鉛玻璃来观察释热元件。此时，在外壳上发现有薄的氧化膜，但外壳上未发现有损伤。在沿释热元件的高度方向上，用远距离操縱的測微計在各个区域測量其外径，結果証实該外壳是有形变发生的。經受輻照的作用下，在沿释热元件的长度方向上，其外径尺寸的平均值由 14.11 ± 0.02 毫米增加至 14.20 ± 0.02 毫米。

在沿着释热元件的长度方向上，从不同的位置切取长为 1 厘米的六个試样，来繼續研究。

在检查內壳时，曾发现其与載热剂(水)相接触的面上有着棕色的薄层。借用 МИМ-6 金相显微鏡来观察，証明該薄层的厚度只是 1 微米。处于金属——薄膜层边界上的金属組織并没有被破坏，根据这种情况，可以认为这一层是水垢，而不是不銹鋼的腐蝕产物。

根据从試样中分离出的 Cs^{137} (銫¹³⁷) 的放射性来測定其燃耗度。对于这种目的說来，銫是最好的裂变碎片，因为它具有良好的、已知量的产量，并具有較长的半衰期，所以就可以在計算燃耗度时只进行极小的修正。我們是用色层分离法来分离出銫，用閃爍 γ -譜仪来检查分离出来的銫的化学純度，同时，这还用 β 譜吸收法来測量。銫¹³⁷ 的 β 放射性的絕對值是用 4π 計数器来測量。

在計算燃耗度时，要考虑到从鈾²³⁹ (Pu^{239}) 中分裂出来的銫¹³⁷ 的放射性，以及借中子的輻射俘获而減少的鈾²³⁵ 的原子核。关于在释热元件上不同位置的燃耗度的数据示于图 1。其平均的燃耗度为 12.5%。

曾取距底端部距离为 95 厘米处的試样用質譜仪的方法来进行測定，在該試样中含鈾量約为 4.32%，即相当于燃耗 16.1%。該数值是很好地与按照銫¹³⁷ 的产量而測定的数值相符合。

1) 第一次报导。

2) 將繼續研究燃耗率較深的元件。

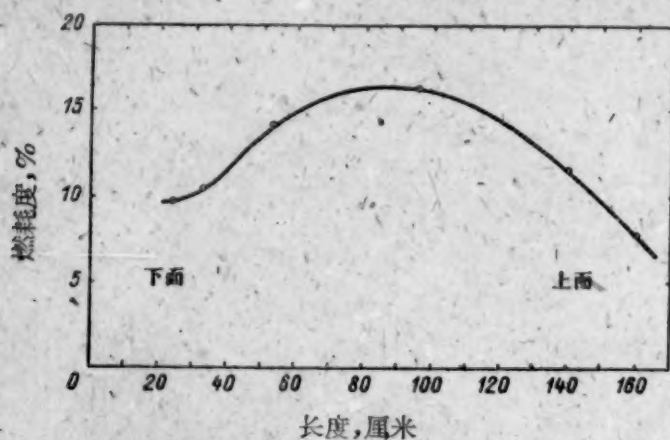
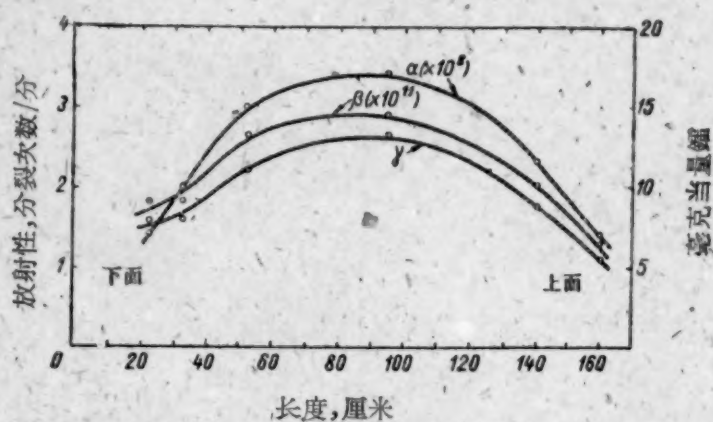


图1 在沿释热元件长度方向上的燃耗量

图2 在沿释热元件长度方向上, α , β 和 γ 放射性的总量的变化

我們用标准的 $\Delta\alpha-49$ 装置来测量 α 放射性的总量, 而用 4π 计数器来测量 β 放射性的总量。并用按量相当的 γ 放射性作标准的游离室来测量 γ 辐射的放射性。这些测量的结果示于图2。不出所料, β 放射性的总量、 γ 放射性的总量的这一系列曲线, 与和它相对比的燃耗曲线的轨迹相似。

按 α 射线谱及自发的裂变数来测定超铀元素的同位素的含量。光谱是用游离式的 α 谱仪来摄影的。该谱仪是由具有很小的集电电极的游离室(其电极的球体直径为 1.5 厘米), 放大器, 甄别器, 次级放大器, 稳压整流器, 以及 50 道脉冲分析器所组成。 α 谱仪的分辨能力是 2%。

从试样的总的 α 射线谱上是决不能直接地获得关于超铀元素同位素含量的数据。这是由于钚²³⁹与钚²⁴⁰, 以及钚²³⁸与钚²⁴¹的谱峰值彼此间重叠的缘故。

在测量了从试样中分离出来的钚的 α 射线谱之后, 曾成功地分别测定了钚²³⁸和钚²⁴¹的含量: 钚²⁴⁰的含量, 是根据从分离出来的钚而制备的薄层中自发裂变的次数来测定的。

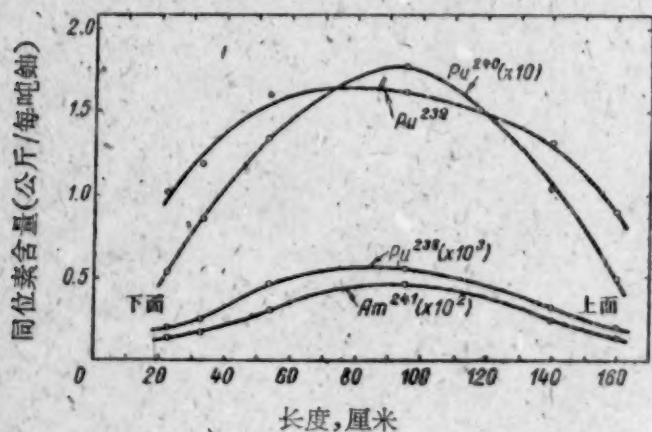


图3 在沿释热元件长度方向上超铀元素的同位素含量的分布曲线

关于在释热元件不同位置上的超铀元素含量(单位是: 每吨铀中所含有的公斤数量)的数据示于图3。

根据已知悉的钚²³⁸的数据, 用计算的方法来测定钚²⁴¹的含量。

根据实验数据, 已经沿着释热元件的长度方向测定了各种同位素的平均重量(其单位是: 每吨铀中所含有的公斤数)。该释热元件中同位素成份的计算和测量的结果, 示于表内。比较这些结果, 证明计算的数据与实验的数据符合得相当良好。

数据的来源	钚 ²³⁸	钚 ²³⁹	钚 ²⁴⁰	钚 ²⁴¹	钚 ²⁴¹
实验测得的数据	$2.54 \cdot 10^{-4}$	1.20	0.102	$1.27 \cdot 10^{-3}$	$1.86 \cdot 10^{-3}$
计算求得的数据	—	1.17	0.100	$1.36 \cdot 10^{-3}$	

著者感谢库卡瓦兹 (Г. М. Кукавадз) 和伊万诺娃 (Р. Н. Иванова), 他们进行了辐照后铀的质谱仪分析工作; 并感谢舍拉保娃 (В. Н. Шарапова) 曾为释热元件同位素的成份进行过计算。

参 考 文 献

- [1] Д. И. Блохинцев, Н. А. Доллежалъ, А. К. Красин: *Атомная энергия*, № 1, 10 (1956).
 [2] S. Katcoff: *Nucleonics*, 16, No. 4, 78 (1958).

論提高气体載热剂动力反应堆經濟性的問題

馬尔古洛娃 (Т. Х. Маргулова) 斯捷尔曼 (Л. С. Стерман)

提高气体載热剂反应堆出口的温度 $t_{r,1}$, 常常可使反应堆的效率提高. 可是最高温度的选择取决于释热元件包壳材料. 如果材料价格很貴, 而循环效率的提高不足以补偿, 那么采用較低的載热剂温度可能更合适.

必須对电站的热力系統图詳細分析后, 才能确定反应堆进口的气体温度 $t_{r,2}$. 一般說来, 当反应堆进出口的气体温差值相当大时 (約 150—200°C 或更大一些), 电站才具有最好的技术經濟指标. 当把单压循环工作的电站系統图換成为双压循环时, 系統图的复杂化及电站造价的高涨, 完全可由提高效率所得的利益而得到补偿. 采用三压循环工作則未必合适, 因为在这种情况下, 与采用双压循环相比較, 其效率上升不大, 而电站的系統图却复杂得多了.

图 1 中列出了双压循环工作的电站的效率 (η_0) 与其高压迴路蒸汽压力 $P_{в.д.}$ 間的关系曲綫. 曲綫是对于供水不进行再生預热、反应堆出口的气体温度为 375°C 的情况而作的. 能保証最佳效率的 $P_{в.д.}$ 值与每一个 $t_{r,2}$ 值相符. 这些曲綫的始点相当于单压循环工作时的 η_0 值.

在气体載热剂的反应堆內, 当 $t_{r,1}$ 及 $t_{r,2}$ 不变和 $P_{в.д.}$ 为选定值时, 随着补水温度 $t_{п.в.}$ 的提高, 則低压迴路內蒸气压下降, 而低压蒸气量 (对于同一数量的高压蒸气而言) 增加. 这对电站的效率起不利影响. 所以回热只有在一定的供水温度間隔內才产生有利影响. 这

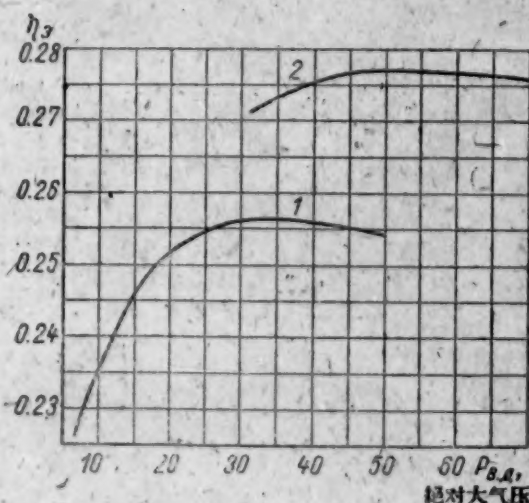


图 1 当温度 $t_{r,2}$ (°C): 1—140; 2—200 时, η_0 与蒸汽压力 $P_{в.д.}$ 間的变化关系

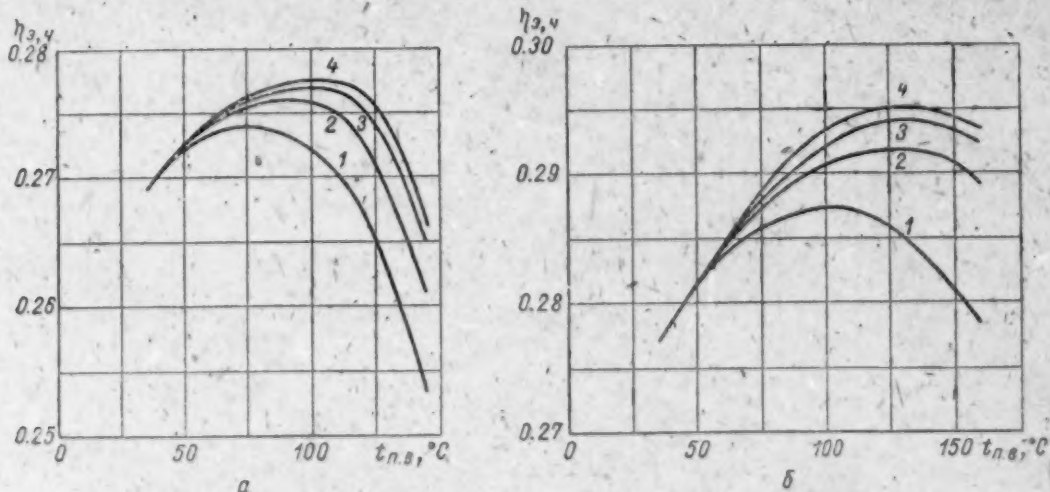


图 2 η_0, η 与补水温度 $t_{п.в.}$ 及再生預热器数目 (混合形預热器) 的变化关系:
 1— $Z=1$; 2— $Z=3$; 3— $Z=5$; 4— $Z=10$; $t_{r,1}=375^\circ\text{C}$; $t_{r,2}=200^\circ\text{C}$.

个温度间隔与预热器的数目有关,而最有利的 $t_{n,n}$ 比普通电站的要低。

图2列出,不同数目再生预热器在单压(a)及双压(б)循环等不同情况下,效率与补水温度间的关系曲线。

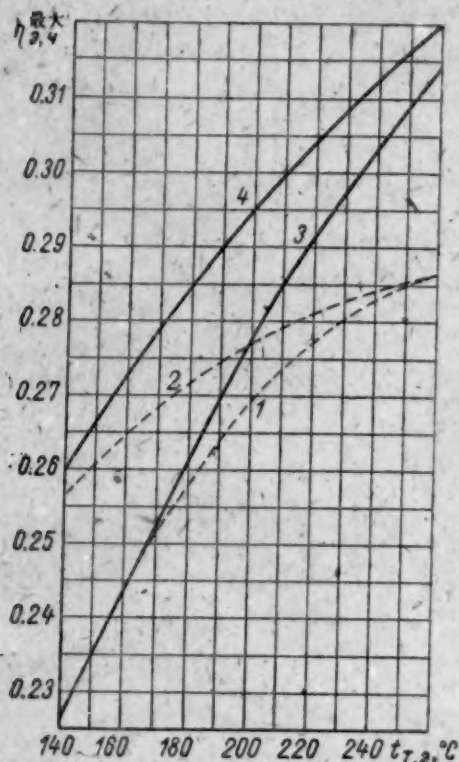


图3 当 $t_{T,1} = 375^\circ\text{C}$ 不变时,极大值 η_{max} 及 η_{max} 与载热剂温度 $t_{T,2}$ 间的变化关系

图3列出,对于单压(曲线1及3)及双压(曲线2及4)、具有(η_{max} ,实线)及不具有(η_{max} ,虚线)再生预热等情况下,效率极大值与载热剂温度 $t_{T,2}$ 间的关系曲线。可以看出,对于单压循环来说,只有当反应堆 $t_{T,2}$ 超过 $\sim 170^\circ\text{C}$ 时,再生预热才产生有利影响。对于双压循环而言,回热预热,在 $t_{T,2}$ 值较低的情况下,就可使效率提高。显然,选择电站系统图时,必须估计,在给定数目预热器的条件下,因采用回热而得到的利益,比之于由此而来的补加投资支出大出多少。

随着 $t_{T,2}$ 的增加,效率和载热剂的循环能耗也增加。考虑能耗而算得的效率,由下式决定:

$$\eta_{\text{H}} = \frac{N_{\text{e}} - KN_{\text{e}}}{Q_{\text{p}}} = \frac{N_{\text{e}} - KN_{\text{e}}}{Q_{\text{nap}} - K\eta_{\text{np}}\eta_{\text{мех,газ}}N_{\text{e}}}, \quad (1)$$

式中 Q_{p} ——反应堆热功率; N_{e} ——反应堆电功率; K ——载热剂循环消耗功率占电功率 N_{e} 的比数; Q_{nap} ——蒸发器内交换的热量; $\eta_{\text{мех,газ}}$ ——鼓风机的机械效率; η_{np} ——鼓风机传动效率。

方程式(1)可以化为:

$$\eta_{\text{H}} = \frac{(1 - K)\eta_{\text{e}}}{1 - K\eta_{\text{e}}\eta_{\text{np}}\eta_{\text{мех,газ}}}. \quad (2)$$

对于单压(a)及双压(б)循环说来,在具有供水再生预热的情况下,考虑到载热剂循环能耗的效率($\eta_{\text{H},\text{в}}$)的极大值列于图4。在迴路的流体动力学特性保持不变以及反应堆热功率为定值的条件下, $\eta_{\text{H},\text{в}}$ 与 $t_{T,2}$ 间的变化关系用虚线表于图上。在这些条件下,下列关系式成立:

$$\frac{K'}{K''} = \left(\frac{t_{T,1} - t_{T,2}''}{t_{T,1} - t_{T,2}'} \right)^3 \left(\frac{\gamma_2}{\gamma_1} \right)^2 \left(\frac{C_{p,2}}{C_{p,1}} \right)^3 \frac{\eta_{\text{H},\text{в}}''}{\eta_{\text{H},\text{в}}'}, \quad (3)$$

其中, K' , γ_1 , $C_{p,1}$, $\eta_{\text{H},\text{в}}'$ ——分别为 $t_{T,2}'$ 时载热剂循环消耗功率所占的比数,载热剂平均比重,载热剂平均比热及未考虑循环能耗的电效率; K'' , γ_2 , $C_{p,2}$, $\eta_{\text{H},\text{в}}''$ —— $t_{T,2}''$ 时上述这些量的值。

假设在给定工况下,功率消耗比数 K' 为已知,就可以算出反应堆功率相同但 $t_{T,2}$ 值不同时的功率消耗比数 K'' 。

从图4可见,存在着 $t_{T,2}$ 的最佳值,它与考虑载热剂循环能耗而算出的效率的极大值相对应。

提高载热剂的反应堆进口温度而引起的效率的增长,在初始是促使 $\eta_{\text{H},\text{в}}$ 增加(虽然循环能耗也增加)。因循环能耗的继续增加,而开始引起的 $\eta_{\text{H},\text{в}}$ 随着 $t_{T,2}$ 的增高而减低。从图4可见,与 $\eta_{\text{H},\text{в}}$ 的最佳值相适应的 $t_{T,2}$ 值,在单压循环工作时比在双压循环工作时要高。在保证最佳效率的条件下,单压循环时,载热剂循环能耗比数比双压循环的大,而考虑循环能耗所算出的效率永远较低。

上述分析是对于 $t_{T,1} = 375^\circ\text{C}$ 的条件而言。为了阐明 $t_{T,1}$ 对于电站效率的影响,我们对其它 $t_{T,1}$ 值也进行了计算。

图5列出了 $\eta_{\text{H},\text{в}}$ 与 $t_{T,2}$ 间的关系曲线。从图4.б, 5.а及 5.б可见,在相同的相对循环功

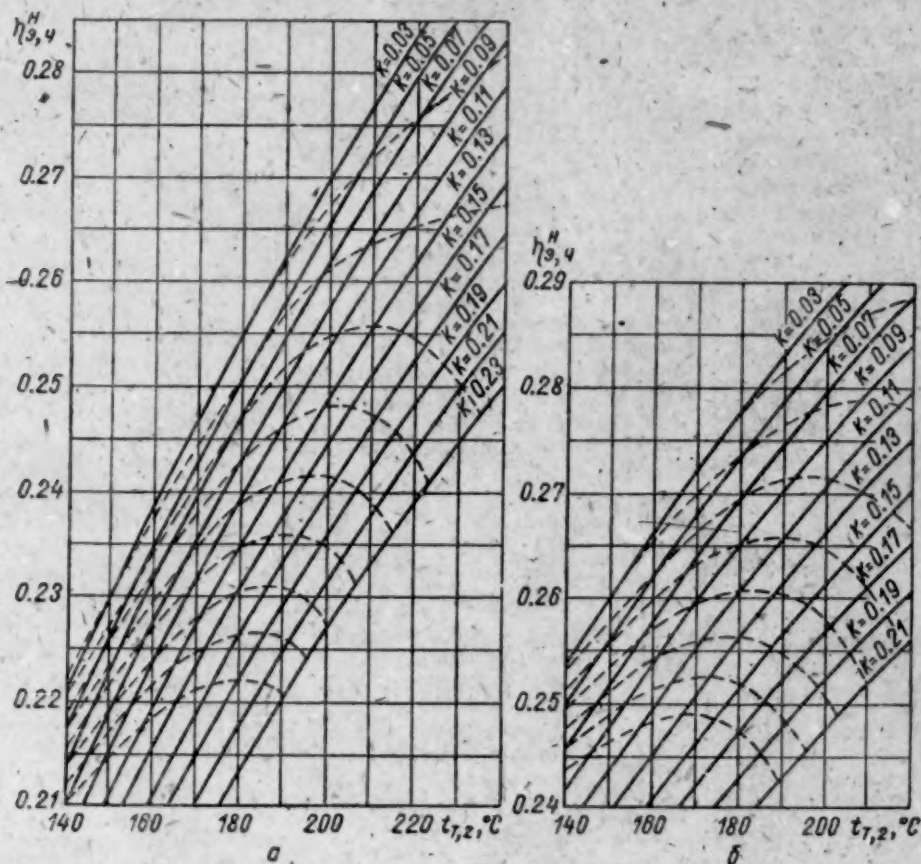


图4 载热剂循环消耗功率相对值不同的情况下,
 $\eta_{3,4}^H$ 与载热剂温度间的关系 ($t_{T,1} = 375^\circ\text{C}$)

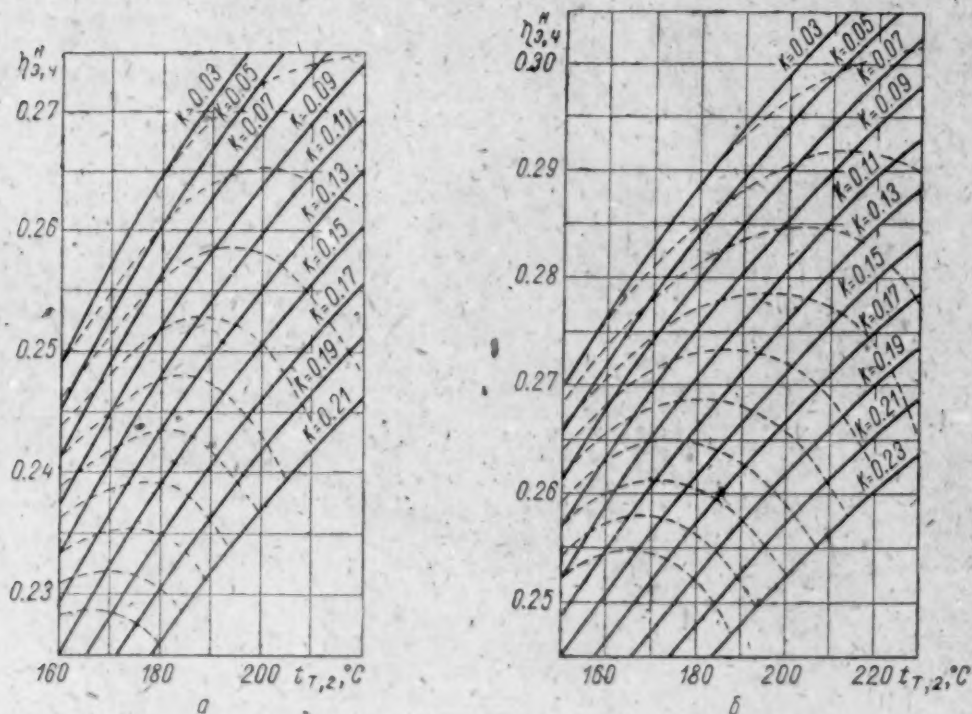


图5 载热剂循环消耗功率的相对值不同的情况下,
 $\eta_{3,4}^H$ 与载热剂温度 $t_{T,2}$ 间的关系(双压循环)
a—— $t_{T,1} = 340^\circ\text{C}$; b—— $t_{T,1} = 400^\circ\text{C}$.

率消耗的条件下,反应堆出口处气体温度越高, $\eta_{3,4}^H$ 越大,而效率的极大值是在更大的 $t_{T,2}$ 值时才达到的。

只有当发电成本的燃料组成部分的增加(因电站效率的降低而引起的)能被其基建投资组

成部分的减少所补偿时提高反应堆热功率才是合适的。在反应堆热功率给定的条件下,必须使电站效率达到最大值(考虑循环能耗的)。必须注意,当该反应堆热功率增加时,其效率的最大值减小,这从图4及5即可看出,图中位置较低的虚线曲线相当于反应堆热功率的较大值。

利用锗样品电导率的变化来测定 BBP-C 反应堆活性区内快中子通量的分布

亚历山大罗维奇 (E. Александрович) 巴尔钦巴赫 (M. Бартенбах)
(波兰科学院原子核研究所, 华沙)

由于华沙原子核研究所进行关于半导体在中子辐射作用下的性能的研究工作, 所以有必要求出反应堆活性区内快中子通量的分布。

在快中子的辐射作用下, n 型锗单晶逐渐减小其电导率, 并最后转变为 p 型^[1-7]。当锗受快中子辐射时, 其电导率的典型变化曲线如图1所示。在曲线的起始部份, 可以认为这种关系是线性的, 但仅当中子能量大于 ~ 300 电子伏时, 这种线性关系才是明显的。

我们用了9个由单晶体上切下的锗样品来进行测量。样品的形状是平行六面体, 尺寸为 $1.5 \times 1.5 \times 10$ 毫米。这样选择尺寸是为了使其电导率尽可能大。

为了消除热能中子的影响, 每个样品都套上一个0.25毫米厚的铅壳。将样品相互等距地放在特制的铝质探测器内, 放入 BBP-C 反应堆释热元件之间的活性区。这样, 沿活性区的高度分布着7个样品, 而有两个样品位于活性区之外: 一个在活性区之上, 另一在活性区之下。

反应堆中的样品受辐射时的电导率是靠测量由恒压电源流过样品的电流强度而测定的。适当选择电流值, 以避免样品在测量时发热。反应堆的功率保持恒定为1.5千瓦。

全部样品在受辐射时电导率的变化如图2所示。在 $t = 1$ 小时和 $t = 2$ 小时 $d\sigma/dt$ 的急剧变化是由于探测器在反应堆中的移动所造成的。



图1 锗样品(单晶)受快中子辐射时电导率的变化

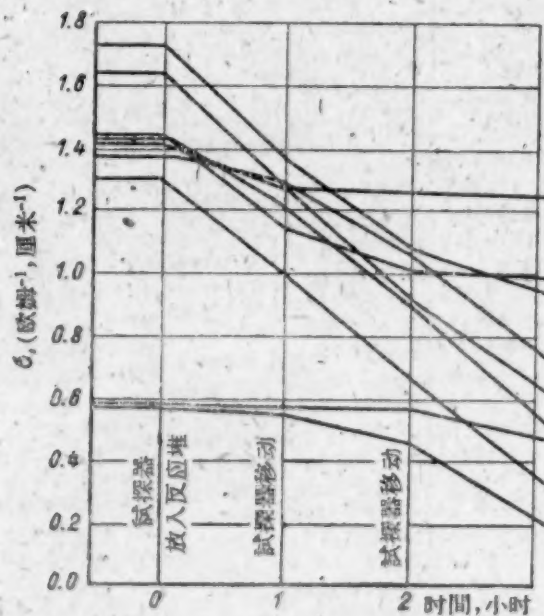


图2 放在 BBP-C 反应堆活性区中不同深度处的锗样品受快中子辐射时电导率的变化

曲線 $\sigma(t)$ 的斜率是样品所在处快中子通量值的量度。图 3 所示是快中子通量沿活性区軸綫的分布情况。这条曲綫是由图 2 中 $t = 1$ 小时与 $t = 2$ 小时两点之間的一段測量值所构成的。

这种方法也可以用于測量绝对值。

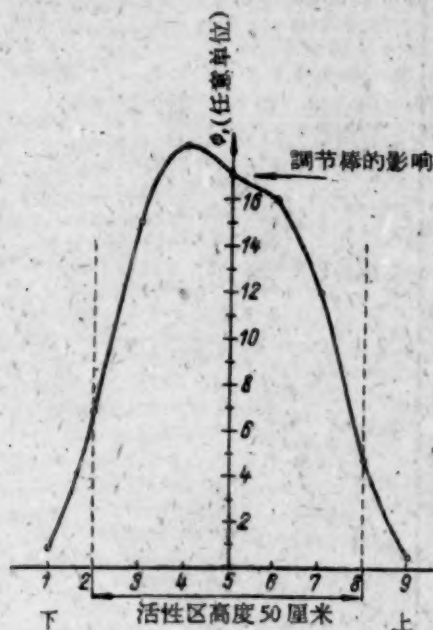


图 3 BBP-C 反应堆內快中子通量沿活性区軸綫的分布图

李高积譯

参 考 文 献

- [1] R. Davis, W. Johnson, K. Lark-Horovitz, S. Siegel: *Phys. Rev.*, **74**, 1255 (1948).
- [2] W. Johnson, K. Lark-Horovitz: *Phys. Rev.*, **76**, 442 (1949).
- [3] J. Crawford, Jr., K. Lark-Horovitz: *Phys. Rev.*, **78**, 815 (1950); *Phys. Rev.*, **79**, 889 (1950).
- [4] J. Cleland et al.: *Phys. Rev.*, **83**, 312 (1951); *Phys. Rev.*, **84**, 861 (1951).
- [5] H. James, K. Lark-Horovitz. *Z. phys. Chem.*, **198**, 107 (1951).
- [6] J. Cleland, J. Crawford, J. Pigg: *Phys. Rev.*, **98**, 1742 (1955).
- [7] B. Buraset al.: Report No. 101/I-B, Institute of Nuclear Research, Warsaw, 1959.

反应堆結構部件的热冲击計算

巴格達沙洛夫 (Ю. Е. Багдасаров)

反应堆結構部件的壁中的热冲击, 是因反应堆事故停堆后載热剂的温度从活性区出口处迅速下降而引起的。温度的剧烈变化会使得象反应堆容器、集流器、管道等重要而且不可能更換的結構部件的强度減弱, 所以反应堆結構部件的热冲击計算知識, 为正确地設計动力装置所必須, 已有一些研究工作者对热冲击进行了探討^[1-3]。

使反应堆重要結構构件免受热冲击的有效預防方法, 是在載热剂与受負荷壁之間設置热屏。

反应堆迴路中采用的管道、集流器及容器的壁厚, 比之于它們的直径, 要小得多。从温度

場及溫度應力變化的觀點看來，這些壁可以看作平面。因此下面，我們只限于探討平面的幾何形。從工藝要求考慮，事實上在大多數情況下，負荷壁與熱屏是用同一材料制成的。這樣，如果假設熱屏各層之間以及熱屏與負荷壁之間具有理想的热接觸，不存在液體隔層，那麼就可以導出計算溫度應力的分析公式。忽略載熱劑隔層的热阻及其热容量可導致受負荷壁內溫度應力值的偏高，這可以視為設計計算的安全後備。

壁斷面中的溫度變化，可由下列方程組求得^{[4] 1)}

$$\left. \begin{aligned} a \frac{\partial^2 t}{\partial x^2} &= \frac{\partial t}{\partial \tau}; \\ t/\tau=0 &= \theta_0 = \text{const}; \\ \frac{\partial t}{\partial x} \Big|_{x=0} &= 0; \\ -\lambda \frac{\partial t}{\partial x} \Big|_{x=\delta} &= \alpha[t|_{x=\delta} - \theta(\tau)]. \end{aligned} \right\}$$

此方程組之解為：

$$t(x, \tau) = \theta(\tau) + \sum_{n=1}^{\infty} A_n(\tau) \cos\left(\varepsilon_n \frac{x}{\delta}\right),$$

式中

$$A_n(\tau) = -B_n e^{-b\varepsilon_n^2 \tau} \int_0^{\tau} \frac{\partial \theta}{\partial \tau} e^{b\varepsilon_n^2 \tau} d\tau;$$

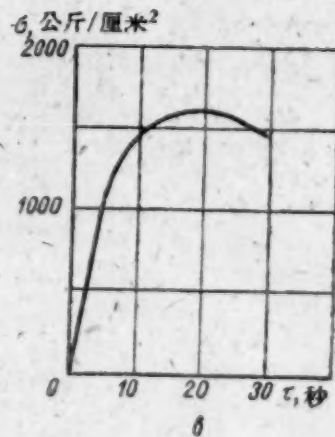
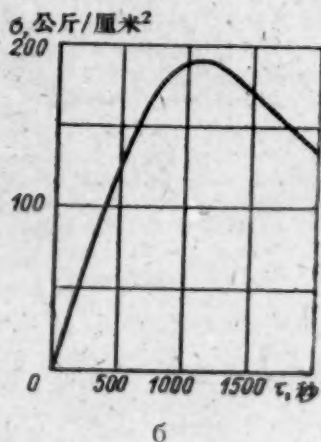
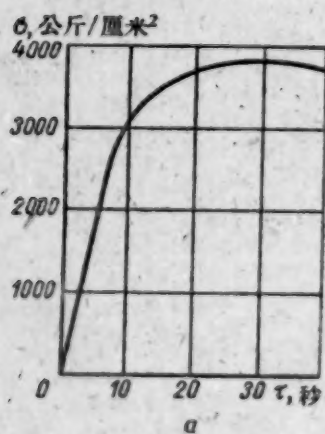
$$B_n = \frac{4 \sin \varepsilon_n}{2\varepsilon_n + \sin 2\varepsilon_n}.$$

本征值 ε_n 由超越方程 $\text{tg } \varepsilon_n = \frac{B_i}{\varepsilon_n}$ 求得，而當 $B_i \geq 50$ 時，可以採用 $\varepsilon_n = (2n-1) \frac{\pi}{2}$ ，

式中 $n = 1, 2, \dots$ 。第 k 層外表面上的溫度應力由下列關係式求得^[5]：

$$\sigma_{c_k}(\tau) = \frac{\alpha_{c_k} E_{c_k}}{1-\nu} [\bar{i}_k(\tau) - t(c_k, \tau)];$$

$$\bar{i}_k(\tau) = \frac{1}{c_k - \gamma_k} \int_{\gamma_k}^{c_k} t(x, \tau) dx.$$



热冲击計算

a——无热屏情况下的負荷壁； b——有热屏情况下的負荷壁； B——最边(与鈉接觸)层热屏，厚 10 毫米。

1) 所採用的符号列于文末。

決定溫度應力的計算公式

載熱劑溫度	按公式算得的溫度應力
指數變化的情況 $\theta(\tau) = \theta_\infty + \Delta\theta_0 e^{-m\tau}$	$\sigma_{ck}(\tau) = A \Delta\theta_0 \sum_{n=1}^{\infty} \frac{B_n m}{b \varepsilon_n^2 - m} \times$ $\times \left[\frac{\sin\left(\varepsilon_n \frac{c_k}{\delta}\right) - \sin\left(\varepsilon_n \frac{\gamma_k}{\delta}\right)}{\frac{c_k - \gamma_k}{\delta} \varepsilon_n} - \cos\left(\varepsilon_n \frac{c_k}{\delta}\right) \right] [e^{-m\tau} - e^{-b^2 \varepsilon_n^2 \tau}]$
綫性變化的情況* $\theta(\tau) = \theta_0 - p\tau$	$\sigma_{ck}(\tau) = A \frac{p}{b} \sum_{n=1}^{\infty} \frac{B_n}{\varepsilon_n^2} \left[\frac{\sin\left(\varepsilon_n \frac{c_k}{\delta}\right) - \sin\left(\varepsilon_n \frac{\gamma_k}{\delta}\right)}{\frac{c_k - \gamma_k}{\delta} \varepsilon_n} - \cos\left(\varepsilon_n \frac{c_k}{\delta}\right) \right] \times$ $\times [1 - e^{-b^2 \varepsilon_n^2 \tau}], \text{ 當 } \tau \leq \tau_0;$ $\sigma_{ck}(\tau) = A \frac{p}{b} \sum_{n=1}^{\infty} \frac{B_n}{\varepsilon_n^2} \left[\frac{\sin\left(\varepsilon_n \frac{c_k}{\delta}\right) - \sin\left(\varepsilon_n \frac{\gamma_k}{\delta}\right)}{\frac{c_k - \gamma_k}{\delta} \varepsilon_n} - \cos\left(\varepsilon_n \frac{c_k}{\delta}\right) \right] \times$ $\times [e^{b^2 \varepsilon_n^2 \tau_0} - 1] e^{-b^2 \varepsilon_n^2 \tau}, \text{ 當 } \tau \geq \tau_0.$

* 溫度的綫性變化持續在時間 τ_0 內，當 $\theta = \theta_\infty$ 。

對於每一給定的 $\theta(\tau)$ 函數的形式，可以求得相應的 $\sigma_{ck}(\tau)$ 的變化規律。在表中列出了 $\theta(\tau)$ 為綫性以及指數變化情況的最終計算公式。圖中列出對於鈉冷卻的快中子反應堆容器的熱屏及負荷壁熱衝擊計算的結果^[6]作為例子。

在計算時採用了下列初始數據：材料——鋼 1X18H9T； $\theta(\tau) = \theta_\infty + \Delta\theta_0 e^{-m\tau}$ ； $\Delta\theta_0 = 140^\circ\text{C}$ ； $m = 0.1$ 1/秒； $\delta = 0.2$ 米； $\gamma_1 = 0$ ； $c_1 = 0.05$ 米； $\gamma_N = 0.19$ 米； $\varepsilon_N = \delta = 0.2$ 米。

本文中採用了下列符號： $t(x, \tau)$ ——負荷壁及熱屏內的溫度($^\circ\text{C}$)； θ_0 ， $\theta(\tau)$ ， θ_∞ ——載熱劑溫度，分別為在初始時刻， τ 時刻，以及當 $\tau \rightarrow \infty$ 時載熱劑溫度的漸近值($^\circ\text{C}$)； $\Delta\theta_0 = \theta_0 - \theta_\infty$ ——載熱劑溫度的最大改變($^\circ\text{C}$)； $t_k(\tau)$ ——第 k 層的平均溫度($^\circ\text{C}$)； τ ——時間(秒)； τ_0 ——時間，在此時間內載熱劑溫度以綫性下降(秒)； x ——座標，其方向為由外表面指向容器內部(米)； δ ——負荷壁及熱屏層的總厚度(米)； c_k ——第 k 層外表面的座標(米)； γ_k ——第 k 層內表面的座標(米)，其中負荷壁為第一層。

結構材料參數如下： a ——溫度傳導係數(米²/秒)； λ ——導熱係數(千卡/米·秒· $^\circ\text{C}$)； α_{CT} ——綫膨脹係數(1/ $^\circ\text{C}$)； E_{CT} ——彈性係數(公斤/厘米²)； ν ——泊松係數； α ——由壁到載熱劑的給熱係數(千卡/米²·秒· $^\circ\text{C}$)； $b = \frac{a}{\delta^2}$ ； $B_k = \frac{\alpha \delta}{\lambda}$ ； $A = \frac{\alpha_{CT} E_{CT}}{1 - \nu}$ ； $\sigma_{ck}(\tau)$ ——第 k 層外表面溫度應力(公斤/厘米²)； p ——參數(度/秒)； m ——參數(1/秒)。

參 考 文 獻

- [1] R. Tidball, M. Shrut: *Transactions of the ASME*, 76, No. 4, 639 (1954).
- [2] А. А. Клыпін: *Теплоэнергетика*, № 1, 33 (1957).
- [3] M. Heisler: *J. Appl. Mech.*, 20, No. 2, 261 (1953).
- [4] А. В. Лыков: *Теория теплопроводности*. М., Гостехиздат, 1952.
- [5] С. П. Тимошенко: *Сопротивление материалов*, т. II. М., Гостехиздат, 1946.
- [6] А. И. Лейпунский и др.: *Тр. Второй международной конференции по мирному использованию атомной энергии (Женева, 1958)*. Докл. советских ученых. Т. 4—Ядерные реакторы и ядерная энергетика. М., Атомиздат, 1959, стр. 212.

直綫加速器用的能量为 600 千电子伏的質子注入器

安东諾夫 (Ю. Н. Антонов) 澤萊維也夫 (Л. П. Зиновьев)

拉舍夫斯基 (В. П. Рашевский)

鉴于必須提高联合原子核研究所的能量为 100 亿电子伏的同步稳相加速器的注入电流, 在本文作者面前就提出了一项任务: 利用能給出強質子流的离子源, 当其被加速到 600 千电子伏时, 来实现这种电流的选择和聚焦。这时必須保持加速管出口处束流的几何尺寸和角散度, 此几何尺寸要滿足直綫加速器的注入条件。

离子源 具有双收縮等离子柱^[1]的气体放电等离子区的离子源工作是利用了电弧电子的振荡来进行的。离子源在 НИИ-5 研究所研究过, 此后和这个研究所的工作人员布拉格文欣斯基 (В. М. Благовещенский), 古特克金納 (Т. И. Гуткиный), 庫尔沙諾維 (Ю. В. Курсановый) 一起在联合核子研究所的高能实验室内作了某些形式上和结构的改进。离子源的简单剖面图示于图 1 上。在离子源内利用了連續的閘流管 ТГИ-90/8 的阴极 1。阴极引入端 2 用水流冷却, 并用氟的层状絕緣体 4 和阴极法兰 5 絕緣起来。氬气經過鈹过滤器沿着管道 3 进入放电室。中間阳极 6 的内腔組成阴极放电区, 在中間阳极上有一个直径 9 毫米和长 10 毫米的孔道 15, 这样会引起在放电时造成半球形的双电层, 球面朝着阴极一边, 并实现等离子柱的收縮。中間阳极也用流入孔腔 7 的水冷却。直接在中間阳极上繞了綫圈 8 产生, 在孔道 15 和发射孔 17 之間气隙中使等离子收縮的軸向磁場。中間阳极 6、离子源外壳 16 和出口法兰 12 組成了不閉合的磁路。銅阳极 10 有一个直径 9 毫米的穿通孔, 和孔道 15 及发射孔 17 成一軸綫, 在发射孔之間間隙內引起了电子的振荡。离子源的出口法兰 (对阴极) 有用非磁材料 (鎢或不銹鋼) 做的鑲入件 13, 它帶有直径为 2 毫米和长度为 ~ 0.5 毫米的发射孔¹⁾。因为离子源对地有 600 千伏电压, 整个供电系統装在高 2.6 米的瓷絕緣柱上, 有自給发电机 (220 伏, 50 赫芝, 3.5 瓩) 和 ГСМ-1 发电机 (220 伏, 500 赫芝, 0.6 瓩)。由处于地电位的电动机到发电机的传动机构是由长 2 米的 δ -原木做的軸来实现的。

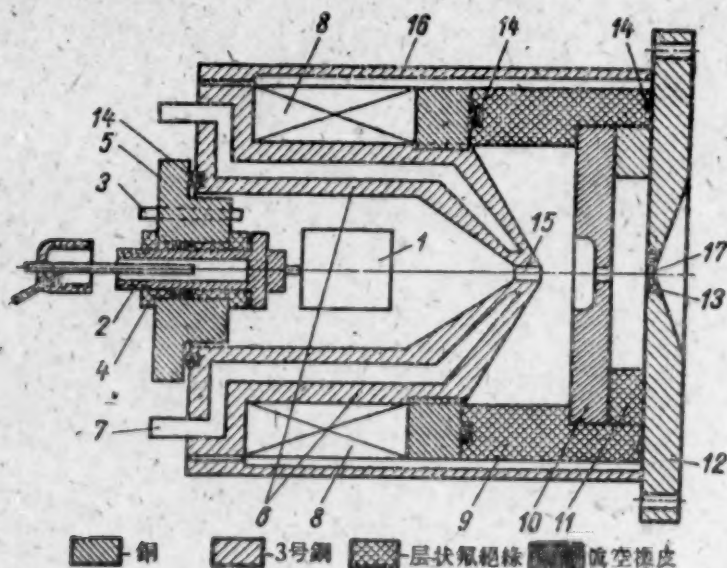


图 1 离子源的简单剖面图

1) 在完成孔道形发射孔时, 打到墙上的离子损失迅速增长, 所以对发射孔要滿足 $L \ll d$ 的条件。

离子源的供电图示于图2。离子源阴极灯丝加热的供电由变压器 TP_1 供給。加热电压为7.8伏,电流为6.4安。放电室内的氩气压力約保持在 $1.5 \cdot 10^{-2}$ 毫米高的水銀柱压力,氩气經过鈹过滤器 Pa 送入并用对它加热的方法来調节。

在离子源中的磁場由320匝的綫圈产生。当綫圈电源为 ~ 2 安时,在中間阳极和对阴极間的磁感应达到1000高斯。

当人工綫放电时經过閘流管在离子源阴极上产生寬約 ~ 500 微秒的負脉冲,脉冲高度可由改变对人工綫充电的整流器 B_2 的电压来調节。当装在絕緣柱基础附近的氖灯 $MH-3$ 发光时,装在絕緣柱上的光电倍增管产生的脉冲来实现閘流管点燃。

由人工綫来的幅度为400—500伏的脉冲加到离子源阴极上并点燃起阴极和中間阳极間的弧。弧流在 $R_1 = 200$ 欧姆的电阻上产生的电位差保証将弧拉入中間阳极的孔道中。由于孔道破坏了放电空隙的均匀性,造成在阳极等离子区内电子的亏损和半球形双电层的形成,这将加速电子并使之聚焦,保証在阳极等离子区内必要的电子流密度。双电层电位突变的大小自动維持某种水平,使之在阳极等离子区内发生的离子足够滿足双极性电流的稳定性,这个电流是由空間电荷

$$\frac{I_p}{I_e} = \left(\frac{m_e}{m_p} \right)^{\frac{1}{2}}$$

所限制的,式中 I_p ——正向的正离子电流; I_e ——正向的电子流; m_e 和 m_p ——分别为电子和正离子的质量。

在阳极等离子区的強大的非均匀磁場更加促使放电紧縮起来,这就使电荷密度更加增长了。放电的双收縮以及在阳极和对阴极的气隙中电弧电子的振蕩造成了在阳极放电区内較大的游离程度。由离子源送出的电流达到270毫安。当已知束流的質譜和离子源的耗气量后(参看下面离子源的参数)可以說明在放电中游离程度接近100%。在阳极等离子区内,在电場的作用下,离子面向离子源的发射孔并被吸出系統引出。

离子源放电室的几何形状是按照脉冲弧燃烧的最有利条件实验地选择的。在现在的方案中,中間阳极錐体的张角为 120° 。当向任何一方改变角度时,由离子源吸出的电流迅速下降,因为軸向磁場的形状严重地影响着电子的动力学状态以及低压等离子区的参数^[2]。

当发射孔直径由0.8毫米改变到2毫米时,电流几乎与直径平方成比例地增长(图3)。可

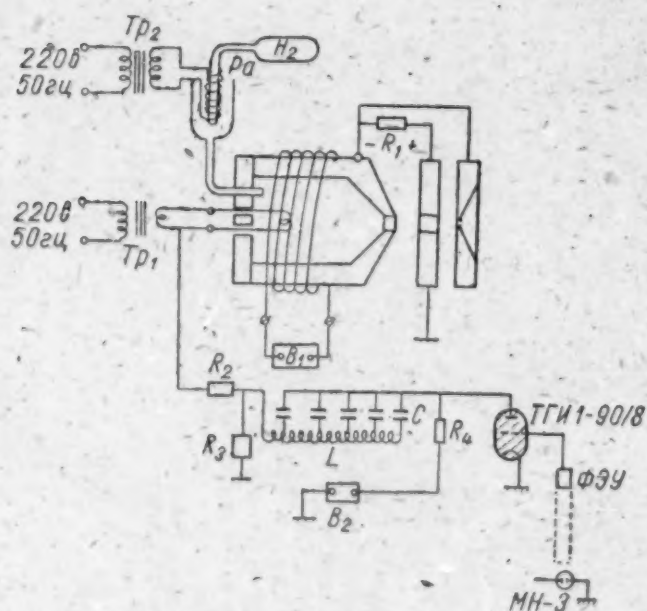


图2 离子源供电图

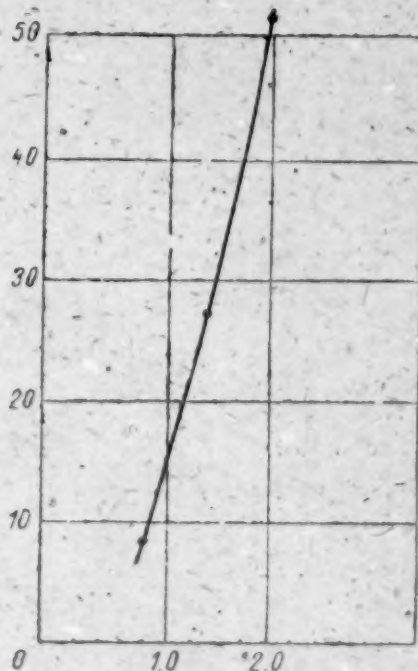


图3 由离子源吸出的电流和发射孔直径的关系

是当发射孔直径增大到3毫米时,在离子源内弧的点燃就困难了,因为吸出电极的电场剧烈地向放电室张弛。非磁镶入件13(参看图1)是十分重要的。没有它吸出电流就显著地损失并使聚焦恶化,在这个离子源的方案中镶入件的直径为10毫米,镶入件的直径增加到20毫米可使电流有一些增加。

注入器出口的电流和离子源放电电流的关系示于图4。对于任何形状的磁场,收缩随着放电电流的增长,而下降也即是随着电荷集中的增长而下降[当谈到张弛长度的马克思威尔分布时,兰格米尔(И. Лэнгмюр)指出,当电子集中程度增长时,自由路程应该下降^[3]。既然磁场对自由路程长度有影响,那末磁场的作用随着集中程度增长而减小了]。在图5上表示出装在加速管内的离子源。

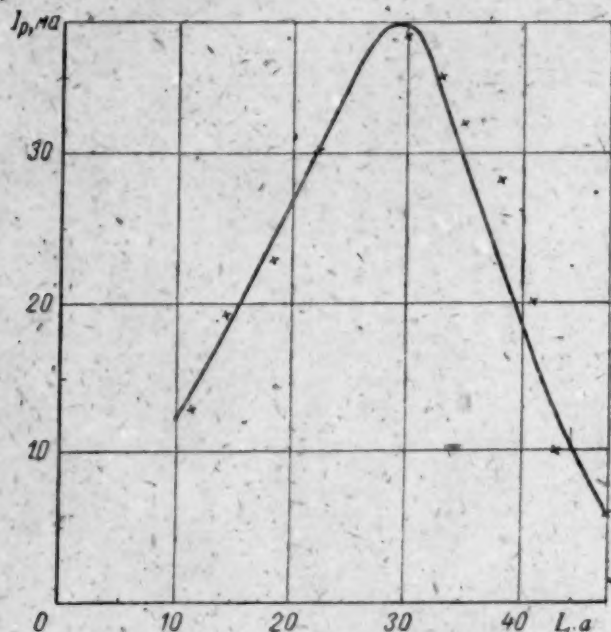


图4 吸出电流与弧流的关系
($PH_2 = 1.2 \cdot 10^{-5}$ 毫米·水银; $U_{OTC} = 45$ 千伏;
 $i_{MATH} = 1.1$ 安培)

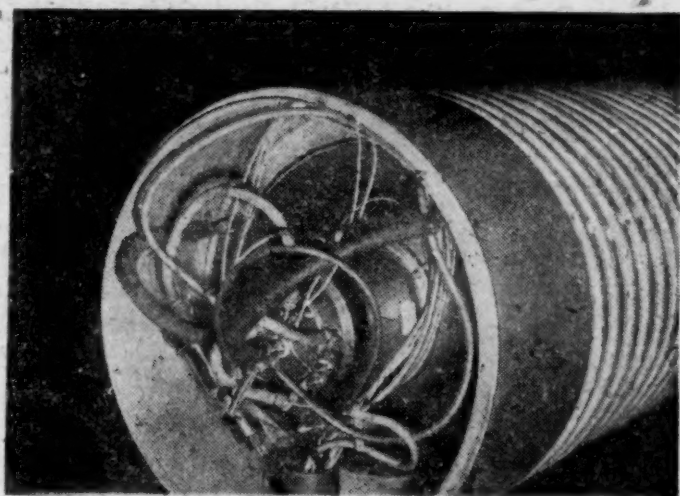


图5 装在加速管内的离子源

表征离子源特性的下列主要参数:

加热电压, 伏	7.8
加热电流, 安	6.4
弧压, 伏	90—120
弧流, 安	30
气隙内磁场大小, 高斯	1000
在放电室内气体压力, 毫米水银柱高	$1.5 \cdot 10^{-2}$
耗气量, 立方厘米/小时	150
吸出电流中质子比, %	75

经过线性加速器的离子流成分的百分比是在没有激励共振腔时用扇形磁铁侧量的(张角 75°)。

加速管, 束流的选择和聚焦 600 千伏的加速管的通道直径为350毫米, 长度为1670毫米。加速管有70片, 逢双的片子上装有防止电量的环, 它和强迫分布电场的分压器相连。分压器是一个直径为8毫米并均匀分布着引出端子的塑料管子, 管内有蒸馏水流动(同一水流用作冷却离子源)。

离子源直接固定在加速管进口的法兰盘上; 吸引和聚焦电极装在管内, 而供给他的电源是

經過第一个防止电量的环加进去的。

有关离子源和加速管的吸出电极和聚焦电极的分布图及其供电原理图示于图 6。利用脉冲变压器 TPBB 在加速管上加上幅度为 600 千伏顶部宽度约 300 微秒的脉冲,特殊的线路可以保持脉冲顶部幅度的正确度比 0.5% 好,变压器的负载为分压器 $D(R = 430 \text{ 千欧})$,由它取得加到吸出电极的离子源的电压大约 50 千伏。加速管分压器的电阻约 $5 \cdot 10^6$ 欧姆。加到聚焦电极上去的电压是由装在离子源供电的绝缘柱上的高压整流器 $B\Phi$ 上取得的。当束流向加速管输出端聚焦时(离输出加速片一米处),聚焦电压相对于离子源为 3 千伏。这一电压决定着由于在吸出区域产生离子的结果而引起在输出处束流的能量的色散,由此看来,束流的非单能性在出口处不超过 0.5%。

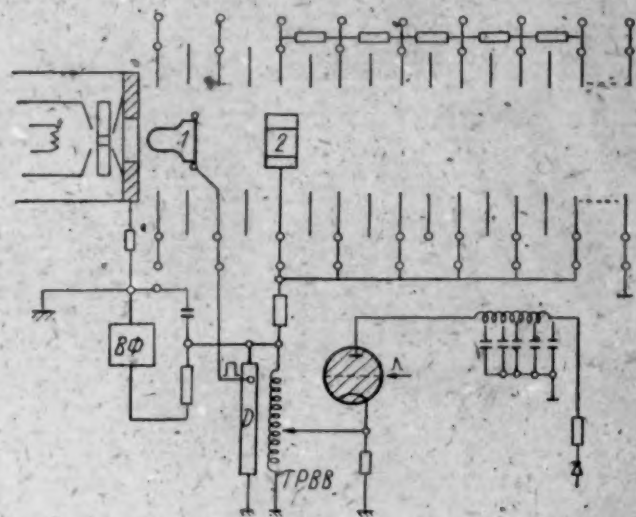


图 6 吸出电极(1)和聚焦电极(2)的分布与供电

在出口处由石英屏的闪光用视觉来控制束流。离子流用法拉第筒测量,为了防止二次电子,在筒上绕有能给出沿筒的轴向 ~ 500 奥磁场的绕组。

估计进入线性加速器入口处束流的角散度的值为 $3 \cdot 10^{-3}$ 。在线性加速器入口处光点的直径(约在加速管出口处 6 米远处)有 8—10 毫米。在离加速管出口处约 1 米处聚焦后束流的直径为 ~ 2 毫米。

最后作者乘机对积极参加这一工作的瓦西里也夫 (M. Ф. Васильев), 斯列萨列夫 (B. B. Слесарев) 表示衷心的感谢。

参 考 文 献

- [1] M. von Ardenne: Tabellen der Elektronenphysik, Ionenphysik und Übermikroskopie. Deutscher Verlag der Wissenschaften, 1957.
- [2] O. H. Репкова, Г. В. Спывак: Контрагирование плазмы в магнитном поле. Уч. зап. МГУ. М., Изд-во МГУ, 1945.
- [3] I. Langmuir: Proc. Nat. Acad. Sci. U.S.A., 14, 627 (1928).

Th²³² 和 U²³⁸ 为 F¹⁹(p, αγ)O¹⁶ 反应的 γ 射线光致分裂产生的瞬发中子平均数

勃罗哈诺娃 (Л. И. Прохорова) 斯米连基 (Г. Н. Смиренин)

文献[1]提到,在已发表的文献中,关于 U²³⁸ 自然分裂的平均中子数 $\bar{\nu}(2.1 \pm 0.1^{[1]}; 2.26 \pm 0.16^{[2]})$ 以及 U²³⁸ 为最大能量 $E_{\text{最大}} = 5.5$ 兆电子伏轫致 γ 射线光致分裂的平均中子数 $(1.65 \pm 0.5^{[3]})$ 的数据是和与被分裂核的激发能 E_x 之间有线性关系的 $\bar{\nu}$ 不相符合^[4]。U²³⁸ 光致分裂的 $\bar{\nu}$ 值与一次分裂中的中子总产额一致:

$$n = \bar{\nu} + \frac{\sigma(\gamma, n)}{\sigma(\gamma, f)} + 2 \frac{\sigma(\gamma, 2n)}{\sigma(\gamma, f)} + \dots \quad (1)$$

因为能量 $E_{\text{最大}} = 5.5$ 兆电子伏小于 $U^{238}(\gamma, n)$ 反应的阈能, Th^{232} 的类似值等于 3.15 ± 0.5 ($E_{\text{最大}} = 6.8$ 兆电子伏)(可以从文献[3]求得). 在已发表的文献中,还没有有关其他光致分裂瞬发中子平均数的结论.

在本文中,测量了 U^{238} 和 Th^{232} 为 $F^{19}(p, \alpha\gamma)O^{16}$ 反应中的 γ 射线一次光致分裂而产生的瞬发中子平均数 $\bar{\nu}$. 反应是用能量为 2.6 兆电子伏的质子照射 CaF_2 晶体实现的. 在 $F^{19}(p, \alpha\gamma)O^{16}$ 反应中的 γ 射线谱由三条线组成: 6.13; 6.9 及 7.1 兆电子伏^[5]. 在此种质子能量下,后二条线比 6.13 兆电子伏成分的强 3.2 倍. $F^{19}(p, \gamma)Ne^{20}$ 反应的能量约为 12 兆电子伏 γ 射线的混合成分不超过 0.2%. U^{238} 和 Th^{232} 分裂时产生的 γ 射线平均能量约为 6.7 兆电子伏. 测量是在范德格喇夫静电发生器上进行的.

在加速器的靶子及分裂室周围放有探测中子的 12 支 BF_3 计数管,这些计数管又包在石蜡中. 分裂产生的中子通过 BF_3 计数管给出的脉冲投到分辨时间为 $\tau = 2 \times 10^{-4}$ 秒的符合线路中. 类似的测量法是众所周知的,而且在文献[6]中有详细描述. 偶然符合占所记录符合数的 70% (测量分辨时间 τ 的方法例外). 在整个测量时间内, τ 的涨落不超过 1%.

U^{238} 与 Th^{232} 一次光致分裂时所记录的中子数与 Pu^{240} 自然裂变数 $\bar{\nu}_0$ (准确到 2%) 之比约为 2.26 ± 0.05 ^[7]. 因此在实验中是直接测量 $\frac{\bar{\nu}}{\bar{\nu}_0}$ 比值. 在测量结果中,对所研究物质分裂的瞬发中子和 Pu^{240} 的自然分裂中子的记录效率之差进行不大的修正. 这个差别是由于光致分裂时碎片角分布的各向异性和瞬发中子与碎片的角关联所产生的. 引入修正之后,实验结果铀的 $\frac{\bar{\nu}}{\bar{\nu}_0}$ 为 1.86 ± 0.09 , 钍为 1.42 ± 0.09 . 利用上述所引出的值 $\bar{\nu}_0$, 得到 $\bar{\nu}_U = 4.2 \pm 0.2$ 和 $\bar{\nu}_{Th} = 3.2 \pm 0.2$.

从 $\bar{\nu}$ 值数据出发,即从接近的复合核 U^{239} 与 Th^{233} 用中子照射时以相同激发能产生分裂的 $\bar{\nu}$ 值以及从与同位素之间关系不大的 $\bar{\nu}$ 值出发,可以期望存在较小的 $\bar{\nu}$ 值,如 U^{238} 的 $\bar{\nu}$ 为 2.7, Th^{232} 的为 2.2. 当从中子的总产额中除去 (γ, n) 反应的中子时,可以得到同样较大的 $\bar{\nu}$ 值(文献[9]测量的). 比较早的材料(文献[3])是与文献[9]的结果不相符合. 在下表中,列出根据公式(1)的中子产额 n ^[3,9], $\bar{\nu}$ 以及能量关系 $\frac{\sigma(\gamma, n)}{\sigma(\gamma, f)}$ [10]而算出的值 $\bar{\nu}$ (当 $E_{\text{最大}} < 11$ 兆电子伏时,仅仅可以发生 (γ, f) 及 (γ, n) 反应).

U^{238} 和 Th^{232} 光致分裂时的 $\bar{\nu}$ 值

文 献	最 大 兆电子伏	\bar{E}_X , 兆电子伏	U^{238}			Th^{232}		
			n	$\frac{\sigma(\gamma, n)^*}{\sigma(\gamma, f)}$	$\bar{\nu}$	n	$\frac{\sigma(\gamma, n)^{**}}{\sigma(\gamma, f)}$	$\bar{\nu}$
[3]	5.5	5.3	1.65 ± 0.5	0	1.65 ± 0.5	—	—	—
	6.8	5.9	4.3 ± 0.5	1.15	3.15 ± 0.7	3.15 ± 0.5	0	3.15 ± 0.5
	8.6	6.6	—	—	—	4.5 ± 0.5	3.65	0.85 ± 1.0
	10.3	7.7	5.3 ± 0.5	3.8	1.50 ± 1.6	8.0 ± 0.5	6.25	1.75 ± 1.6
[9]	8	6.3	7.07	1.8	5.3 ± 0.75	4.65	2.00	2.65 ± 0.5
	9	6.8	6.92	2.5	4.4 ± 1.0	6.35	4.35	2.0 ± 1.1
	10	7.5	7.25	3.25	4.0 ± 1.3	8.65	5.7	2.95 ± 1.4
	11	8.2	7.47	4	3.5 ± 1.6	11.4	7.0	4.4 ± 1.8

* 偏差为 $\pm 40\%$

** 偏差为 $\pm 25\%$

碎片的激发能及中子分裂时产生的中子数决定于被分裂核在破裂时刻的变形。从我們的工作結果和文献[9]的数据,显然得出,当光致分裂 Th^{232} 和 U^{238} 时所发生的碎片变形比中子分裂时要大。

作者深切感謝列依普斯基 (А. И. Лейпунский) 和邦达廉科 (И. И. Бондаренко) 對我們工作的熱心關懷,感謝庫察也娃 (Л. С. Куцаева) 幫助布置實驗,感謝托克馬采娃 (Н. Е. Токманцева) 和芭拉諾娃 (Ю. И. Баранова) 參加測量和羅曼諾娃 (В. А. Романова) 的幫助。

参 考 文 献

- [1] Б. Д. Кузьминов, Л. С. Куцаева, В. Г. Нестеров, Л. И. Прохорова, Г. Н. Смиренин: *Ж. эксперим. и теор. физ.*, **37**, 406 (1959).
- [2] K. Geiger, D. Rose: *Canad. J. Phys.*, **32**, 498 (1954).
- [3] Л. Е. Лазарева и др.: Сессия АН СССР по мирному использованию атомной энергии (заседания Отд. физ.-матем. наук). М., Изд-во АН СССР, 1955, стр. 306.
- [4] R. Leachman: *Phys. Rev.*, **101**, 1005 (1956).
- [5] W. Hornyak et al.: *Rev. Mod. Phys.*, **22**, 291 (1950).
- [6] В. И. Калашникова и др.: Сессия АН СССР по мирному использованию атомной энергии (заседания Отд. физ.-матем. наук). М., Изд-во АН СССР, 1955, стр. 156.
- [7] Р. Личман: Тр. Второй международной конференции по мирному использованию атомной энергии (Женева, 1958). Избр. докл. иностранных ученых. Т. 2—Нейтронная физика. М., Атомиздат, 1959, стр. 342.
- [8] И. И. Бондаренко, Б. Д. Кузьминов, Л. С. Куцаева, Л. И. Прохорова, Г. Н. Смиренин: Тр. Второй международной конференции по мирному использованию атомной энергии (Женева, 1958). Докл. советских ученых. Т. 1—Ядерная физика. М., Атомиздат, 1959, стр. 438.
- [9] L. Katz, A. Baerg, F. Brown: Доклад № 200, представленный Канадой на Вторую международную конференцию по мирному использованию атомной энергии (Женева, 1958).
- [10] J. Gindler, J. Huizenga: *Phys. Rev.*, **104**, 425 (1956).

电子在行波迴旋波导加速器中的加速

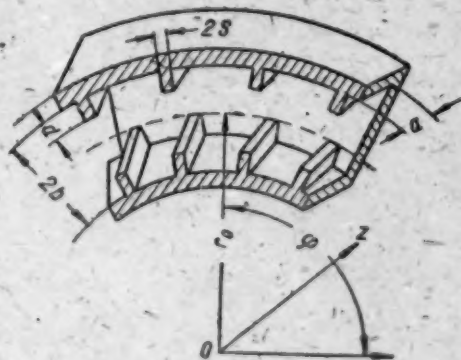
沃罗比堯夫 (А. А. Воробьев) 季金柯 (А. Н. Диденко)
科瓦連科 (Е. С. Коваленко)

在文献[1]中建議利用一个封閉的弯曲波导管作为加速器的加速系統。并在波导管中激发出一定形式的电磁波。关于这种波导管之一部分示于图中;在波导管內电磁波以异于零的电磁場的 φ 分量进行传播。波导管是这样地安装,以便在波导管的平均半径附近处的相速 $v_\phi = c$ 。

鉴于在波导管中場的形狀比較复杂而且易于变化,所以我們就要着重闡述如何以粒子自身的波場来控制粒子的軌道的可能性。

波在一个沿輻向方向无限制的弯曲形波导管中的传播,曾在文献[2]中进行过探討。現求得对于沿 Z 方向为有限的 LE_{mn} 型的波导的同相波的近似色散方程如下:

$$\operatorname{ctg} \alpha_1 d = \frac{\alpha_1}{\alpha} \operatorname{tg} \alpha (b - d) + \frac{1}{2\alpha_1 r_0}, \quad (1)$$



迴旋波导加速器波导管之一段

式中

$$\alpha_1 = \sqrt{k^2 - \frac{m^2 \pi^2}{a^2}}; \quad \alpha = \sqrt{k^2 - \frac{k_\phi^2}{r_0^2} - \frac{m^2 \pi^2}{a^2}};$$

k 是波数; m 为场沿 Z 方向之变化数, k_ϕ 为波传播的方位角常量.

当 $|ar_0| \gg 1$, 并具有较小的波导曲率时方程式(1)是成立的. 方程式(1)由于右边的第二个分量的存在, 所以便有别于非弯曲形波导(3)中的类似的方程式. 而这一方程便可以用来确定弯曲对于系统色散性质的影响.

由方程式(1)可以得出两个定性的结论:

1) 波导的弯曲便减小了同相波的相速.

2) 当 $v_\phi = c$ 时, 在有限系统内弯曲对色散的影响要显著的比沿 Z 方向为无限的波导中的为大.

后者与在有限波导中的幅向方向的场结构的变化有关. 事实上, 有限波导管中 $\alpha \simeq 0$ 点处, 场沿 r 方向传播的关系与无限波导管中 $v_\phi = c$ 的情况相当. 计算指出, 在这两种波导管中, 曲率在这些点的影响是相同的.

方程式(1)不可能单值的来求出波导管的大小之间的关系. 根据没有全部寄生波的要求来最后选定波导管的线度, 而这种寄生波与计算它们的临界频率有关. LM 型波的计算是很困难的, 因为该波在零级近似情况下是不可能的. 这一情况实际上排除了考虑到弯曲时计算这些波的可能性. 然而, 当曲率很小时, 可以利用非弯曲形波导之结果. 根据文献[3]对于 $LM_{m(2n+1)}$ 型的波的临界波长得到如下公式:

$$\lambda_{\text{临界}}^{m,n} = \frac{2a(b-d)}{\sqrt{m^2(b-d)^2 + \frac{y_n^2}{\pi^2} a^2}}, \quad (2)$$

$$m = 0, 1, 2, \dots$$

式中 y_n 是方程式的第 n 个根

$$\text{ctg } y = \frac{0.220s}{(b-d)} y. \quad (3)$$

公式(2), (3)可以从考虑所有传播着的波的谐波而得出. 当 $v_\phi = c$ 时, 对方程式(1)而言, 条件 $\lambda > \lambda_{\text{临界}}^{0,1}$ 对于波导管大小的选择加上了第二个限制.

最适宜的耦合阻抗是选择波导管大小的第三个条件. 计算证明, 耦合阻抗与 $b-d$ 有着密切的关系; 随着 $b-d$ 的增加, 耦合阻抗可以由数千欧姆减小至数十欧姆.

曾经证明, 实际上被采用波导管的大小可以保证具有 $v_\phi = c$ 的同相基波在平均半径区域内没有寄生波及耦合阻抗为数百欧姆的情况下进行传播.

与一般的同步加速器不同, 波导加速器的高频场在幅向方向和轴向方向上非常不均匀, 并以较复杂的形式依赖于 r 和 Z 的各个成份. 场的附加成分的出现就引起了振动频率的改变, 因为

$$\omega_r^2 + \omega^2 + \omega_\phi = \text{常数}$$

因此, 仅仅只是引起了振动频率的调变. ω_r 和 ω_z 的改变通常都是很小的. 此外, 高频场的任何改变都不可能引起振动阻尼减缩任何的改变. 这一结果, 明确的阐明了关于阻尼减缩总和不变的结论^[4], 而且阻尼减缩总和的不变, 可以从下面简单的概念来理解. 假若忽去了能量的增加和射线, 那么在以波的角度转动着的坐标系中, 粒子的哈密顿量不明显的与时间有关. 由此可知特征方程不包含有特征数^[5]的奇次幂, 这就意味着不存在波场所引起的阻尼. 考虑

到电子的能量随时间的增加和辐射也并不改变这样的结论。

根据以上所述,可知粒子在迴旋波导加速器中的动力学类似于粒子在同步加速器中的动力学,波场的复杂形状并不显现出对加速器正常工作的干扰。

我們应注意,当研究具有諧振場的加速器中的粒子的动力学时,諧振应扩展(размывается)到整个的方位角上,这就相当于代替了某种行波的加速隙。同时,估計高频場仅仅只有沿半径成 $\frac{1}{r}$ 而降低的分量 E_φ 。由此可知,上述的结果对于同步加速器是正确的。而且在同步加速器中,高频場是以任意的形式依赖于 r 和 z 。

为了防止对于控制場屏蔽,波导管应由单个的部分所构成,并且这各部分彼此应仅适合以高频来連系。从这一目的出发,波导管各部分壁的厚度应该很薄。而为了保证系统的机械强度,所以波导管的各个部分都放到一个电介质制成的箱子内。

在文献[6]中提出了对于行波弯曲形波导場中可控制粒子軌道的加速器的示意图。在这种情况下,稳定条件应满足下面的不等式:

$$\left. \begin{aligned} n < 0; \quad n > -1; \quad n_1 > 0; \\ (1+n)^2 > 4n_1; \end{aligned} \right\} \quad (5)$$

式中

$$n = \frac{\frac{\partial^2}{\partial z^2} \left(r \frac{\partial \Pi}{\partial r} + r \psi \right)}{\frac{\partial^2 \Pi}{\partial z^2} - \frac{\partial \psi}{\partial r}}; \quad n_1 = \frac{\frac{1}{r^2} \frac{\partial^2}{\partial \varphi^2} \left(r \frac{\partial \Pi}{\partial r} + r \psi \right)}{\frac{\partial^2 \Pi}{\partial z^2} - \frac{\partial \psi}{\partial r}};$$

Π 是赫芝磁矢量之分量; ψ 是場的标势。当 $k_z^2 < 0$ 时,不等式 $n < 0$ 和 $n_1 > 0$ 可同时得到满足。这就意味着按 $Z = \text{const}$ 端部平面調整波导管时,稳定性条件可以同时得到满足。

我們应指出,因为在弯曲形波导中过渡到随波一同运动的坐标系,这就意味着是过渡到非慣性的計算系。在这个系統里的場就是靜止的場,但不能为拉普拉斯方程所描述。因此得出根据依尔紹烏 (Ирншоу) 的对非弯曲形波导成立不稳定性定理不能应用于弯曲形波导管中的結論,并且不等式(5)中的各式均可得到满足。

因此,在迴旋波导加速器中,弯曲形波导管的采用是具有意义的,其一,从为了解决一系列的在建造一个大能量的电子迴旋加速器所产生的技术上的困难的观点来看是如此,其二,从建造一个波导場同时可以起到控制場和加速場作用的迴旋波导加速器的观点来看也是如此。

黃長春譯

参 考 文 献

- [1] А. А. Воробьев: Изв. высш. учеб. заведений. Электромеханика, № 5, 106 (1958).
- [2] А. Н. Диденко: Диссертация, МГУ, 1958.
- [3] Е. С. Коваленко, В. И. Шиманский: Изв. высш. учеб. заведений. Радиотехника, № 2 (1960).
- [4] А. А. Коломенский, А. Н. Лебедев: Атомная энергия, 5, вып. 5, 554 (1958).
- [5] А. М. Ляпунов: Собрание сочинений, т. II. М.—Л., Изд-во АН СССР, 1956, стр. 78.
- [6] А. А. Воробьев: Ускорители заряженных частиц. М., Госэнергоиздат, 1949, стр. 220.

閃爍計數器对伽瑪勘探的应用

涅斯捷罗夫 (B. E. Нестеров)

为了改良和利用土壤,在田野中对土壤密度进行测量时所采用的伽瑪勘探法对于工程建筑 and 工程地质的实际工作来讲具有很大的兴趣,因为利用了这种方法就可以立刻得到结果,并可以不破坏介质而在同一地方进行重复的测量。

平行 γ 射线束所遵照的指数衰减定律:

$$I = I_0 e^{-\mu \rho x}$$

是伽瑪勘探法的基础。式中 I_0 和 I 分别表示没有吸收体和带有吸收体时 γ 辐射的强度; ρ 为介质密度; x 为被透过的介质的厚度; μ 为 γ 辐射的质量衰减系数。

当利用 Co^{60} 或 Cs^{137} 源时,对于不同类型的土壤来讲,质量系数在足够精确的程度上是相互一致的,因为土壤主要是由轻的化学元素所组成的。唯一的例外是水,由于氢的存在而使它的质量系数比土壤大11%。

知道了 μ , x 并测量了 I_0 和 I 以后,我们就能够确定介质密度的绝对值:

$$\rho = \frac{\ln I_0 - \ln I}{\mu x}$$

这种方法最大的价值是能够在野外测定土壤的密度。为此就钻二个平行的钻井,在其中一个的某一深度处放入 γ 辐射源,在另一个的同一深度处放探测器,并测量辐射强度。但是,在此情况下发生了与建立良好几何条件的不可能性有关的困难,因为在土壤调查的实际工作中,所采用的钻孔的直径是不大的,因此不可能利用准直器和光阑的方法来防止散射的辐射。质量衰减系数的理论值在此情况下就不能采用。一般在计算散射辐射时,引入有效衰减系数,其数值与伽瑪勘探的具体条件有关:被穿透层的厚度与深度,介质密度,计数器尺寸等等。因此,可应用预先校准的方法^[1-3]决定有效衰减系数。但是,采用校准的必要性使方法的价值降低了,因为测量和校准时条件可能不相同,从而产生巨大的误差¹⁾。

假如利用了带有脉冲振幅甄别器的閃爍計數器来探测 γ 量子,那末上述困难就能克服。因为多次散射的 γ 量子所具有的能量值要比非散射 γ 量子小得多,因此从某一甄别阈起,散射辐射实际上未被记录到。把不同甄别阈的 Co^{60} γ 辐射在水中的衰减曲线记录下来以后,当伽瑪勘探时上面所述的消除散射辐射方法就可在实际上加以检验。随着甄别阈的增长,有效衰减系数的数值从0.038改变到0.063厘米⁻¹,即,逐渐接近到理论值。当在同样条件下用盖革计数器记录 γ 辐射时,得到的有效衰减系数等于0.039厘米⁻¹。

此方法经过检验以后,就制造了野外閃爍仪器的实验装置,在此仪器中,带有NaI(Tl)单晶的光电倍增管ФЭУ 35与使用晶体管ППИ的分压器和发射跟踪器一起装在直径为44毫米的壳子内。利用晶体管辐射計ТПРП^[4]的计数部分,(对其线路只作了不大的改变)作为计数仪器。晶体二极管作为积分甄别器。閃爍仪器在野外的实验中对各种土壤进行了土壤密度的测量(图1),并得出了满意的结果(参看表及图2)。

对于褐色粘土得到的结果最为符合,在此处伽瑪勘探可以按土的基线进行,而当确定密度

1) 应当指出,利用伽瑪勘探方法测量在输送管道中的矿浆或液体的密度是一个比较简单的问题。因为,首先,在测量过程中几何位置可以不变;其次,仪器在校准时所处的条件可以和测量时相同;第三,能应用补偿线路,从而可采用按照脉冲积分原理工作的仪器。

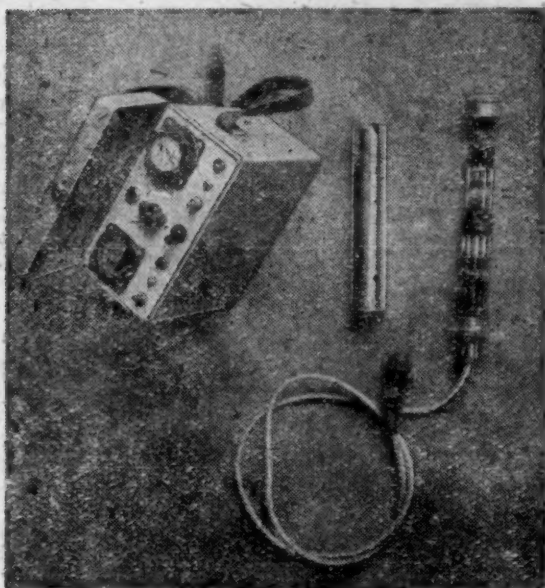


图1 使用晶体管的野外閃爍計数仪器

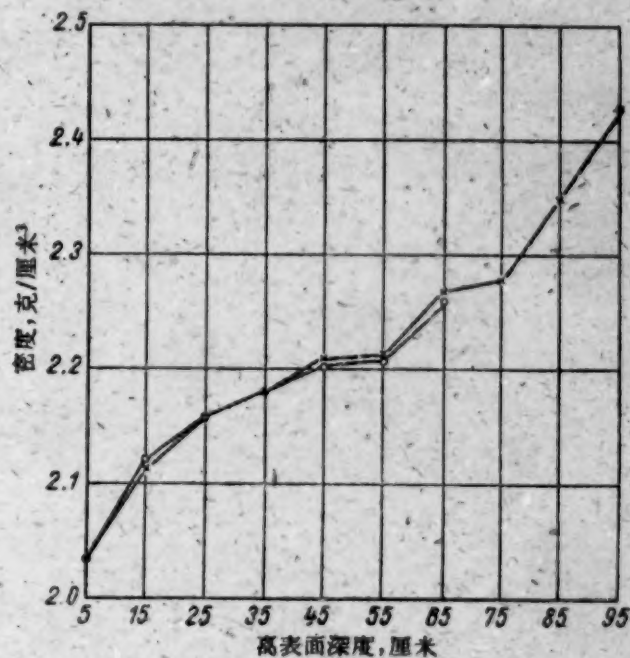


图2 褐色粘土的密度测量方法

×——伽瑪勘探法；○——切削圓柱法。

用測量土壤密度的伽瑪勘探方法所进行的野外試驗

深度,厘米	密 度 克/厘米³			
	中 等 粘 土		低 劣 的 泥 炭	
	切 削 圓 柱 法	伽 瑪 勘 探	切 削 圓 柱 法	伽 瑪 勘 探
2	—	—	1.34±0.05	1.34±0.04
10	1.63±0.04	1.41±0.02	—	—
12	—	—	1.23±0.01	1.42±0.02
20	1.76±0.04	1.74±0.01	—	—
22	—	—	1.07±0.01	1.08±0.03
30	1.87±0.01	1.86±0.01	—	—
32	—	—	1.07±0.01	1.11±0.03
40	1.87±0.01	1.89±0.02	—	—
42	—	—	1.11±0.01	1.09±0.04
50	1.87±0.01	1.90±0.04	—	—
52	—	—	1.15±0.02	1.19±0.01
60	1.88±0.01	1.95±0.03	—	—
62	—	—	1.26±0.02	1.29±0.02

注：对于沙石的密度，利用切削圓柱法在深度为10厘米处测量的結果为 1.95 ± 0.01 克/厘米³，而用伽瑪勘探法則为 1.97 ± 0.01 克/厘米³。

时,对于加西斯基的鈎孔体积200厘米³作了34次重复的測量。对于其它的土壤,重复測量的次数大为減少。由于土壤的密度十分大在深度低于65厘米处,要用切削圓柱法对褐色粘土的密度进行測量是不可能的。在深度10厘米处測量粘土的密度时,以及在深度为12厘米处測量泥炭的密度时,結果的不一致是由于在第一种情况下有裂縫的存在,在第二种情况下有石头的存在而形成的,这样一来,利用切削圓柱法測量时导致粘土的密度过份大,而泥炭的密度变小。仪器的校准工作主要是在光电倍增管的电压給定的情况下找寻甄别电平与有效衰减系数之間的关系。

在計算密度时,对于土壤和水的衰减系数的差别是不考虑的。能够指出,这种忽视会引起体积湿度的密度增长 $1/10$, 当密度为 2.0 克/厘米³ 和湿度为 30% 时,增长了 1.5% 。当精确的測量密度时,必須考虑土壤的湿度。为了确定固态的体积重量,也必須知道湿度。但是,当伽瑪勘探法和恆溫比重法一起配合来測定湿度时,伽瑪勘探的优点之一——灵活性就失掉了。更有发展前途的是,把伽瑪勘探与利用同一孔道按中子方法測量体湿度的方案配合起来。

由此,閃爍計數器的使用就使得可以在野外条件下对土壤密度进行絕對測量,并且在伽瑪勘探方法的其它应用中,使用閃爍計數器也是有好处的。

作者感謝也米里雅諾夫 (В. А. Емельянов) 对結果进行了討論,彼特洛夫 (Е. Г. Петров) 提供了宝貴的意見,伏洛达爾斯基 (В. Л. Володарский) 在建造仪器的实验装置中 和測量时所給予的帮助。

校者注:在 1959 年,当編輯部收到本来信的同时,在美国的杂志上出現了类似的研究工作 (C. Van Bavel. Soil. Sci. 87, 50, 1959), 但是,在此报导中沒有关于伽瑪勘探法与其它任何方法相比較的数据。

家 悟 譯

参 考 文 献

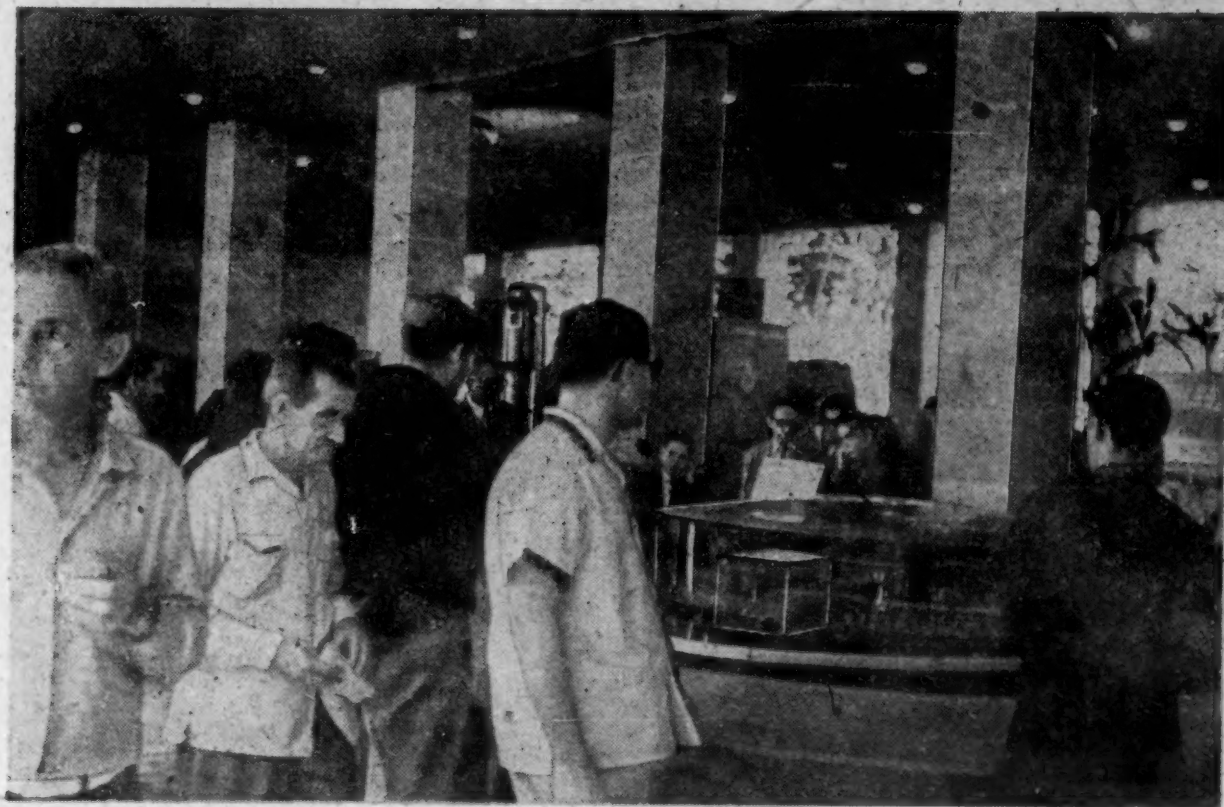
- [1] Вомочил: Материалы Международной конференции по мирному использованию атомной энергии (Женева, 1955). т. 12. М., Сельхозгиз, 1958, стр. 266.
- [2] В. А. Дуранте и др.: Материалы к IV Международному конгрессу по механике грунтов и фундаментостроению. М., Изд-во АН СССР, 1957.
- [3] А. А. Татарников: *Разведка и охрана недр*, № 4, 17 (1957).
- [4] Г. Р. Гольбек, А. Н. Вяльшин: Тр. Всесоюзной научно-технической конференции по применению радиоактивных и стабильных изотопов и излучений в народном хозяйстве. Радиометрия и дозиметрия. М., Изд-во АН СССР, 1958, стр. 220.

科技新聞

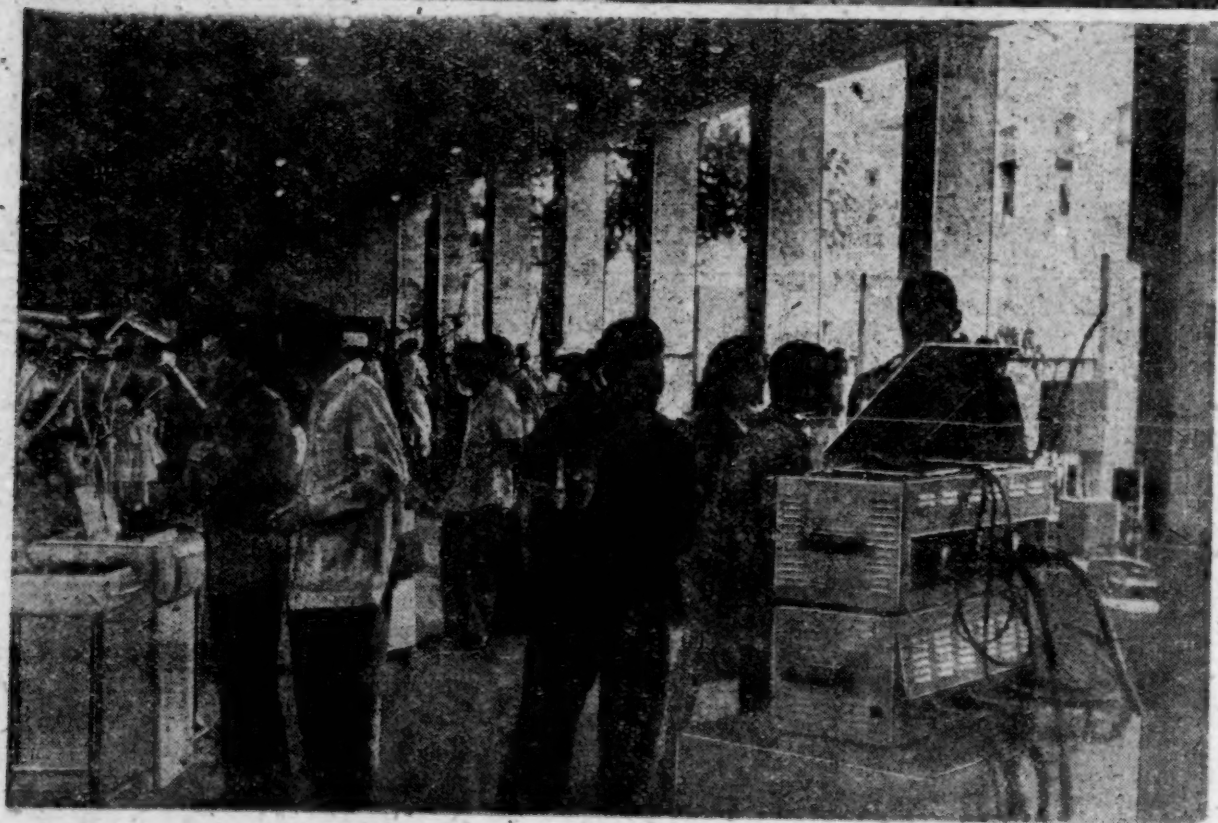
哈瓦那苏联展覽会的原子能館

1960年2月苏联在哈瓦那(古巴)民族美术博物館举办了科学、文化和技术展覽会。

苏联部长會議第一副主席米高揚受苏联政府的委託举行了展覽会開幕典禮。



哈瓦那苏联展覽会大厅



苏联展览会大厅

古巴首都的居民对苏联展览会极感兴趣：每天都有4—5万人前来展览会参观。

在“和平利用原子能”馆各类展品和模型附近经常集有很多观众。

特别受群众欢迎的是“列宁号”原子破冰船模型、世界上第一座原子能发电站模型、试验性重水反应堆模型、苏联原子能发电站各种类型反应堆模型及热核研究用的“ α ”装置模型。

在展览会原子能馆还展出了在工业上应用同位素所采用的各种仪表(放射性计数器-检查器、差度计、锡层厚度测量器、钢材厚度测量器),在模型上表示出应用同位素来选测石油井的原理,在模型上还表示出熔炼生产和 γ -探伤技术中同位素的应用原理。

在展览会上还展有：100亿电子伏同步稳相加速器模型、回旋加速器模型和静电加速器模型。

参观过原子能館的所有古巴人民一致认为原子能应当只用于和平事业。苏联在这方面所作出的榜样使他們看到，和平利用原子能会給人类带来很大的幸福。古巴人民的这种意見不仅表現在言談里，

而且还刊載在書籍評論中和報紙上。所有報紙都給予苏联展覽館以很高的評價。

科学、文化和技术展覽会帮助了古巴人民更好地了解苏联。

中国工业交通展覽会的原子能館

中国工业交通展覽会广泛地介紹了中华人民共和国在利用原子能方面的工作情况。并对原子能技术的四个方面：反应堆构造、加速器、放射性同位素的应用和仪表作了重点介紹。

在第一方面展出了光亮的塑料制研究用重水反应堆模型，模型上还表示出該堆用的各輔助間和實驗室。这个反应堆是中国科学院原子能研究所在苏联帮助下建成的。它于1958年7月投入運轉。目前，中国的专家們正在利用这个反应堆进行广泛的研究。用这个堆制备了很多放射性同位素，如 Co^{60} 、 I^{131} 、 Fe^{59} 。

在加速器技术方面展出了几个加速器模型：中国第一个迴旋加速器模型（这个加速器也是由苏联帮助建成，于1958年7月投入運轉的）、静电加速器模型、电子感应加速器模型及高压发生器模型。

在展覽会上极其广泛地介紹了放射性同位素在中国国民經济中的应用。最近几年，在这方面曾取得了很大的成就。放射性同位素，特别是 Co^{60} γ 源，已經在工业、农业和医学上开始应用。許多工业企

业利用同位素来进行探伤、測定熔炼炉炉底和炉壁的磨損情况以及它在伐木业和采矿工业方面的应用。曾确定，受 γ 照射过的或浸过溶有少量放射性同位素的溶液的种子能使幼芽早日出土、茁壯，并保證丰收。展覽会上还講述了有关农产品及食物通过放射性来杀害細菌和害虫的保存方法。

中国的医学专家們正在广泛地应用同位素。展覽会上还展出了中国制造的用以治疗癌症的鈷炮。还講述了用同位素 I^{131} 診斷和治疗高血压症和利用同位素 P^{32} 診斷胸腺癌症和治疗皮肤病等。

在展覽会上还广泛地介紹了在原子核技术中应用的各类仪表。最近几年，在这些仪表中有很多是中国生产的。此外还展出了在工业、农业、医学、地质方面应用的大批計数器和輻射探测器以及用以检查生产过程的各种仪表（液面指示器、土壤湿度中子測量仪、計算瓶子和盒子的仪器）。

展覽会表明，解放十年来，中国在和平利用原子能方面取得了巨大的成就。

美国原子核物理学会和原子能工业家联合会的华盛顿會議

美国原子核物理学会和原子能工业家联合会1959年11月于华盛顿举行了會議¹⁾。出席會議的共1700人左右。部分會議是共同举行的，出席人一起听取了某些主要报告，彼特曼(Ф. Питтман)和約翰馬庫恩(Дж. Маккоун)作了关于原子核动力发展主要方向的报告。馬庫恩的报告談到原子能委员会过去一年的工作情况和将来的工作計劃。馬庫恩在报告結束时宣布了原子能委员会对加浓鈾的价格政策和获得免稅权手續的修改事宜。

彼特曼关于根据八种不同类型反应堆所作的原子核动力发展前途的报告，系原子能委员会十年計劃第二部分的摘录。彼特曼在报告中所作的結論仅基于現代的知識水平。在討論中沒有估計到裝球形燃料的TURRET反应堆系統、LAMPRE系統和帶

能譜跃迁的水系統等試驗結果所产生的結果。在对反应堆系統作經濟分析时認為，負荷系数等于80%，固定費用等于14%，鈷貸款等于12美元/克。全部計算是按一座反应堆和一台汽輪裝置作的。表(見下文)中所列系一些反应堆的經濟数据。

除了这两篇主要报告而外，在会上还听取了美国和西欧原子能研究中心的研究原子能技术的协作計劃說明，提高原子工业企业經濟效率的途径和RWR、EBWR、VBWR、SRE、OMRE諸裝置的運轉經驗等报告。

1) *Nucleonics*, 17, No. 12, 17—23 (1959); *Nuclear Power*, 5, No. 45, 111—116 (1960).

中南美国家原子核动力的发展

中南美大部分国家均已成立了原子能委员会,负责领导这方面的所有科学工作及铀、钍两元素的开采和利用工作¹⁾。象玻利维亚、巴拉圭和危地马拉之类的国家,在短期内原子能研究工作尚不能有很大的发展。然而,目前它们正研究在医学和农业中应用放射性同位素的可能性。某些国家由于地理特点和工业远离动力基地的关系,对原子核动力很感兴趣。

智利最主要的水力资源远离需要能量的中心——瓦尔帕来索省圣地亚哥地区和北部矿区。若在北部地区建造功率约20000千瓦的小型原子能电站

将是合算的。这种可能性目前正在研究中^[1]。

乌拉圭没有燃料资源,但由于河水流量不稳定,国内须要一些热电站,以便在枯水时补充水电站的不足。目前,乌拉圭电站的总功率共为32万千瓦,而在未来的十年内,将增至70万千瓦^[1]。估计约有20万千瓦要靠原子能电站生产。

拉丁美洲其它许多国家大都拥有水力资源或石油。不过象哥伦比亚、墨西哥、秘鲁和古巴等国家已着手研究小型反应堆的经济价值。估计这些国家可

1) 关于巴西和阿根廷的原子核动力装置请参看1960年8月份原子能杂志。

各种反应堆系统经济数据比较表

	PWR, 压力水堆	BWR, 沸水反应堆	BWRNS, 带蒸汽过热的沸水反应堆	OMR, 有机减速剂反应堆	SGR, 钠-石墨反应堆	GCR, 气冷反应堆	D ₂ O-Nat.U, 天然铀重水反应堆	FR, 快中子反应堆	AHR, 改进型均匀反应堆
装有各种反应堆的、电功率达30万千瓦的电站电价,厘/千瓦·小时*									
具有现代工艺基础的电站:									
总的	9.28	9.61	无资料	11.45	11.22	10.36	12.50	13.25	无资料
基建部分	5.05	5.26	无资料	4.39	6.11	5.97	7.05	5.10	无资料
燃料部分	3.38	3.47	无资料	5.72	4.12	3.21	4.22	7.10	无资料
运转部分	0.85	0.88	无资料	1.34	0.99	1.18	1.23	1.05	无资料
考虑到改进工艺过程的:									
总的	7.81	7.48	6.75	7.10	7.78	7.67	9.03	7.47	11.33
基建部分	4.40	4.31	3.88	3.65	4.92	4.09	6.49	4.43	6.38
燃料部分	2.56	2.29	1.99	2.11	1.92	2.80	1.31	1.99	2.12
运转部分	0.85	0.81	无资料	1.34	0.94	0.78	1.23	1.05	2.83
改进工艺过程的科学研究工作价值,百万美元	20	20	4	40	82	100	80	160	75
原型及其价值	无需	BWR 高比能反应堆, 2500万美元	BWRNS 反应堆原型, 2000万美元	电功率75000千瓦的反应堆原型, 3000万美元	电功率75000千瓦的SGR反应堆原型, 5000万美元	无需	2台 D ₂ O-Nat.U 反应堆原型, CVN PA 反应堆除外, 47500万美元	FR 反应堆原型, “费尔米”反应堆除外, 5500万美元	功率5000—10000千瓦的HRE-3反应堆, 热功率11万千瓦的TBRE反应堆和电功率12万5000千瓦AHR反应堆原型, 10000万美元
改进型电站开工建设的计划日期	最近	1964年底或1965年初	1965年以前	1965年	1965年底或1966年初	1966年以前	1967年或1968年	1968年或1969年	1970年或1971年

* 1厘等于0.001美元。

能购置这类装置^[1]。

铀矿的发现促使某些中南美国家原子核动力的发展。不久前,墨西哥国立原子能委员会宣布:在全国各地发现了許多儲量巨大的铀矿,而其中主要的集中在契瓦烏和索納尔两州,其儲量分别为~8000吨和2000余吨。大規模勘察铀矿的工作尚在进行中^[2]。

在秘魯拉-卡維希奧(Ла-Конвенсион)省曾发现了新的铀矿。铀含量为5.8—9.2%。目前还没有关于儲量和品位的精确資料^[3]。

哥伦比亚也在进行铀矿勘察工作。在散坦德尔省曾发现矿床。目前政府正在研究建設铀加工工厂的可能性^[4]。

不久前,在智利卡基堡和阿塔卡馬两省发现了六处铀矿^[5,6]。

在委內瑞拉(塔契拉省)也曾发现铀矿。化驗証明,每吨矿石中铀含量达70—120克^[7]。

委內瑞拉在获得放射性同位素和发展原子核动力方面采取了现实的步骤。委美协定中規定,美国原子能委员会将出售或借貸給委內瑞拉供研究性反应堆和动力反应堆用的燃料;还規定出售800公斤铀(加浓度为20%),供卡拉卡斯附近的研究性反应堆和計劃建造的材料試驗反应堆及三座电功率各为15000千瓦的沸騰动力反应堆用。美国还将供应6公斤加浓度为90%的铀,供試驗性反应堆用^[8]。原子能研究中心已建成功率为3000千瓦的研究性游泳池型反应堆。根据設計,除了反应堆外,还計劃建造几个實驗室。研究中心总的造价为540万美元^[9-11]。

在波多黎各正建造教学和研究用的原子核中心。反应堆将建在馬亚古艾斯大学的农业和机械学院(島西部),而教学中心将設在利奧-帕德拉斯。原子核中心的教学大綱系根据波多黎各和其它拉丁美洲国家对医学、农业和技术专家的需要而編制的^[12]。原子核中心将建造两座反应堆。第一座功率10瓦的均匀型反应堆已于1959年8月达到临界。第二座功率1000千瓦的游泳池型反应堆拟于1960年建成。今后該反应堆的功率将提高到5000千瓦^[13,14]。

1958年美国通用原子核工程公司为波多黎各研究了蒸汽过热的、电功率达15000千瓦的沸水反应堆^[15]。

目前,英国“米特契耳工程”公司及美国“机器鑄造”公司正和古巴經濟和社会开发銀行进行关于建造装有电功率22000千瓦的沸水反应堆的原子能电站的談判。該电站将建在圣塔-留希亚(彼納尔-德里-利奧省),拟于1961年以前竣工運轉。据估計,到1962年該电站的电价較之古巴境內热电站的电价只貴0.04分/千瓦·小时。电站的反应堆装有非直接迴路和蒸汽火过热器,与美国艾耳克河电站的反应堆相似。所不同的是用石油代替普通煤作为过热燃料,用装在不銹鋼外壳中的、加浓至3%的二氧化铀代替装在鋁外壳中的铀-鋁合金作为原子核燃料。反应堆热功率为73100千瓦,其中20%将用于石油蒸汽过热器。

反应堆电功率为22000千瓦,将来計劃提高到40000千瓦。电站造价为640万美元^[16]。

墨西哥、烏拉圭、哥伦比亚和秘魯等国家也在进行科学研究工作。譬如,烏拉圭計劃建造一座功率为100—500千瓦的研究性游泳池型反应堆,以供蒙德維多大学原子能實驗室使用。建造两座功率各为100千瓦的原子核反应堆的可能性也正在研究中^[1]。

墨西哥在研究建造原子核动力装置的同时,在原子核物理方面也正进行着一系列的科学研究工作。1952年在国立墨西哥大学建造了一台帶电粒子能量达2百万电子伏的靜电加速器^[17]。

参 考 文 献

- [1] *Nucl. Power*, 4, No. 33, 111 (1959).
- [2] *Appl. Atomics*, No. 187, 19 (1959).
- [3] *Nucl. Engng*, 4, No. 41, 366 (1959).
- [4] *Appl. Atomics*, No. 87, 2 (1957).
- [5] *Mining J.*, 252, May-annual, p. 203 (1959).
- [6] *Mining J.*, 252, No. 6480, 114 (1959).
- [7] *Chem. Age*, 77, No. 1957, 94 (1957).
- [8] *Appl. Atomics*, No. 159, 3 (1959).
- [9] *Chem. Age*, 77, No. 1980, 1051 (1957).
- [10] *Nucl. Power*, 2, No. 19, 449 (1957).
- [11] *Nucl. Engng*, 4, No. 37, 183 (1959).
- [12] *New York Times*, 26, September 1957.
- [13] *Nucl. Engng*, 4, No. 39, 277 (1959).
- [14] *Nucl. Power*, 4, No. 42, 84 (1959).
- [15] *Appl. Atomics*, No. 171, 5 (1959).
- [16] *Nucleonics*, 17, No. 9, 22 (1959).
- [17] *American Institute of Physics Handbook*. New York, McGraw-Hill Handbooks, 1957.

供陆上和海上用的 OMR 反应堆

有机减速剂的 OMR 反应堆系英国政府选供商船用的两种原子核反应堆中的一种。OMR 反应堆还可用作小型电站的普通能源。

作为 OMR 反应堆中的减速剂和载热体的是联三苯(图 1)

OMR 反应堆独特之处:基建和运转费用低及安全。这说明该种反应堆不管是用在陆上还是水上,是有前途的。

结 构

估计,陆上装置的建造可能需要四年左右的时间,其基建费用约为 45 英镑/千瓦。电站面积,包括机修厂和行政办公楼,共为 2300 余平方米,工作人员共为 30 人。反应堆连续运转时间为 11 个月。释热元件外壳的最高温度为 450°C ;载热剂的出口温度为 340°C 。蒸汽发生器中将产生压力为 42 个大气压、温度为 327°C 的蒸汽。

能承受 7 个绝对大气压的反应堆圆筒形外壳是用普通碳素钢制造的,其高度为 854 厘米,直径 296 厘米,壁厚 2.2 厘米。外壳周围是能承受 4.2 计示大气压的最大压力(在蒸汽回路和联三苯回路同时破裂时)的密封套。

减速剂和燃料

减速剂中所产生的聚合物将在蒸馏釜中排出。在这里也将放出各种放射性粒子,它们有可能打到外壳业已破裂的释热元件的载热剂中,气体将在空气稀薄罐中排出。反应堆全功率工作时,每昼夜将分解 906 公斤左右的联三苯。

活性区是由 294 个元件组(每一元件组中有 19 根用氧化铀和不锈钢外壳制成的直径各为 12.7 毫米的燃料棒)组成。为了降低运送载热剂所需的功率,所有的元件组均装在铝套或钢套中,载热体的主流就是由其中流过。活性区的负荷共为 8 吨微浓缩氧化铀。计划起先用加浓的同位素 U^{235} ,将来用加浓的钍。

安 全

OMR 反应堆将具有负温度系数。操纵工作将借助插入反应堆底部的 19 根硼钢棒来实现,这就使运料设备可以无所限制地分布在活性区上面。必要时,由钢弹簧将硼钢棒插入活性区停堆。

反应堆将备有小型辅助冷却器,以借助自然对流排除反应堆中的剩余热能。为了防止火灾,采取

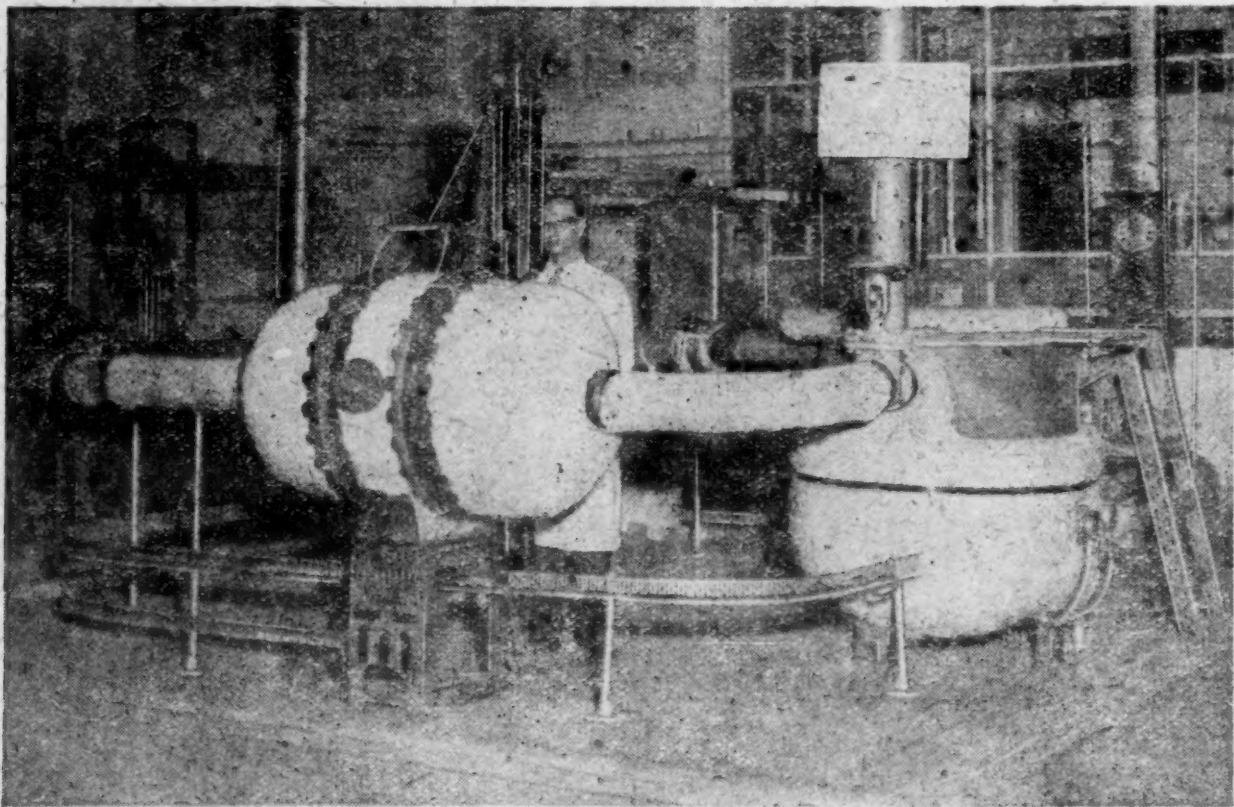


图 1 联三苯载热剂回路

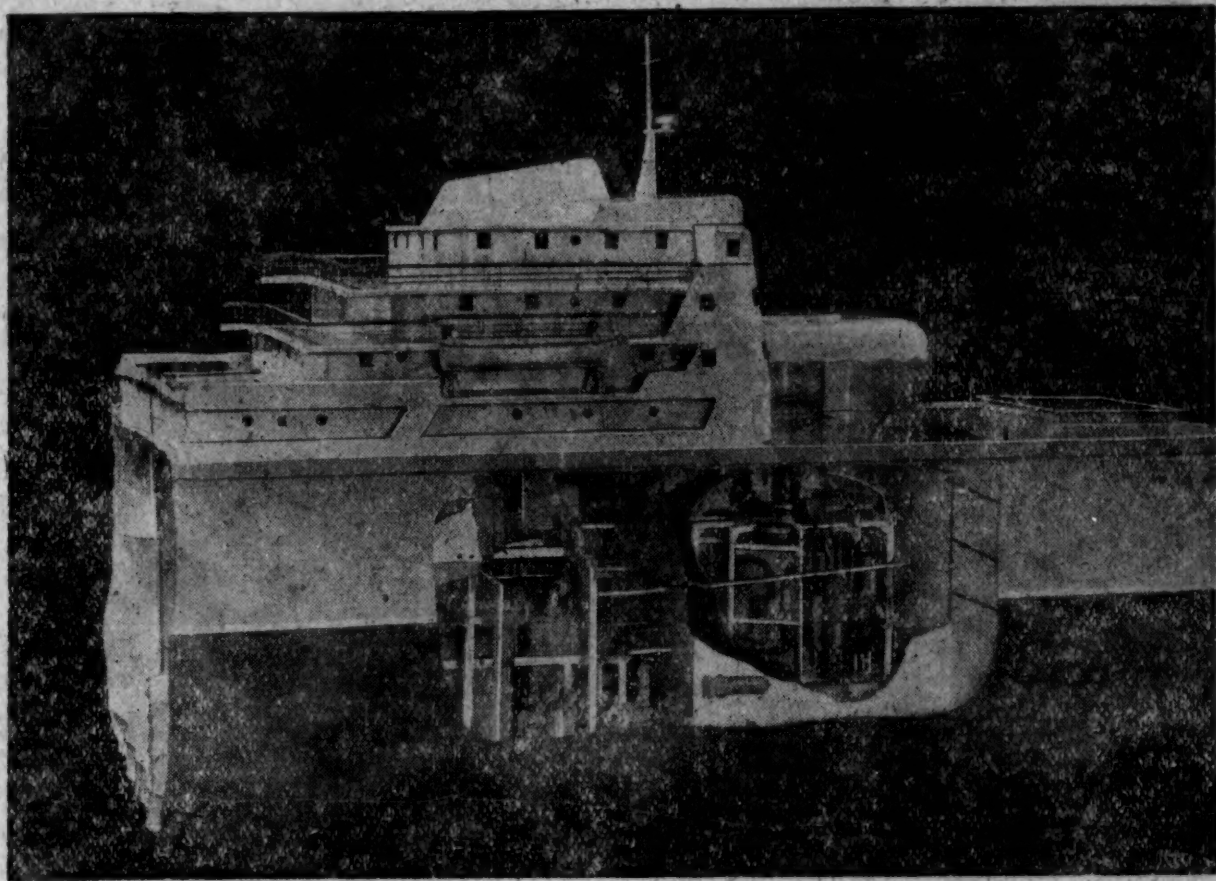


图 2 OMR 反应堆在輪船上的位置模型

了一特殊措施：往围绕反应堆的密封套中充一定量的、足以使空气中氧气的浓度低 15% 的氮气。在这种空气中，工作人员无需氧气瓶。

供輪船用的 OMR 反应堆

不久以前，曾研究了身長 150—166 米、速度 18—22 浬、航行于欧澳两洲之間的九种类型不同的輪船。研究結果表明，即使在 OMR 反应堆价值不变的条件 下，原子船价值将比采用石油的普通輪船价值高 40%，其中运转費用仅略高一点（图 2）。在这里，利用这类輪船总的优点将高于利用普通輪船。

为了在成件运输的貨船軸上获得 20000 匹馬力，OMR 反应堆的热功率应达到 64000 千瓦，活性区直径为 175 厘米，高为 150 厘米。反应堆負荷将为 7.9 吨的、用同位素 U^{235} 或鈾加浓度为 1.6—1.8% 的氧化鈾。活性区置放 294 个元件組（每个元件組包括 19 根燃料棒）（图 3）。反应堆中最大工作压力为 6.3 計示大气压，載热体出口温度为 341℃。送入普通汽輪机中的蒸汽压力为 44.3 大气压，温度为 327℃。反应堆全功率工作时，每昼夜应补充 880 公斤左右的联三苯。

OMR 反应堆的控制和調整与固定反应堆相似。反应堆功率将根据所需要的蒸汽量不同而改变，航

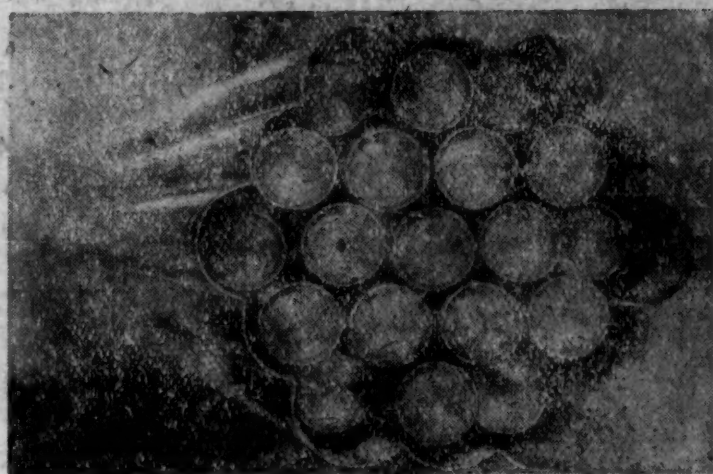


图 3 供輪船反应堆 OMR 用的、带不銹鋼外壳的释热元件組模型（这种释热元件組經過液压和热力試驗）

行时，反应堆热功率由領航員确定。停港靠岸时，必須迅速地改变蒸汽消耗量。这时，反应堆可以按正常功率工作，而将多余的蒸汽排入小型废水冷却器。

假設商船 40% 的时间航行于海上，60% 的时间停泊于港內，則装一次原子核燃料約足够使用两年左右，而燃料的更換約需要两个星期的时间。

据估計，用 OMR 反应堆发动的、航速 20 浬、載重量 12000 吨的商船可以在 5—6 年的时间內建成。

賽利格曼 (A. Селлгман)

反 应 堆——中 子 源

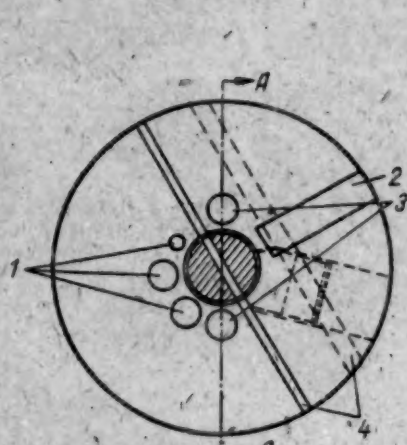
1959年10月在阿貢国立實驗室里起動了一座反应堆(參看圖)¹⁾，它是一个与美国建造快中子反应堆實驗工作有关的中子源。

反应堆的燃料是放在三个鎳盒內的高加濃鈾。盒子一个放在一个上面，組成直径和高度各为12.5厘米的活性区。反应堆的側面围有厚度为20厘米的貧化鈾作的反射层(再生层)。冷空气吹过活性区和反射层之間寬度为1.5毫米的縫隙。

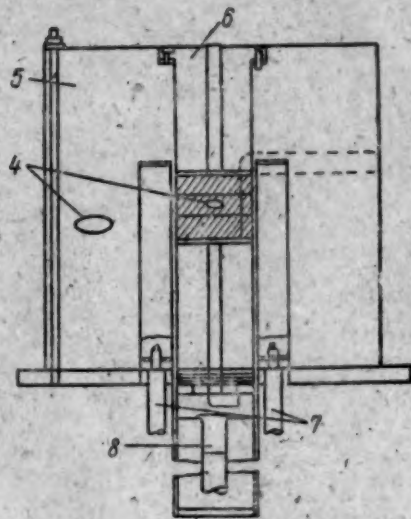
反应堆的功率为1瓩，活性区中心的中子流为 $6 \cdot 10^{11}$ 中子/厘米²·秒，热柱上所获得的热中子流为 10^8 中子/厘米²·秒。

采用以下两种方法来控制反应堆：移动5根貧化鈾棒和放下活性区的下部盒。棒置放在再生层內。

在該反应堆上可以測量从30千伏到分裂能量的範圍內的中子譜。估計，还可以利用照輻箔的方法



俯视图



剖面图

反应堆的俯视图和剖面图

1——調整棒；2——引出中子束的孔；3——事故棒；4——實驗孔道；5——再生层；6——空气縫隙；7——事故棒的軸；8——帶活性区活动部分的盒子用的軸。

来进行中子能譜測量和放射性化学的研究工作。

1) *Nucleonics*, 18, No. 2, 86 (1960).

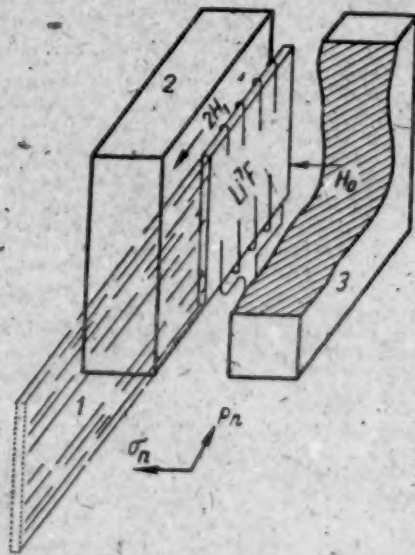
Li⁸ 磁 矩 的 測 量

在一系列情况下，俘获被原子核所极化的热中子常常使得俘获了中子的原子核本身发生极化。如果这种原子核接着就以 β 粒子的释放而衰变，那末后者飞出的方向与原子核的极化方向是不对称的^[1,2]。利用核磁共振方法把产生 β 粒子的原子核的极化去掉，并观察 β 辐射不对称性的消失，則能够測量核的 g 因子。利用这种方法就有可能对一系列短寿命原子核的磁矩进行測量。

近来已发表了关于应用类似方法的第一篇报导^[3]。實驗示意图見附图。极化中子束打到Li⁷F晶体上。当俘获中子时，所形成的原子核Li⁸就以半衰期0.8秒而放出 β 粒子，这些粒子被两个塑料閃爍計数器記錄下来。由于 β 衰变的不对称性，計数器No.2計到的 β 粒子的数目比計数器No.1大10%。

在晶体上加了强度为 $H_0 = 5418 \pm 1$ 奥斯特的靜磁場。利用一組繞圈在同样的晶体上沿着与場 H_0 相交 90° 的方向加上脉冲式的磁場 $2H_1$ ，其頻率可在很大範圍內变动。当場的頻率与核Li⁸磁矩在場 H_0

內的拉摩(Lamor)进动頻率相符时，核的极化退掉了，



实验示意图

σ_n ——中子极化方向； P_n ——中子运动方向；
1——极化中子束；2—— β 計数器 No.1；
3—— β 計数器 No.2。

家譯

β 衰变的不对称性就消失。应特别注意到，在給定的实验条件下，在每一給定时刻在晶体上总共只存在 20000 个 Li^8 原子核。

求得拉摩进动频率等于 3413 ± 1 千赫芝，从此可知 Li^8 的 g 因子为 $0.8265 \pm 0.0004 \mu_0/h$ (μ_0 为核磁子)*，因为 Li^8 自旋等于 $2^{[4]}$ ，則其磁矩为 $1.653 \pm 0.0008 \mu_0$ 。

测量到的数值和中間耦合模型^[5]相符合。

* 譯者註： h 为普郎克常数除以 2π ，即 $h = 1.05 \times 10^{-27}$ 尔格·秒。

参 考 文 献

- [1] M. Burgy et al.: *Bull. Amer. Phys. Soc.*, **2**, 206 (1957).
- [2] Ф. Л. Шапиро: *Усп. физ. наук*, **65**, вып. 1, 133 (1958).
- [3] D. Connor: *Phys. Rev. Letters*, **3**, No. 9, 429 (1959).
- [4] F. Ajzenberg-Selove, T. Lauritsen: *Nucl. Phys.*, **11**, 1 (1959).
- [5] D. Kurath: *Phys. Rev. Letters*, **3**, No. 9, 431 (1959).

关于国外新近軋制鈾的工作

关于軋制生产鈾的工艺法的最新工作在設備說明书內有所敘述，并列举出鈾的一些压力加工参数，这些参数証明了生产技术和文化的高度水平^[1,2]。

目前，主要是以軋制法来生产鈾棒和板。生产鈾棒可以采用直径 178 毫米长 1060 毫米的圓柱形坯(在 α 相鑄造和鍛造或者在 γ 相压制)。长达 20 米棒的預先軋制^[2]，是在軋径 510 毫米的二軋可逆式預軋机上且主要传动速度在勻調控制下进行的。軋机的操纵是順序的。將該預軋机机架調节为 17—25 道工序，而每道压縮量为 4 至 20%。軋制前鑄錠的加热，通常在苏打和碳酸鋰或碳酸硼的混合物(在 525—535°C 熔化)的盐池中且在 α 相溫度范围内进行。

棒的最終軋制是在縱橫軋按橢圓——圓順序更替的六机架連續式軋机上进行。軋机的每一机架各有独自の传动装置，用一多速的功率为 100—150 瓩的电动机传动。自最后一机架引出的速度可达 76—120 米/分^[1,2]。棒自最后一机架引出之后被切成若干段，做为下步热处理之用。

軋制鈾棒时，基本上采取下列三种形式的型孔：即橢圓——圓、哥德式(готический)——橢圓、方形——橢圓^[3]。在表 1 和 2 中，列举了在實驗室研究下所采用的各种形式型孔的尺寸。

在图 1 和 2 中，列出了軋制鈾棒所用型孔的形状，以及型孔形状和压縮率对鈾棒硬度的影响。

文献[3]指出，再結晶在軋制过程中的产生，溫度不同則总压縮率也不同。在 500°C 軋制的鈾中，当总压縮率大于 73% 时，随同晶粒的細化而产生显著的再結晶，在 600°C 軋制时，当总压縮率大于 23% 就产生再結晶。

軋制板分做两步：即在預軋机机架上軋制板坯

或毛坯及終軋^[1]。

表 1 橢圓——圓型孔的尺寸

道序	型孔形状	尺寸,毫米			棒的面积,毫米 ²	每道压縮率, %	总压縮率, %
		H	L	S			
坯 軋							
1	方形	—	—	21.5	405	—	—
2	”	—	—	20.2	395	2.4	2.4
3	”	—	—	19.1	345	12.7	14.8
4	”	—	—	18.3	313	9.3	22.6
5	”	—	—	17.1	271	13.4	33.1
6	”	—	—	16.1	240	11.4	40.7
7	”	—	—	15.1	215	10.4	46.3
8	”	—	—	14.2	190	11.6	53.1
9	”	—	—	13.5	172	9.1	57.5
10	”	—	—	12.8	159	7.6	60.9
11	”	—	—	12.4	140	11.9	65.7
終 軋							
1	橢圓	9.6	19.2	—	110	21.4	21.4
2	方形	—	—	10.9	99	10.0	29.3
3	橢圓	9.0	6.5	—	92	9.1	34.3
4	圓形	—	10	—	77	16.4	45.0
5	橢圓	7	14	—	62	10.8	55.7
6	方形	—	—	7.4	55	11.3	60.7
7	橢圓	5.8	12	—	46	16.4	67.1
8	方形	—	—	6.2	41	10.9	70.7
9	橢圓	4.8	10	—	33	19.5	76.4
10	方形	—	—	5.2	30	9.1	78.5
11	橢圓	4.1	8.4	—	26	13.3	81.4
12	方形	—	—	4.7	24	7.7	82.8
13	橢圓	4.2	6.8	—	20	16.7	85.7
14	圓形	—	5	—	17	15.0	87.8

表 2 哥德式型孔的尺寸

道序	型孔形状	尺寸,毫米		棒的面积,毫米 ²	每道压缩率, %	总压缩率, %
		<i>h</i>	<i>l</i>			
坯 軋						
1	哥德式	24	31.9	392	—	—
2	”	23.2	30.6	365	6.9	6.9
3	”	22.0	29.3	331	9.3	15.6
4	”	20.8	27.7	315	4.7	19.6
5	”	20.0	26.6	285	9.5	27.3
6	”	18.6	24.8	240	15.8	38.8
7	”	17.8	23.7	208	13.5	46.9
8	”	16.5	24.8	191	8.2	51.3
9	”	15.7	23.6	158	17.3	59.7
10	”	14.3	21.5	139	12.0	64.5
終 軋						
1	”	3.1	19.7	113	18.7	18.7
2	”	12.1	17.7	95	15.9	32.1
3	”	11.3	16.9	83	12.6	40.0
4	圓形	—	10.2	79	4.8	43.0
5	”	—	10.0	77	1.3	44.4

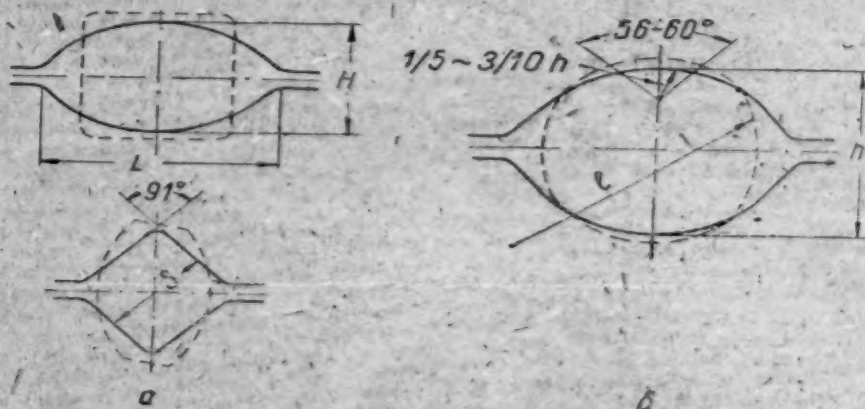


图 1 型 孔

a) 橢圓——圓; b) 哥德式型孔。
 ----棒; ———型孔。

直径 680 毫米、壁厚 67 毫米和高 610 毫米完整的鑄造圓筒或者厚度 67 毫米且面积大小为 60×60 厘米的板坯可以做为軋制的毛坯。圓筒坯在軋制前被切成寬度为 204—228 毫米的小段。

在軋制前, 坯經受酸洗或机械处理。

軋制板是在三軋式軋机上进行的, 而軋机与五机架連續式精軋机位于一条綫上。坯在三軋式軋机

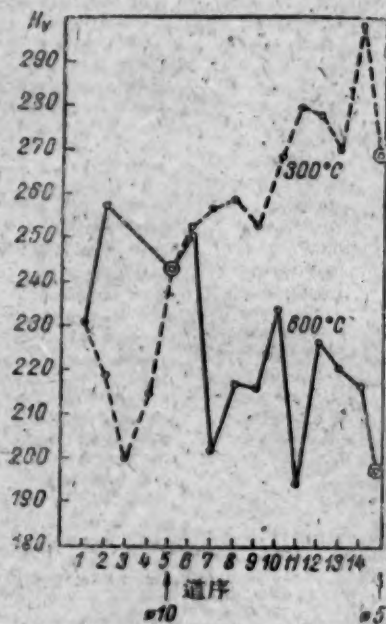


图 2 型孔形状和压缩率对軋制鈷的硬度的影响

●——方形; ○——橢圓形; ◎——圓形。

上共通过五次, 每道压缩量由 4 至 32%。为了破坏鑄态結構, 那么按高度的总压缩率必需不低于 60%。軋制时坯翻复成 90°。当温度 625°C 时, 在三軋式軋机上进行軋制。扁板經預軋机軋制后传送到連續式軋机, 而在它的最后三个机架上进行尺寸形状的精軋, 这时, 压缩率变动范围由 34 到 8%。

采用其他工艺过程来生产做为挤压成形用的板。鑄造扁坯在 600—625°C 軋制成板, 在 625°C 退火。以后在油中加热到 300—325°C 进行热轧。热轧之后根据工艺过程仍需进行下步处理: 1) 在一个方向上热轧, 压缩率为 60%; 2) 625°C 退火; 3) 在同方向热轧, 压缩率为 25%; 4) 弯成 90° 和軋制, 其压缩率为 55%。如此借軋制方向和未經退火的压缩率的配合以达到所要求的一切性能。

参 考 文 献

- [1] J. Fellows: Доклад № 1433, представленный США на Вторую международную конференцию по мирному использованию атомной энергии (Женева, 1958).
- [2] C. Harrington, A. Ruchle: Uranium Production Technology. N. Y., Van Nostrand, 1959.
- [3] M. Kawasaki et al.: Journal of the Atomic Energy Society of Japan, 1, No. 1, 19 (1959).

关于采用統計分析来普查鈾矿床的問題

近来,在普查勘探地質中采用統計法方面所做的嘗試越来越多了。在这方面最引人注意的工作之一是美国地球化学家別依特斯¹⁾所做的統計分析,其目的是为了查明科罗拉多高原莫里森索尔特瓦什层中鈾矿石的成矿規律性和圈定鈾矿远景面积。

該分析只是根据 1944 年以前已知含鈾面积的地質研究資料进行的,这是为了把所取得的結論与 1944 年以后所进行的普查結果进行对比,以便确定利用数学統計法评价各个地区的可能性。

为了获得原始資料,編制了科罗拉多高原的等值綫图,其等值綫值如下:

1. 距含矿物质可能搬运来源的距离; 2. 距最近侵入体的距离; 3. 布拉舍-別依新 (Браши-Бейсин) 上复分层的厚度; 4. 索尔特瓦什砂岩含矿层位的厚度; 5. 莫里森建造下部的厚度; 6. 河床沉积层的厚度; 7. 河床沉积层与泛滥沉积层厚度的比例关系; 8. 河床沉积层厚度的平均偏差; 9. 含矿砂岩顆粒大小的平均平方差的对数; 10. 河床沉积层的厚度与莫里森建造下部总厚度之比例关系。

表 1 对索尔特瓦什层中矿石分布規律性的統計分析所选择的因素

因 素	組			
	0	1	2	3
1. 距搬运来源的距离, 哩	0—150	150—200	200—250	250 以上
2. 距侵入体的距离, 哩	0—30	30—60	60—90	90 以上
3. 布拉舍-別依新分层的厚度, 呎	0	0—150	150—300	300 以上
4. 索尔特瓦什层的厚度, 呎	0	0—200	200—400	400 以上
5. 莫里森建造下部的厚度, 呎	0	0—200	200—400	400 以上
6. 河床沉积层的厚度, 呎	0	0—150	150—300	300 以上
7. 河床沉积层与泛滥沉积层厚度的比例关系	0	0—1.5	1.5—3.0	3.0 以上
8. 河床沉积层厚度的平均偏差, %	0	0—10	10—20	20 以上
9. 顆粒大小的平均平方差的对数	0—1.0	1.0—1.1	1.1—1.2	1.2 以上
10. 河床沉积层在莫里森建造下部中所占的百分比	0	0—30	30—60	60 以上

所列举的因素是根据科罗拉多高原矿石成因的三种主要假說选择的, 这三种假說为: 沉积同生說 (因素 1), 热液說 (因素 2) 和淋滤說 (因素 3—10)。說明每一因素的值分成四組 (表 1)。

等值綫图均用座标网划分成方格, 每一方格的纵横方向綫之长各为五哩。每一方格里都测定了这十个参数以及总金属儲量 (短吨)。根据这些資料, 将全部方格均分別列属下列各組: 0 組 (无儲量), 1 組 (0—100 短吨), 2 組 (100—1000 短吨), 3 組 (1000—10000 短吨), 4 組 (>10000 短吨)。根据測定結果編制了表格, 并将每一儲量組的資料均列于表中。

下表 (表 2) 中所列数字为 4 組和 3 組所測得的結果。

表 2 具有不同地質特征的面积所占的比例 (%)

因 素	4 組的总金屬儲量				3 組的总金屬儲量			
	因 素 組							
	3	2	1	0	3	2	1	0
1	2	3	4	5	6	7	8	9
距搬运来源的距离	33.3	50.0	16.7	—	3.7	92.6	3.7	—
距侵入体的距离	—	41.7	58.3	—	—	74.1	25.9	—
布拉舍-別依新分层的厚度	83.4	8.3	8.3	—	88.9	11.1	—	—
索尔特瓦什层的厚度	—	83.4	16.6	—	—	92.6	7.4	—
莫里森建造下部的厚度	—	100	—	—	—	100	—	—
河床沉积层的厚度	—	66.7	33.3	—	—	59.3	40.7	—
河床沉积层与泛滥沉积层厚度的比例关系	—	25.0	75.0	—	—	—	100	—
河床沉积层厚度平均偏差的百分比	8.3	33.3	58.4	—	8.7	74.1	22.2	—
顆粒大小的平均平方差的对数	8.3	—	41.6	50.0	11.1	7.4	25.9	55.6
河床沉积层在莫里森建造下部中所占的百分比	16.6	83.4	—	—	7.4	92.6	—	—

說明每一地質因素的值与金属儲量各組的对比方法如表 3 所示。每一垂直栏內的五个数字均为指

1) R. Bates. Econ. Geol., 54, No. 3, 449 (1959).

表 3 河床沉积层不同厚度的面积所占的比例(%)

儲量組	因 素 組			
	0	1	2	3
4 [5]	—	33.3 [1]	66.7 [5]	— [1, 5]
3 [4]	—	40.7 [2]	59.3 [4]	— [2, 4]
2 [3]	—	59.3 [3]	37.0 [3]	3.7 [3]
1 [2]	—	66.7 [5]	22.2 [1]	11.1 [5]
0 [1]	—	61.2 [4]	29.2 [2]	9.2 [4]

数,由 1 (最小的值)至 5 (最大的值)(方括号内的数字)。对比系数按下式计算:

$$Q = 1.00 - \frac{6 \sum_{i=1}^n d_i^2}{n(n^2 - 1)}$$

式中

$\sum d_i^2$ ——儲量組的指数和与其相应的地质因素指数之間平方差的总合;

n ——全部被测定项目的数量。

1 組对比系数的计算举例如下(见表 3):

儲量組的指数 5 4 3 2 1

第一因素組的指数 1 2 3 5 4

d_i 4 2 0 -3 -3

d_i^2 1 6 4 0 9 9

由此, $\sum d_i^2 = 38$ 。将求得的值代入下式即得:

$$Q = 1.00 - \frac{6(38)}{5(25-1)} = 1.00 - 1.90 = -0.90$$

各組和所有地质因素的对比系数计算结果列于表 4 中。

表 4 经过统计分析的地质因素对比系数

因 素	組						
	0	1	2	3	0-1	1-2	2-3
1	2	3	4	5	6	7	8
距搬运来源的距离	—	0.30	0.40	0	—	—	0.70
距侵入体的距离	—	0.20	0.30	—	—	—	—
布拉舍-别依新分层的厚度	—	—	-0.70	0.80	—	—	—
河床沉积层的厚度	—	0.90	0.90	-0.80	—	0.90	0.90
索尔特瓦什层的厚度	—	-0.30	0.80	-0.70	—	0.90	0.30
莫里森建造下部的厚度	—	0	0.90	-0.90	—	0.80	—
河床沉积层与泛湖沉积厚度的比例关系	—	0	0	—	—	—	—
河床沉积层厚度的平均偏差	—	0.20	0	-0.10	—	0.10	-0.10
颗粒大小平均平方差的对数	0.50	0.50	-0.90	-0.10	1.00	-0.60	-1.00
河床沉积层在莫里森建造下部中所占的百分比	—	—	0.90	-0.60	—	0.50	—
			0.80	-0.50		0.60	

对确定了正或反比关系(Q 等于10—0.9或—1.0—0.9)的因素经过了较详细的分析,并划分了6—13組。結果确定,对鈾少化最有利的是下列范围:

河床沉积层的厚度,呎 100—400

索尔特瓦什层的厚度,呎 50—400

莫里森建造下部的厚度,呎 250以上

含小砂岩颗粒大小的平均平方差

对数 小于1.1

河床沉积层在莫里森建造下部中所占的百分比 40—60

根据统计分析結果,圈出了許多可能含鈾的面积,然后将 1944 年以后所发现的鈾矿床填到了图上,其中有 78% 左右的矿床是分布在所圈出的远景区范围内。

簡 訊

澳大利亚 在拉基烏姆-赫爾(Раднум-хилл)矿产地750米深处,发现有质量高的鈾矿。証实,在这个矿区的最深处含有鈾矿石。

奥地利 国际原子能事业局秘书长柯烏尔(Коул)宣布,1960年9月6—17日将在哥本哈根召开在科学和工业上应用放射性同位素的会议。估计,出席会议的有国际原子能事业局成员国的500多个科学家。

上一届放射性同位素大会是1957年9月在巴黎召开的。当时的大会是由尤涅斯克(Юнеско)組織的。哥本哈根大会是国际原子能事业局和尤涅斯克共同筹备的。

奥地利 成立了“奥地利原子核燃料”(Аустро-кематом Кербренштоф)新公司,它将进行原子核燃料的研究和制定奥地利发展原子核动力的计划。

阿根廷 估计,薩里特(Сальт)省的鈾矿儲藏量为20万吨,其氧化鈾的含量达0.1%。估计,在本省将建造矿石加工工厂。

目前在門多薩,圣路易和拉里欧哈諸省的20万平方公里的面积上正在进行地质研究。以上諸省的鈾矿儲藏量估计为30万吨。

阿根廷 在訥烏肯省正式发现拉普里麦尔(Ла-примера)鈾矿。

巴西 原子能委员会正在研究在本国建造功率为15万瓩的原子能发电站的问题。

英国 估计,将开始建造一座快中子增殖反应堆,其热功率为80万瓩,电功率为20万瓩—30万瓩。这个反应堆是唐宁改进型的反应堆。为了供这一新型反应堆用,计划建造“斑馬”临界装置(零功率增殖反应堆的装置)。

英国 在1957年因事故停堆的溫茨凱尔反应堆№2的鼓风机厂房里,将建造释热元件实验室。这个实验室的设备,在一年左右将处理实验性反应堆和动力反应堆的几千个释热元件。在这个实验室将进行一下工作:释热元件的表面观测和伦琴射线照相检查,释热元件外壳没有破坏的燃料棒的分类和提炼,燃料大小和密度的变化以及外壳和燃料棒的冶金研究。释热元件的全部工作都利用机械手来进行。实验室的造价为1百万英镑。

英国 估计,国内发展原子核动力的计划,将从600万瓩縮小到300—400万瓩。

计划建造在薩依祖耶尔(Сайзуелл)的英国第七个原子能发电站的功率将从原先預計的65万瓩降低到55万瓩。估计,这个电站的造价为1亿7千万美元至1亿8千万美元。计划1965年建成。

加拿大 “电气工业联合”公司签订了一个制造功率20万瓩的透平发电机的合同,以供正在休伦湖岸建造的加拿大第一个原子能发电站采用。透平发电机的大概造价为4百万美元。该电站将于1964年年底或者1965年年初投入生产。

加拿大 由于鐳淀港的鈾矿已开采竭尽,所以加拿大的这个老矿山将于1960年停止生产,但是,在美德韦尔羣島还将进行普查工作。“艾尔拉多矿冶精炼”公司于1960年为普查工作拨款50万美元。

美国 原子能委员会在原子核动力方面的十年工作计划里,确定了原子能发电站的经济生产电能的费用约为180—200百万美元。

可以预期,正如原子能委员会所指出,某些类型的原子核反应堆可以与美国一些普通燃料昂贵地区的一般动力装置相比。

目前原子能委员会和私人公司正在建造或者同意建造的不同类型的原子核动力装置共有25个。这些装置应在1964年前运转,其总功率约1百万瓩。

法国 在巴黎附近的方杰涅阿罗茲(Фонтене-о-Роз)建造一个根据“磁鏡”原理而制的热核实验装置。

法国 在巴黎附近的核聚变实验室設計了第一架质子显微镜。

在这架新型的显微镜上采用质子束,质子束与电子显微镜的电子束相比具有一些缺点。尽管电子波长很小,但是实际上还不能校正与孔径差有关的电子聚焦稜鏡。必須把电子束源的孔径縮小到1/10°角度这样就首先引起衍射誤差。这些因素限制着电子显微镜的分辨能力,在最好的情况下其分辨能力达6 Å。

由于质子的质量相当大,质子束的理論光孔径要比电子束的孔径小二分之一还多。电子的最小象差约为16 Å,而质子的最小象差为1 Å。这些数据成为制造质子显微镜的理論基础。在理想的情况下,质子显微镜的分辨能力要比电子显微镜大六倍。

此装置基于电子静电原理。利用超高频发生器来形成被电离氢的等离子体,当电压50万伏时质子

由等离子体而加速,形成质子束。目前,获得的分辨能力为 20 \AA 。

法国 命名为别卡斯 (Percas) 的游泳池型反应堆将由法国供给突尼斯。

法属赤道非洲 «Компания де майн дураннум де франсевил» 公司的经理里尼也里宣布,莫乌南地区 (Габон) 的铀矿储藏量为 2 千万吨,而钍储藏量为

4—5 千吨。1961 年初在这个矿藏地将建成一个矿石加工厂,含有 10—20% 的富集氧化铀将运至法国。

德意志联邦共和国,国内设计和建造的第一个研究性反应堆 FR-2 (卡尔斯鲁厄) 于 1960 年底达到临界状态。这个堆比原计划几乎推迟一年左右。反应堆起动日期的拖延是由于活性区某些另件制作得不好而作废所致。

新 書 介 紹

最 新 文 獻

書籍和論文集

他們建造了原子破冰船

不久前，世界上第一艘蘇聯“列寧”號原子破冰船開始運轉了。在題為“列寧”號原子破冰船是怎樣建成的¹⁾ 一本篇幅不大的通俗讀物中詳盡地敘述了破冰船建造者的生活和船本身的試驗情況。

該書的優點在於，它系根據破冰船建造過程中的“最新形迹”由工程直接參加者寫成的。

作者敘述了蘇聯決定建造原子破冰船的原因和目的，並將該船和普通破冰船作了比較。

原子破冰船的航程海域實際上是無限的。它一次航行能遊遍北極或南極沿岸。

負責建造原子破冰船的列寧格勒海軍造船廠職工擁有建造各種船舶的豐富經驗。然而，建造原子破冰船須要解決許多複雜的技術問題，需要更加完善的工藝工程和新的勞動方法。作者敘述了在造船過程中所產生的各種困難及其被克服的經過。

破冰船外殼是按新的光學方法划樣的。為了使破冰船外殼下水，蘇聯在造船實踐中破天荒地採用了木質球狀旋轉裝置，從而節約了一百多萬盧布。

作者介紹了破冰船結構、艙房分布和原子能發動機的結構及工作狀況。

儘管如此，作者主要的注意力還是集中在人——破冰船建造者——的身上。書中生動地描述了蘇聯原子破冰艦隊初生子的建造者的勞動熱情和生活艱苦以及各生產隊和工程技術人員在該船建造過程中所作的豐功偉績。

日內瓦半月 費德羅夫(Федоров В.)著。莫斯科，原子能出版社，1960年，80頁，1盧布15戈比。

本書系第二屆和平利用原子能國際會議的參加者費德羅夫(Федоров В.)所著。他向廣大讀者介紹了會議所討論的各主要問題：蘇美兩國試圖解決熱核問題的途徑；自世界上第一座蘇聯原子能電站運轉起，三年來世界上又出現了哪些原子能電站，與各國所舉行的科學技術展覽會上有哪些展覽品等。書

中附有各種圖表和照片。

鈾礦產地 [康斯坦丁諾夫(Константинов М. М.)、庫利柯娃(Куликова Е. Я.)合著。莫斯科，原子能出版社，1960年，306頁，15盧布20戈比。

書中系統地介紹了世界各國的鈾礦產地和鈾礦，論述了地質結構和礦床成因的基本特徵，以及南北美、歐亞非五大洲各國的鈾礦產地和含鈾量。書中還引述了關於鈾礦形成理論狀態、地殼中鈾分布的基本規律、鈾礦產地、有效品位和世界各國原料基地的狀況等資料。

本書適用於科學研究人員、工程技術人員和經濟工作人員。對於相應專業的大專師生，它也是有益的讀物。

輻射醫學 (大夫和大專學生的參考資料) 布爾納扎(Бурназян А. И.)、列別金斯基(Лебедневский А. В.)合編。莫斯科，原子能出版社，1960年，314頁，11盧布60戈比。

本書系統地論述了輻射生物學和輻射醫學的基礎，研究了輻射對生物機體的各种作用機能、人體和生物各種射綫病的發病原理、臨床診斷和治療，特別還研究了因放射性物質進入機體而引起的射綫損傷。有一章是專門討論物理學和劑量學問題。

本書材料精確，語言淺顯，不僅可以作為大夫和大專生日用手冊，而且還可作為從事輻射防護工作的工程技術人員的參考資料。

偏心式旋轉離生器中氣溶膠的離心作用 普列契斯吉斯基(Пречистенский С. А.)著。莫斯科，原子能出版社，1960年，144頁，4盧布20戈比。

本書研究了新型偏心式旋轉離生器中氣溶膠離心作用的理論基礎，闡述了結構問題，列舉了各種工藝過程的試驗數據。該書適用於從事氣溶膠分離工作的工程設計人員和研究人員。

關於物理學、機械學和應用數學的現代外國文

1) “列寧”號原子破冰船是怎樣建成的。列寧格勒，造船工業出版社，1959年，64頁，1盧布25戈比。契爾諾烏斯卡。

献 古賽夫(Гусев А. А.)著。莫斯科,原子能出版社。1959年,72頁,2卢布30戈比。

本书对 1952—1958 年期间外国出版的关于物理学、机械学和应用数学等方面的书籍作了极简要的论述和推荐。

在其它书籍中还研究了原子核物理和反应堆物理、原子核工程方面的专题文集,以及有关该项科学技术方面的各种通俗读物、外语字典和辞典等。

中子徙迁理論(譯自英文) 德維遜(Дэвисон B.)著。莫斯科,原子能出版社。1960年,400頁,24卢布80戈比。

本书中系统地叙述了目前外国用以解决中子在各种介质中扩散问题的诸类方法。

第一部分论述了中子动能方程式的解,并研究了它的最一般特性。

第二部分论述了描写单能中子徙迁的动能方程式的解。

第三部分研究了中子空间能量分布问题。

第四部分研究了中子不断减速问题。

在计算各种反应堆时,在解决有关中子徙迁的中子物理问题时,以及在研究某些天文物理问题时,可以运用本书中所叙述的方法。其中某些方法是首次公布,某些方法以往虽已公布,但不够完整。

本书适用于业已掌握数学物理方法基础的读者、从事原子核物理和原子核动力工作的工程师和物理专家,以及相应专业的研究生和大学生。

辐射防护技术中的混凝土(譯自德文) 艾盖尔(Erep T.)著。莫斯科,原子能出版社。1960年,92頁,4卢布。

本书系作者于 1957—1958 年期间在“原子核动力”杂志上所发表的数篇论文汇编。书中大部分论文是关于辐射与物质相互作用的原则性问题和各种几何形态防护层的计算问题。为了说明防护层的计算方法,作者通常引用混凝土防护层的计算例子。

书中还收集了大量的防护混凝土的具体资料,不仅列述了混凝土的成分、特性及其制备方法,而且还举出若干计算混凝土防护层和热应力的例子。书中详尽地论述了用混凝土作防护层的各种特点等等。

该论文集有益于从事原子核反应堆防护工作的专家。

热室及其设备 美国第六届热室会议资料(譯自英文)技术科学副博士普拉夫久克(Н. Ф. Правдюк)和亚柯夫列夫(Г. Н. Яковлев)合编。莫斯科,原子能出版社。1960年,338頁,15卢布10戈比。

本书中包括在美国第六届热室会议(1958年3月19—21日召开)上提出的44篇报告,其中大部分报告是论述美国的热室,仅寥寥几篇谈到西欧研究中心的热室。对各种设备作了极为广泛的研究。

本书论述清楚,可供广大工程技术人员、金相专家、化学专家和生物专家阅读。

Nuclear Ship Propulsion(原子船) Crouch H. 著。Cambridge, Cornell Maritime Press. 1960年,374頁。

利用原子能发动远洋轮船事业的迅速发展已成为当代举世瞩目的事实。本书的任务就在于宣传利用原子远洋轮船的优越性。

若按叙述的性质,本书属于通俗读物之列,但是,它同时又是外国出版的、第一本系统地论述关于在轮船上利用原子能的专题文集。在外国科学技术杂志中,关于这一问题目前正在进行着相当广泛的讨论。作者利用了已发表的资料,同时特别注意已形成的和提出的各种明显的论点,并通过描述最适宜在轮船原子动力方面应用的现有各种反应堆和对业已设计的原子船经济研究的结果加以证实。

作者详细地描述了美国第一艘客货轮“薩瓦納”号。该船拟于1960年六七月间建成。在讨论于轮船上利用原子能的各种观点过程中,作者不止一次地引用了该船的资料。

由于本书目的在于扩大对轮船原子动力感兴趣的读者范围,书中列举了某些有关外国客货轮的有趣的资料。为了说明原子船的潜在优越性,作者对原子船和航行于欧美之间的最大客船作了比较。总的说来,作者对于原子船在商业上是否合算问题给以很大的注意。

本书对于原子核反应堆物理、反应堆计算方法、结构材料和原子核燃料等问题作了一般性叙述。

在讨论由反应堆中释放出的热能变成电能的循环时,作者赞成采用在反应堆中受热的气体直接在气轮机中利用的循环。作者认为,对于在轮船上利用而言,这种原子动力装置是最有前途的。

本书的优点在于其中研究了利用原子船的许多主要论点。譬如,书中阐述了轮船反应堆的辐射防护、生物安全、燃料装卸和供应,以及原子船在港内运动等问题。虽然对这些问题的叙述极为一般,但它们足以使读者对原子客货船运转的这个专门问题有一相当清晰的了解。

没有对世界上第一艘现行的民用原子船——苏联“列宁”号原子破冰船作任何描写,虽然有关该船在文献中已有相当详细的叙述,这是本书的缺点,从

而使本书減色不小,残缺不全。作者在描述反应堆的假想結構綫路和燃料迴路时着墨过多,亦可认为是作者的失笔之处。

本书装帧精致,論述清楚。总的說来,对于广大讀者,特别是对于与海上运输有关的讀者而言,它是一本有益的讀物。

外国原子技术 № 5 (1960).

論文集的第一篇文章是評論,它簡略地論述了1959年度世界各国在发展原子核动力方面所进行的工作。第二篇文章是关于英国正在建造的某座最大的原子能电站。

第三、四两篇文章是关于原子核反应堆在火箭中的利用問題。文中研究了作为地球人造卫星电源用的精密装置 SNAP-11,列举了带原子核发动机的火箭的各种数据,并对化学燃料火箭、鈾燃料火箭和鈾燃料火箭的各种指标作了比較。

第五篇文章描述了国立阿貢實驗室制备鈾释热元件的实驗工厂。

卡恩利 (P. Коннэлл) 的文章描述了供鈾溶液實驗室分析用的 γ 射綫吸收检测器。該仪表的特点是检测精度高。

密斯列尔 (P. Меслер) 在文章中提出:借助他所提出的图表,能簡便而快速地估計出中子活化程度。該篇論文具有实践意义。

本集最后一篇文章扼要地敘述了对氦穿透聚氯乙稀防护外衣研究的結果。所获得的資料可供确定在氦染污的空气中若身着防护外衣允許逗留的时间。

期 刊 論 文

I. ФИЗИКА ЯДЕРНОЙ ЭНЕРГЕТИКИ

Докл. АН СССР, 130, № 2 (1960)

Черковников Ю. А., 295—298. К вопросу о конвекционной неустойчивости плазмы.

Ж. техн. физ., XXX, вып. 1 (1960)

Денисов С. Г. и др., 31—36. Исследование распределения электронов в вакуумной камере бетатрона.

Михеева Г. Ф., Чернов Н. Н., 37—40. Стабилизация интенсивности γ -излучения бетатронов и синхротронов.

Пивовар Л. И. и др., 74—81. Компактный электростатический ускоритель на 1.5 Мэв.

Воскобойников Г. М., 90—95. К вопросу о точности и границах применимости диффузионного приближения решения задач о распространении γ -лучей.

Ж. эксперим. и теор. физ., 38, вып. 1 (1960)

Загороднов О. Г. и др., 7—9. Об отражении электромагнитных волн от плазмы, движущейся в волноводах медленных волн.

Фогель Я. М. и др., 26—32. Захват и потеря электрона при столкновениях быстрых атомов He, V, и F с молекулами газов.

Флеров Г. Н. и др., 82—94. Опыты по получению 102-го элемента.

Струтинский В. М., 122—133. Возбуждение вибрационных уровней и кулоновское возбуждение при α -распаде.

Некрасов Ф. М., 233—238. К нелинейной теории стационарных процессов в электронной плазме.

Тарантия Н. И., 250—252. Конкуренция между процессами испарения нейтронов и деления в реакциях взаимодействия многозарядных ионов с тяжелыми ядрами.

Степанов К. Н., 265—267. О циклотронном поглощении электромагнитных волн в плазме.

Обухов А. И., 271—274. Об асимметрии деления ядер урана при высоких энергиях протонов.

Власов Н. А. и др., 280—282. Реакция (d, t) на средних и тяжелых ядрах.

Лейпунский О. И., 302—304. О возможном магнитном эффекте при высотных взрывах атомных бомб.

Учен. зап. Тартуского ун-та, вып. 74 (1959)

Лембра Ю. Я., 96—99. К выбору параметров секторного циклотрона.

Лембра Ю. Я., 100—111. Вывод приближенной формулы для Q в секторном циклотроне.

Электричество, № 1 (1960)

Гашев М. А. и др., 6—10. Система питания электромагнита синхрофазотрона Объединенного института ядерных исследований.

Amer. J. Phys., 27, № 9 (1960)

Livingston M., 626—629. Развитие ускорителей заряженных частиц.

Energia Nucl., 7, N. 1 (1960)

Fasana A., 1—10. Метод измерения продольной поляризации β -частиц и круговая поляризация γ -излучения.

Bacchella G., 11—22. Современное состояние и перспективы развития дифракции нейтронов.

Felcher G. et al., 31—38. Абсолютная калибровка (Ra—Be)-источника нейтронов.

Helv. phys. acta, XXXII, № 6/7 (1959)

Chauvy D., Rossel J., 481—485. Спектр люминесценции CsI.

Industries Atomiques, III, № 11—12 (1959)

Béné G., 37—51. Определение ядерных моментов.

Kernteknik, 2, N. 1 (1960)

Kamke D., 15—19. Каскадный ускоритель. II. Ионные источники.

Nucl. Energy, 14, № 141 (1960)

Wilkins J., Egginton A., 57—61. «Нимрод» — британский синхрофазотрон на 7 Бэв.

Nucl. Sci. and Engng, 6, № 5 (1960)

Gunst S., 376—378. Реактивность Np^{239} в облученной двуокиси природного урана.

Bigham C., 379—385. Температурная зависимость сечений деления Pu^{239} , U^{235} и U^{238} .

Safford G. et al., 433—440. Точное определение полного сечения урана-235 в интервале энергий от 0,000818 до 0,0818 эв.

Arnold W., 456—457. Возраст нейтронов в смесях D_2O — H_2O .

Hansen R. et al., 458—460. Некоторые вопросы исследования смесей воды и окислов урана.

II. ЯДЕРНАЯ ЭНЕРГЕТИКА

Изв. АН СССР. Отд. техн. наук. Энергетика и автоматика, № 6 (1959)

— — 196—197. Член-корреспондент АН СССР.

Н. А. Доллежалъ (Специалист в области атомной энергетики. К 60-летию со дня рождения).

Иж.-физ. ж., 2, № 12 (1959)

Коченов И. С., 64—67. К тепловому расчету рабочего канала ядерного реактора.

Мучник Л. Н., 105—109. Упрощенный метод теплового расчета реактора с водой под давлением.

Природа, № 12 (1959)

Климов Ю. И., 35—40. Атомный ледокол.

Atomkernenergie, 5, H. 1 (1960)

Balz W., Schwarzwälder R., 1—6. Расчет циркуляции теплоносителя в кипящем реакторе. II.

Angelopoulos M., 7—9. Определение с помощью многогрупповой теории критического состояния цилиндрического гетерогенного реактора без отражателя.

Kattwinkel W., 9—13. Вычисление потока быстрых и тепловых нейтронов, возникающих на поверхности цилиндрических контейнеров вследствие индуцируемой в воде радиоактивности N^{17} .

Jaeger T., 15—18. Защитные оболочки энергетических реакторов.

Bühler H., Schmidt F., 18—22. Теплопередача от нагретых твердых тел жидкостям с образованием пара и учетом условий течения.

Atompraxis, 6, H. 1 (1960)

Smets H., 1—3. Передаточная функция реакторов с бериллиевым замедлителем.

Schludi H., 3—7. Исследование реактора с тяжеловодным замедлителем и теплоносителем и тяжеловодного реактора с теплоносителем CO_2 .

Atomwirtschaft, 5, H. 1 (1960)

Hepburn W., Specht D., 9—13. Сравнительная оценка четырех типов реакторов с точки зрения применения их на судах.

Hardung-Hardung H., 14—16. Проблемы использования горючего в судовых ядерных реакторах.

Ende W., 17—21. Проектирование и сооружение исследовательских реакторов.

Kourim G., 22—27. Влияние температуры на динамику реактора. (II).

Energia Nucl., 7, N. 1 (1960)

Lo Surdo C., 39—52. Использование метода сферических гармоник при групповом исследовании уравнения переноса.

Industries Atomiques, III, № 11—12 (1959)

Lazareff V., 75—78. Требования, предъявляемые к расположению атомных электростанций.

Sevette P., 79—85. Роль атомной энергии в энергетическом балансе будущего.

— — 88—91. Ядерный реактор в Халлене.

Jaderná Energie, 6, № 2 (1960)

Servit R., 37—45. Реакторные баки высокого давления из предварительно напряженного бетона.

Vorlicek J., Seifert V., 46—49. Коррозионная устойчивость металлов в органических теплоносителях.

Elemark J., Panūr M., 50—52. Тяжелые и гидратные бетоны. Их состав и применение.

Kernenergie, 3, H. 1 (1960)

Meyer K., Griepentrog E., 1—13. Схема расчета выгорания в тепловых реакторах с жестким спектром. III.

Maigulowa T., 23—37. Теплотехнические методы рациональной организации водного режима атомных электростанций.

Nucl. Energy, 14, № 141 (1960)

— — 62—64. Усовершенствованные системы водяных реакторов. II.

Bowden A., Drumm J., 69—73. Проектирование больших газопроводов.

Lottes P. et al., 74—77. Экспериментальное изучение естественной циркуляции воды в кипящем реакторе.

Nucl. Engng, 5, № 45 (1960)

Campbell K., 53—57. Опыт эксплуатации реактора с органическим замедлителем.

Wyatt O., 64—66. Тепловыделяющие элементы для реакторов с органическим замедлителем.

Weisner E., 68—71. Конструкция реактора с органическим замедлителем в г. Пикуа.

Berman R., 72—74. Экономика больших реакторов с органическим замедлителем.

Nucl. Power, 5, № 46 (1959)

Lockett G., Huddle R., 112—117. Разработка и конструирование высокотемпературного реактора «Драгон» с газовым охлаждением.

Nucl. Power, 5, № 46 (1960)

Hillier M., 128—130. Термические напряжения в элементах реактора, вызываемые γ -излучением.

Spinney K., 134—137. Расчет защиты ядерного реактора.

Nucl. Sci. and Engng, 6, № 5 (1960)

Schechter R., Wissler E., 371—375. Теплопере-

дача к пластмассе в ламинарном потоке через кольцевые трубы с внутренним источником тепла.

George R., 409—413. Упрощенное моделирование энергетической установки с ядерным реактором.

Velez C., 414—419. Автокорреляционные функции счета в ядерных реакторах.

Wigner E., 420—432. Новые идеи в реакторостроении.

Stoughton R. et al., 441—447. Эффективная энергия кадмиевой границы.

Moore M., 448—452. Передаточная функция колебаний мощности в реакторе.

Gelbard E., Pearson J., 453—455. Разделение пространственного и энергетического изменений потока тепловых нейтронов в диффузионной среде.

Hasnain S., Murray R., 455—456. Пригодность β -метода для анализа цикла горючего.

Bigham C., Pearce R., 457—458. Спектр замедления нейтронов в гетерогенном реакторе.

Nucl. Sci. and Engng., 6, № 6 (1959)

Corben H., 461—465. Передаточная функция реактора нулевой мощности.

Stone R., Slovacek R., 466—474. Измерения спектров нейтронов.

Kofink W., 475—486. Полное решение уравнения Больцмана в цилиндрической геометрии методом сферических гармоник для случая движения нейтронов в однородной среде.

Gardner G., 487—492. Ударный захват осколков деления частицами суспензии ThO_2 .

Foderaro A., 514—524. Использование последовательных приближений для определения групповых лапласианов в многогрупповом решении кинетического уравнения.

Uhrig R., 530—532. Измерения материального параметра в подкритической сборке.

Holzer F., Crouch M., 545—553. Эксперименты по определению среднего времени жизни тепловых нейтронов.

Nucleonics, 18, № 2 (1960)

Ergen W., 60, 62—63. О сроках внедрения расширенного воспроизводства ядерного горючего.

Zebroski E., 61—66, 87. Экономические предпосылки расширенного воспроизводства ядерного горючего.

Dickey D., McEwen J., 88, 90, 92—95. Применение счетной линейки для вычисления накопления ксенона.

Ruhl H., 96. Перегрузка горячей сборки при внутрикотловых испытаниях.

Nukleonik, 2, H. 1, (1960)

Matthes W., 21—30. Определение методом Монте-Карло фермиевского возраста нейтронов и коэффициента утечки для гетерогенного водного реактора.

Blässer G., 31—36. Резонансный захват нейтро-

нов при расположении тепловыделяющих элементов в сложных сборках.

Necht K., 37—38. Опыты на модели загрязнения ксеноном ядерных реакторов.

Dužek H., 38—39. Критерий для определения реакторных областей с положительным и отрицательным коэффициентами пустоты.

III. ЯДЕРНОЕ ГОРЮЧЕЕ И МАТЕРИАЛЫ

Геол. рудн. месторождений, № 6 (1959)

Бетехтин А. Г., 5—26. Об экзогенных процессах образования урановых месторождений.

Данчев В. И. и др., 27—38. Об урановом оруденении в карбонатных осадочных породах.

Пелымский Г. А., 39—51. О влиянии вмещающих пород на процессы рудоотложения в гидротермальных месторождениях урана.

Докл. АН СССР, 129, № 5 (1959)

Старик И. Е. и др., 1142—1145. Распределение радиоэлементов в осадках Черного моря.

Ж. неорганич. хим., 4, вып. 12 (1959)

Гельман А. Д., Зайцев Л. М., 2683—2696. Простые и комплексные карбонатные соединения плутония (IV).

Клыгин А. Е. и др., 2766—2771. Растворимость в аммиаке и соляной кислоте этилендиаминтетрауксусной кислоты и взаимодействие ее с ураном (IV) и плутонием (IV).

Соловкин А. С. и др., 2826—2827. Экстракция перхлората плутония (IV) три-н-бутилфосфатом.

Ж. общей хим., 29, вып. 12 (1959)

Гершкович Ж. и др., 4097—4099. Новый метод получения радиоактивных эталонов для C^{14} . Зап. Всесоюз. минералогич. о-ва, ч. 88, вып. 6 (1959)

Лебедев В. И., 667—671. О причинах окисления урана в уранинитах.

Изв. АН Киргиз. ССР, серия естеств. и техн. наук, 2, вып. 1 (1960)

Жильцов А. Г., Чалов П. И., 109—116. Распределение урана и тория в породах кенкольского плутона.

Изв. АН СССР, серия геофиз., № 12 (1959)

Тимофеев А. Н., 1873—1875. К теории гамма-разведки.

Природа, № 12 (1959)

Шарков Ю. В., 13—21. Поиски месторождений атомного сырья.

Радиохимия, 1, вып. 6 (1959)

Ипполитова Е. А. и др., 660—664. Исследование в области химии уранатов некоторых двухвалентных элементов.

Княгинина В. Г., Немкова О. Г., 665—667. Изучение труднорастворимых соединений урана с кислотами фосфора низших валентностей.

Физика металлов и металловед., 8, вып. 6 (1959)

Заливадный С. Я., Михайловский Б. М., 904—907. Влияние циклической термообработки на бикристаллы урана

Atompraxis, 6, N. 1 (1960)

Crane W., 12—15. Будущее актинидов.

Canad. J. Chem., 38, N. 1 (1960)

Woods R., Spinks J., 77—93. Радиолитический анализ некоторых органических галоидопроизводных в водном растворе.

Chem. and Process Engng, 41, N. 1 (1960)

Eriksson B., 5—7. Шведский процесс производства тяжелой воды, основанный на двухтемпературном изотопном обмене сероводорода и воды.

Chem. and Process Engng, 41, N. 2 (1960)

Paulsen F., 49—52. Керамика и керметы для ядерного горючего

Eriksson B., 53—57. Шведский процесс производства тяжелой воды. 2.

Energia Nucl., 7, N. 1 (1960)

Cerrai E., Testa C., 53—54. Калориметрическое определение гафния и циркония в их смеси.

Industr. Chemist, 36, N. 420 (1960)

— 80—82. Обработка концентратов урановой руды и регенерация отходов на заводе в Спрингфилде.

J. Appl. Phys., 30, N. 12 (1959)

Hunter L., 1969—1975. Влияние осколков деления на теплопроводность графита.

J. Nucl. Materials, 1, N. 4 (1959)

Greenwood G. et al., 305—324. Роль вакансий и дислокаций в образовании зародышей и росте газовых пузырьков в облученном делящемся материале.

Calais D. et al., 325—344. Влияние механизма деформации на рекристаллизацию растянутых монокристаллов урана.

Smith M., Honeycombe R., 345—355. Влияние кислорода, углерода и азота на свойства спеченного тория.

Cabane G., Donzé G., 364—373. Стабилизация γ -фазы в тройных сплавах на основе системы уран—молибден.

Britton C., Wilkins N., 374—376. Местная проникающая коррозия сплава спеченного алюминия порошка в паре при высокой температуре.

Kerntechnik, 2, N. 1 (1960)

Zander K., 28—29. Регулирующее устройство для выпаривания радиоактивных жидкостей на мишенях.

Nucl. Energy, 14, N. 141 (1960)

— 65—68. Исследование и производство новых металлов.

Nucl. Engng, 5, N. 45 (1960)

— 49—52. Уран; его запасы, производство и рынок.

— 59—60. Радиолитический анализ различных органических жидкостей.

Scrivins J., 61—63. Применение терфенила

в качестве замедлителя и теплоносителя для ядерных реакторов.

Baxter S., Churchill J., 67. Использование полифенилов в качестве замедлителей и теплоносителей для ядерных реакторов в Великобритании.

Collins D., Woods J., 75—76. Горячая лаборатория в Даунри.

Nucl. Power, 5, N. 46 (1960)

Thayer V., 108—111. Производство тяжелой воды в США.

Cottrell A., 130—131. Радиационные повреждения в материалах.

— 140—141. Разработка технологии редких металлов для промышленности.

Nucl. Sci. and Engng, 6, N. 5 (1959)

Byron E. et al., 361—370. Покрyтие на титановой основе с диспергированным бором.

Smith C., 391—395. Свойства монокарбида урана.

Hungerford H. et al., 396—408. Новые защитные материалы, используемые при высоких температурах.

Nucl. Sci. and Engng, 6, N. 6 (1959)

Burris L. et al., 493—495. Рафинирование облученного урана переплавкой. Использование метода применительно к горючему быстрого реактора EBR-II. I. Введение.

Bernstein G. et al., 496—500. Рафинирование облученного урана переплавкой. II. Экспериментальные печи.

Hampson D. et al., 501—503. Рафинирование облученного урана переплавкой. III. Приготовление сплавов для экспериментов.

Rosen C. et al., 504—510. Рафинирование облученного урана переплавкой. IV. Взаимодействие урана и его сплавов с тугоплавкими окисями.

Bennett G., 511—513. Рафинирование облученного урана переплавкой. V. Извлечение делящегося вещества в слиток.

Dodge F. et al., 533—536. Регенерация ураноториевых сплавов во время переплавки.

Chernick J., Moore S., 537—544. Проблемы воспроизводства ядерного горючего в тепловых реакторах.

Nucleonics, 18, N. 2 (1960)

Rice W., Kirk D., 67—71. Стойкие к излучению жидкости и смазки.

Stevenson C., 72—73. Обработка горючего для энергетических реакторов. Планы Комиссии по атомной энергии США.

Phys. Rev. Letters, 3, N. 12 (1959)

Adam J., Cox B., 543—544. Воздействие нейтронов и осколков деления на структуру циркония.

IV. ЗАЩИТА ОТ ЯДЕРНЫХ ИЗЛУЧЕНИЙ

Биохимия, 24, вып. 6 (1959)

Терещенко О. Я. 1113—1115. Конференция по проблеме биохимических эффектов, вызываемых ионизирующей радиацией.

Гигиена труда и проф. заболевания, № 1 (1960)

Кушнев В. С., 22—28. Комбинированное действие кварцевой пыли и радона в эксперименте.

Бокова Г. Б., 49—50. Изучение поведения металлического тория и некоторых его соединений в различных средах.

Кристаллография, 4, вып. 6 (1959)

Беликова Г. С., Беляев Л. М., 929—930. Смешанные органические кристаллы для сцинтилляционных счетчиков.

Мед. радиология, 5, № 1 (1960)

Выховский А. В., 60—67. Основные вопросы гигиены труда при добыче радиоактивных минералов.

Агре А. Л., Корогодия В. И., 67—73. О распределении радиоактивных загрязнений в непрозрачном водоеме.

Тр. Н.-и. ин-та бетона и железобетона Акад. строительства и архитектуры СССР, вып. 11 (1959)

Десов А. Е., Надольский В. И., 69—108. Физико-технические свойства тяжелых бетонов, предназначенных для защиты от радиоактивных воздействий.

Energia Nucl. 7, № 1 (1960)

Gatti L. et al., 23—30. Измерение влияния пассивации на счетчики Гейгера—Мюллера с наполнением органическими веществами.

Industries Atomiques, III, № 9—10 (1959)

Gruget A., 116—118. Защита дыхательных путей.

Jaderná Energie, 6, № 2 (1960)

Behounek F., 53—61. Проблема удаления радиоактивных отходов в мировом масштабе.

Kerntechnik, 2, H. 1 (1960)

Oberhofer M., Kienle P., 20—27. Защита от излучения при работе у реакторов и на атомных предприятиях.

Nucl. Power, 5, № 46 (1960)

Wells F., 123—127. Электронные приборы для обнаружения радиации. 4. Многоканальные анализаторы.

Nucl. Sci. and Engng, 6, № 6 (1959)

Horton C., 525—529. Защита из спиральных каналов.

Nucleonics, 18, № 2 (1960)

Friedland S., Mayer J., 54—59. Миниатюрный линейный детектор излучений.

Murphy C., Hill J., 78—80. Обнаружение действия облучения на органические вещества методом дифференциального теплового анализа.

Gaskill J., Meadors O., 82. Полупроводниковый усилитель голоса для применения с респираторами.

торами.

Steinberg R., 85. Полупроводниковый счетчик делений.

Sewage and Industr. Wastes, 31, № 12 (1959)

Foster R., 1409—1415. Необходимость биологического контроля поверхностных вод, загрязненных радиоактивными отбросами.

V. РАДИОАКТИВНЫЕ И СТАБИЛЬНЫЕ ИЗОТОПЫ

Вестн. машиностроения, № 1 (1960)

Наденская Е. П., 62—67. Исследование износостойкости торцовых фрез при помощи радиоактивных изотопов.

Кондашевский В. В. и др., 67—70. Активный контроль деталей на шлифовальных станках с применением радиоизотопных датчиков.

Заводск. лаборатория, 25, № 12 (1959)

Магарик К. Н., Никольский С. С., 1512—1515. Автоматическая сцинтилляционная счетная установка для исследования износа механизмов.

Изв. АН СССР, Отд. техн. наук. Metallurgia и топливо, № 6 (1959)

Самарин А. М., Фомичев М. С., 121—126. Перспективы использования радиоактивных изотопов и ядерных излучений в металлургии и других технических науках.

Изв. высш. учеб. заведений. Машиностроение, № 5 (1959)

Воробьев А. А. и др., 195—202. Дефектоскопия изделий большой толщины с использованием бетатронов.

Изв. Тимирязевск. с.-х. акад., вып. 6 (1959)

Рачинский В. В., Платонов Ф. П., 239—250. Радиоизотопная лаборатория Тимирязевской академии.

Инж.-физ. ж., 2, № 12 (1959)

Жихарев Е. А., 112—115. Международная конференция по применению мощных источников радиации в промышленности.

Консервная и овощесушильная пром-сть, № 1 (1960)

Метинский Л. В., 29—33. Использование атомной энергии для круглогодичного хранения картофеля.

Народное хозяйство Узбекистана, № 12 (1959)

Якубджанов С., 56—58. Они покоряют атом. Сб. работ Н.-и. ин-та черной металлургии, 2 (1959)

Грузин П. Л. и др., 8—10. О применении радиоактивных изотопов в доменном производстве.

Техника в сел. хозяйстве, № 1 (1960)

Сраценяц Р., 65—70. Радиоактивные изотопы и научные исследования в области механизации.

Atompraxis, 6, H. 1 (1960)

Clark St., 8—11. Радиоактивные изотопы в качестве источников тепла.

- Industr. Chemist**, 36, № 419 (1960)
Hall G., 25—26, 37. Применение больших источников излучения в промышленности. Ч. 2.
- Industr. Chemist**, 36, № 420 (1960)
Hall G., 65—68. Применение больших источников излучения в промышленности. Ч. 3.
- J. Appl. Phys.**, 30, № 12 (1959)
Grover G. et al., 1861—1865. Характеристики плазменной термопары.
- Jablonski F. et al., 2017—2018. Нейтрализация пространственного заряда осколками деления в плазменном диоде, используемом для непосредственного превращения ядерной энергии в электрическую.
- Kernteknik**, 2, Н. 1 (1960)
- Wendt I., 1—9. Применение радиоизотопов в практической геологии.
- Nucl. Power**, 5, № 46 (1960)
Lakey J., 131—132. Исследования радиоактивности материалов методом бумажной хроматографии.
- — 139—140. Источники излучения для промышленности и научных исследований.
- Nucleonics**, 18, № 2 (1960)
Ellis R., 98—99. Источники гамма-излучения в СССР.
- Tunstall J., 100—104. Установка для облучения упакованных продуктов в Уонтидже.
- Eaton S., 105—107. Возможности промышленного применения излучений.

СОДЕРЖАНИЕ
СЕНТЯБРЬСКОГО ВЫПУСКА ЖУРНАЛА "АТОМНАЯ ЭНЕРГИЯ"
ЗА 1960 Г.

Статьи

- А. Н. Лебедев. О высокочастотном накоплении пучка в циклических усилителях
- Э. Длоугы. Измерение возраста нейтронов в графите импульсным методом
- П. Л. Кириллов, В. Д. Колесников, В. А. Кузнецов, Н. М. Турчин. Приборы для измерения давления, расхода и уровня расплавленных щелочных металлов
- С. Т. Конобеевский. О релаксации упругих напряжений под действием нейтронного облучения
- П. В. Прибытков. Основные принципы классификации промышленных урановых руд
- С. А. Вознесенский, Г. А. Серeda, Л. И. Басков, Е. В. Ткаченко, В. Ф. Багрецов. К вопросу по применению флотации при очистке радиоактивных сточных вод

Письма в Редакцию

- А. Р. Птияцын. К вопросу о нахождении пространственно-энергетического распределения нейтронов от плоского источника в бесконечной среде
- Н. А. Бургов, Г. В. Данилян, И. Я. Корольков, Р. Штерба. Спектр γ -лучей реактора ТВР
- С. Г. Тресвятский, В. И. Кушаковский, С. В. Белеванцев. Изучение систем $Al_2O_3-Sm_2O_3$ и $Al_2O_3-Gd_2O_3$
- В. Ф. Михайлов. Простой многоканальный амплитудный анализатор импульсов

НОВОСТИ НАУКИ И ТЕХНИКИ

БИБЛИОГРАФИЯ

征 求 譯 者 簡 約

1. 本編委会征求俄、英、德、法、日等文种的譯者，譯文內容包括原子能科学技术有关的資料和新聞报导。
2. 凡愿参加翻譯者請来信联系，注明真名、专业、翻譯文种、工作机关及詳細通信地址。
3. 凡向“原子能譯丛”杂志推荐的譯文选题，在未与本編輯部联系前，請勿开譯，以免重譯或选材不合本刊要求。选题須注明来源和內容摘要。
4. 譯稿經采用后酌致稿酬。
5. 惠件請寄“北京市邮局 287 信箱”。

中国科学院原子核科学委员会編輯委员会

原 子 能 (月刊)

編 輯 者	中国科学院原子核 科学委员会編輯委员会 (北京郵箱 287 号)
出 版 者	科 学 出 版 社
印 刷 者	中国科学院印刷厂
总发行处	北 京 市 邮 局
訂 购 处	全 国 各 地 邮 电 局
代訂零售处	全 国 各 地 新 华 书 店 科学出版社各地門市部

(京) 1—3,830

1960 年 9 月 5 日出版
延至 11 月中旬出版

定价：1.10 元

本刊代号：2—212